

# ALBA SAU BĂNEASA – LA STEJAR?

## RE-IDENTIFICAREA UNUI SIT ARHEOLOGIC DIN NORD-VESTUL BUCUREȘTIULUI

Adina BORONEANȚ, Andrei MĂGUREANU, Meda TODERAȘ, Vlad CĂRĂBIȘI, Adrian BĂLĂȘESCU, Gabriel VASILE

Institutul de Arheologie „Vasile Pârvan”, București, e-mails: boro30@gmail.com, arheologiemedievala@yahoo.com, medatache@gmail.com; vlad.st.carabisi@gmail.com; adrian.balasescu@iabvp.ro; gabriel.vasile@iabvp.ro

**Keywords:** Rescue excavations, Băneasa – La Stejar, Alba, 9<sup>th</sup> century occupation, 18<sup>th</sup> century occupation

**Abstract:** Rescue archaeological excavations at Sisești Street, nos. 147–175 led to the identification and investigation of 29 archaeological features dated to the Bronze Age, the 9<sup>th</sup> and the 18<sup>th</sup> centuries. The paper discusses in detail the results of the research (archaeological materials and features) from an interdisciplinary perspective. It also raises the question of the previous misidentification of certain sites along the Colentina River in the area of interest, and suggests a correct geographical location of the still existing ones.

**Cuvinte-cheie:** cercetare arheologică preventivă, Băneasa – La Stejar, Alba, locuire de secol IX, locuire de secol XVIII

**Rezumat:** Cercetarea arheologică preventivă realizată la adresa Șoseaua Sisești, nr. 147–175 a dus la identificarea a 29 de complexe arheologice atribuite epocii bronzului, secolului IX și secolului XVIII. Articolul de față prezintă detaliat rezultatele cercetării (complexe și materiale arheologice) din perspectivă interdisciplinară. Se discută, de asemenea, problema localizării corecte a siturilor arheologice de pe malul Colentinei din zona geografică de interes.

Conform Repertoriului Arheologic Național (<http://ran.cimec.ro>), terenul cercetat se află în aria sitului arheologic București–Băneasa – *La Stejar*, cod RAN 179132.07 („în cartierul Băneasa, pe malul nordic al lacului Grivița”) și a sitului București–Băneasa – *Vatra Nouă*, cod RAN 179132.06 („în cartier Băneasa, la N de șoseaua Străulești și la S de șos. Gheorghe Ionescu-Sisești (fostă Străulești)”). În conformitate cu PUG-ul Municipiului București, cele două situri sunt localizate astfel: situl nr. 7 (Băneasa – *La Stejar*) se întinde de-a lungul malului Colentinei/Lacului Grivița, iar situl nr. 6 (Băneasa – *Vatra Nouă*) la nord și la sud de Șoseaua Gh. Ionescu-Sisești (Plan 1/C). Inventarul de coordonate Sistem de proiecție STEREO 70 al terenului (cca 35000 mp) este următorul:

Lat. Nord	Long. Est
1. 334170.451	583205.537
2. 334168.802	583204.965
3. 334151.621	583198.640
4. 334157.368	583183.975
5. 334175.618	583190.917
6. 334176.046	583191.060

Cercetarea arheologică preventivă a fost solicitată de proprietarul terenului în vederea dezvoltării unui proiect imobiliar și s-a realizat în baza Autorizațiilor nr. 47/06.02.2020 (diagnostic arheologic) și nr. 4/06.01.2020

(cercetare arheologică preventivă) emise de către Ministerul Culturii. Din punct de vedere administrativ, zona face parte din intravilanul Municipiului București.

Cercetările anterioare (Rosetti 1932; 1936; Constantiniu 1965) indică pentru situl Băneasa – *La Stejar* una sau două așezări atribuite epocii bronzului (cultura Tei), urme de locuire din prima epocă a fierului și o așezare de epoca migrațiilor (sec. IV–VI p.Chr.). O cercetare arheologică mai recentă (2007), realizată de un colectiv al Muzeului Municipiului București la adresa Bd. Gh. Ionescu-Sisești nr. 215, a pus în evidență urme de locuire din sec. II–I a.Chr. (La Tène), precum și o locuire medievală timpurie (sec. IX–XI) (Mănușu-Adameșteanu *et alii* 2008; Vintilă, Măgureanu 2012).

În ceea ce privește situl Băneasa – *Vatra Nouă*, în Repertoriul Arheologic Național este semnalată o locuire medievală timpurie (sec. IX–XI), dar nu se cunosc alte detalii, nici în ceea ce privește cercetarea arheologică, nici cu privire la eventuale publicații ulterioare săpăturii.

Suprapusă peste planul istoric de la 1864 (Plan 2/A), zona cercetată se situa la limita dintre terasa joasă a Colentinei și cea de a doua terasă, ceva mai înaltă. Planul director de tragere (Plan 2/B) plasează perimetrul cercetat într-o zonă cu ușoare variații de altitudine. Comparând imaginea Google Earth recentă cu o fotografie aeriană din anul 1966, se observă o schimbare a malurilor Colentinei (Planul 2/C): regularizarea cursului a dus la o lărgire

accentuată a albiei. Astfel, zona cercetată în anii '60, care era încă depărtată de apă, este acum mărginită de râu (Planul 2/D).

De altfel, observațiile din teren au indicat o acțiune recentă accentuată a elementelor antropice: a fost adus sol mai ales în partea de vest a sitului, probabil pentru nivelare, zona fiind în trecut folosită și drept carieră (Constantiniu 1965). În perioada recentă, aici au fost depozitate deșeuri menajere și din construcții.

Având în vedere că marginea de sud a terenului – dinspre râul Colentina/lacul Grivița este zonă verde protejată, interzisă construcțiilor, cercetările arheologice au avut loc exclusiv la nord de această zonă.

**Cercetarea arheologică** a avut două componente – cercetare arheologică preventivă în cele două situri și diagnostic arheologic în zona de protecție, localizată între ele. Suprafața totală cercetată însumează 11500 m<sup>2</sup>, fiind formată din două zone investigate distincte, una de cca 2900 m<sup>2</sup> aferentă sitului Băneasa – *Vatra Nouă* și una de cca 8600 m<sup>2</sup> aferentă sitului Băneasa – *La Stejar*. În total, au fost trasate și executate mecanizat și manual un număr de 72 de secțiuni cu dimensiuni variabile și 10 casete, strâns corelate cu dispunerea complexelor identificate. În zona sitului arheologic Băneasa – *La Stejar*, la finalizarea săpăturii au fost demontați și cercetați toți martorii dintre secțiuni.

În secțiunile S1–S10 (executate pe zona sitului Băneasa – *Vatra Nouă*) nu au existat complexe de real interes arheologic. Spre capătul de nord al terenului (șosea) au fost observate intervenții moderne: șanțuri de conducte, un cămin de apă (Cpl. 1) și depuneri de gunoi.

Stratigrafia general observată în această zonă este următoarea:

1. La suprafață, strat vegetal (pe alocuri cu umpluturi eterogene) alcătuit din materiale alogene (soluri cafeniu-negriceoz și cărămizii în amestec cu betoane, cărămizi, metal, plastic, cauciuc, borduri, piatră cubică, piatră spartă, mortare, bolovani reciclați din construcții), materiale alohtone (nisip, pietre, fragmente de melci de dimensiuni mici), având grosimi variabile de cca 10–15 cm.

2. Strat brun humusoid cu o grosime variabilă între 20 și 50 cm.

3. Strat argilos nisipos, de culoare galbenă cu o grosime de minim 40 cm.

4. În zona secțiunilor S11–S47, executate în zona de protecție dintre cele două situri arheologice, au fost identificate două complexe arheologice, dintre care unul modern (în S17 – o groapă) și al doilea atribuit epocii bronzului (în S44 – Cpl. 2).

Stratigrafia observată este cea de mai jos:

1. La suprafață, strat vegetal (pe alocuri cu umpluturi eterogene), alcătuit din materiale alogene (soluri cafeniu-negriceoz și cărămizii, în amestec cu betoane, cărămizi, metal, plastic, cauciuc, borduri, piatră cubică, piatră spartă, mortare, bolovani din construcții), materiale alohtone (nisip, pietre, fragmente de melci

mici), având grosimi variabile de cca 10–15 cm.

2. Strat brun humusoid cu o grosime variabilă între 20 și 50 cm.

3. Strat argilos mai mult sau mai puțin nisipos, de culoare galbenă cu o grosime de minim 40 cm.

4. Strat nisipos reprezentat prin nisipuri fine argiloase.

Nr.	Complex	Tip	Perioada	Datare
1	Cpl. 1	groapă	modernă	sec. XX–XXI
2	Cpl. 2	groapă	bronz timpuriu/mijlociu	Tei III
3	Cpl. 3	groapă	bronz timpuriu/mijlociu	Tei III
4	Cpl. 4	bordei	medieval timpuriu	sec. IX
5	Cpl. 5	bordei	medieval târziu	sec. XVII–XVIII
6	Cpl. 6	cuptor	medieval timpuriu	sec. IX
7	Cpl. 7	bordei	medieval timpuriu	sec. IX
8	Cpl. 7 bis	bordei	medieval timpuriu	sec. IX
9	Cpl. 8	groapă	medieval timpuriu	sec. IX
10	Cpl. 9	cuptor	medieval timpuriu	sec. IX
11	Cpl. 10	bordei	medieval timpuriu	sec. IX
12	Cpl. 11	groapă	medieval timpuriu	sec. IX
13	Cpl. 12	groapă	modernă	
14	Cpl. 13	bordei	medieval timpuriu	sec. IX
15	Cpl. 13 bis	bordei	medieval timpuriu	sec. IX
16	Cpl. 14	bordei	medieval timpuriu	sec. IX
17	Cpl. 15	bordei	medieval târziu	sec. IX
18	Cpl. 16	conductă modernă	modernă	sec. XX
19	Cpl. 17	cuptor	medieval timpuriu	sec. IX
20	Cpl. 18	mormânt dublu	medieval târziu	sec. XVIII
21	Cpl. 19	cuptor	medieval timpuriu	sec. IX
22	Cpl. 19 bis	groapă	medieval timpuriu	sec. IX
23	Cpl. 20	bordei	medieval timpuriu	sec. IX
24	Cpl. 21	groapă	necunoscută	?
25	Cpl. 22	bordei	medieval timpuriu	sec. IX
26	Cpl. 23	bordei	medieval timpuriu	sec. IX
27	Cpl. 24	bordei	medieval timpuriu	sec. IX
28	Cpl. 25	bordei	medieval timpuriu	sec. IX
29	Cpl. 25 bis	groapă	modernă	sec. XX–XXI
30	Cpl. 26	șanț	modernă	sec. XX–XXI

\*Inițial Cpl. 10 și Cpl. 13 au primit numere diferite, dar la demontarea martorului s-a constatat că este vorba despre același complex arheologic.

**Tabel 1.** Complexele arheologice identificate: tip și atribuire cronologică / *Archaeological features identified: types and chronology.*

Secțiunile S48–S72 și casetele aferente au fost executate în zona sitului Băneasa – *La Stejar*. În partea de vest, a fost observată sporadic o depunere de gunoarie. În partea de est, stratul galben lutos se afla foarte sus, la cca 0,50 m față de nivelul de călcare actual.

Stratigrafia generală observată este cea de mai jos:

1. La suprafață, strat vegetal (pe alocuri cu umpluturi eterogene) având grosimi variabile de cca 10–15 cm.

2. Strat brun humusoid cu o grosime variabilă între 20 și 50 cm.

3. Strat argilos mai mult sau mai puțin nisipos, de culoare galbenă cu o grosime de minim 40 cm.

4. Strat nisipos reprezentat prin nisipuri fine argiloase.

Tipul și atribuirea cronologică a celor 29 de complexe identificate sunt prezentate în Tabelul 1.

Complexele de interes arheologic (Plan 3/B) sunt reprezentate de două gropi de epoca bronzului (Tei III), 19 complexe medievale timpurii, două complexe medievale târzii (un bordei și un mormânt dublu) și un complex cu datare nedeterminată (Cpl. 21). Cinci complexe – lipsite de interes arheologic – aparțin perioadei moderne (sec. XX–XXI).

În S59, în stratul brun, au apărut, la adâncimi variabile, câteva fragmente ceramice de epocă neolitică (cu pleavă în pastă), dar fără a fi asociate unor complexe arheologice.

## I. LOCUIREA DE EPOCA BRONZULUI

Complexele atribuite **epocii bronzului** au apărut în zona de protecție dintre cele două situri și în zona de sud a sitului Băneasa – *La Stejar*, în secțiunile S44 (19,50 × 1,45 m,  $h_{\max} = 1,10$  m) și S51 (17,00 × 1,45 m,  $h_{\max} = 1,20$  m) (Plan 3/B).

**Cpl. 2** (Fig. 1) era localizat la 5,40 m față de capătul de nord al secțiunii S44. Secvența stratigrafică a zonei era următoarea: 0–0,10 m, sol vegetal; 0,10–0,30 m, sol brun închis; 0,30–1,10 m, sol galben argilos; 1,10–1,20 m, strat de nisip. Complexul era reprezentat de un vas de mari dimensiuni (Fig. 1/1; 32/3), îngropat pe loc, care conținea în interior fragmente din alte vase (Fig. 32/1–2). A fost observat la o adâncime de cca 0,70 m. Urmele gropii nu se vedeau nici în grund, nici în profil. La observare, vasul mare avea dimensiunile în grund 0,45–0,50 m × 0,45 m. Fragmentele recuperate au grosimi și culori diferite. Vasul principal era gri-cenușiu, din pastă grosieră, neagră în spărtură (Fig. 32/3), având ca degresant nisip cu bobul mare, mică, rare pietricele și cioburi pisate. De-a lungul buzei, în exterior, avea aplicată o bandă alveolată. Un alt tip de fragmente ceramice era din pastă bine arsă având ca degresant nisip, pietricele de cca 1–3 mm, uneori și cioburi pisate. Culoarea exterioară are nuanțe variabile, de la cărămiziu la cenușiu (mai ales pe interior). Pe baza fragmentelor ceramice, complexul a fost atribuit culturii Tei, faza III (epoca timpurie/mijlocie a bronzului).

În restul secțiunii au fost găsite alte câteva fragmente ceramice (între care se remarcă un alt fragment cu o bandă alveolată sub buză) atribuite aceleiași perioade și mici fragmente de chirpici.

**Cpl. 3** (Fig. 2/1) a apărut pe profilul de vest al S51, fără să se observe și pe cel de est. Era o groapă circulară în secțiune, cu foarte puțin material arheologic (câteva fragmente ceramice de mici dimensiuni și fragmente mici de chirpici și cărbune). Secvența stratigrafică din S51 era: 0–0,15 m, sol vegetal; 0,15–0,70 m, sol brun închis;

0,50–1,20 m, sol galben argilos. Groapa complexului avea o umplutură din sol brun și se distingea foarte puțin de cel din restul secțiunii. Vizibilă în profil, la -0,70 m, a fost identificată inițial doar pe baza distribuției materialului arheologic. Pornea de la baza stratului brun (având diametrul de 2,10 m), trecea prin cel galben lutos și se oprea în cel galben nisipos (diametru fund groapă 1,00 m). Probabil aparține aceluiași orizont al culturii Tei.

Fragmente ceramice atribuite epocii bronzului au apărut sporadic și în umplutura Cpl. 6 și Cpl. 14 (o figurină zoomorfă fragmentară – Fig. 38/1), precum și în secțiuni (S54, S58, S59), indicând că această locuire, deși slabă, se întinde, probabil, în întreaga zonă.

## II. LOCUIREA MEDIEVALĂ TIMPURIE

Complexele medievale timpurii (19) sunt reprezentate de gropi (3), cuptoare (5), locuințe cu cuptor (7) sau fără (5) – Tabel 2; Plan 3/B.

### II.1. Bordeie cu cuptor (7)

**Cpl. 4** (Fig. 3; 14/1) a fost observat la adâncimea de 0,45 m în profilul de est al lui S53, la trecerea dintre solul brun la cel galben lutos. Era un bordei de formă rectangular-neregulată (5,40 × 4,20 m), având o umplutură negricioasă, cu fragmente de chirpici, cărbune și ceramică (Fig. 18; 19/1), precum și câteva fragmente de zgură. Cuptorul (păstrat foarte prost, Fig. 3/2) era localizat pe latura de nord (Fig. 3/1; 14/1). În colțul de nord-vest, sud-vest și mijlocul laturii de est au fost observate gropi de par (Fig. 3/1; 14/1). O a patra groapă de par, situată pe latura de nord, era localizată în spatele cuptorului (Fig. 3/3), trecând prin acesta, provenind probabil dintr-o etapă ulterioară de utilizare a bordeiului, după ce cuptorul fusese dezafectat. Zona cuptorului a fost foarte bogată în fragmente ceramice (Fig. 18; 19/1), fragmente de „vatră portabilă” (Fig. 33/2–4) – unele cu impresii circulare pe fața inferioară – (Fig. 33/1) și vălătuci de lut.

**Cpl. 7** era un bordei rectangular cu colțuri rotunjite (cca 4 × 2,5 m), cu cuptor pe latura de nord (Fig. 5/1–2, 4). surprins la adâncimea de 0,30 m. Bordeii avea trei gropi de par dispuse neregulat în interiorul său, pe laturile de est (două) și vest (una). Gropile de par au fost vizibile doar sub nivelul bazei bordeiului, la cca 0,55 m (Fig. 5/3). Umplutura era constituită dintr-un sol brun negricios cu fragmente de cărbune și chirpici, numeroase fragmente ceramice simple și cu decor, fragmente de zgură și câteva resturi faunistice. În afara bordeiului, la cca un 1 m de latura lui de vest, a fost observată o groapă (Fig. 5/1) ce conținea cărbune și cenușă, cu un diametru de cca 40 cm și o adâncime de cca 30 cm.

**Cpl. 7 bis** (Fig. 6; 14/2) era un bordei (3,60 × 2,90 m) localizat în imediata vecinătate a lui Cpl. 7, la cca 1 m mai spre est. Forma lui era aproximativ rectangulară, cu un cuptor (distrus) pe latura de est (Fig. 6/2–3). Nu au fost observate urme ale gropilor de par. În zona cuptorului a

fost observată o aglomerare de materiale arheologice, formate din abundente fragmente ceramice (Fig. 19–21), fragmente de vatră cu bordură, unele decorate, fragmente mari de râșniță (Fig. 35/3), o piesă de os (mâner

– Fig. 37/1), mici galeți de silex și un fragment de lustruitor (Fig. 36/2), fragmente de zgură, resturi faunistice, fragmente de chirpici de pereți. Fundul bordeiului era la cca 0,85–0,90 m.

Cpl.	Tip	Datare	Tip material						Comentarii
			Ceramică	Chirpici vatră/ vălătuci	Litic	MDA	Metal	Faună	
Cpl. 4	bordei cu cuptor	sec. IX	x	x				x	Fragmente chirpici de vatră cu impresiuni circulare
Cpl. 6	cuptor		x	x	x			x	4 fragmente piatră (o râșniță, 2 de gresie nisipoasă, un galet cuarț); 4 fragmente de vălătuc / greutăți lut, o piesă nedeterminată (lut nears?), câteva fragmente ceramice preistorice
Cpl. 7	bordei cu cuptor		x	x	x		x	x	O așchie os, 10 fragmente chirpici, un fragment zgură, un galet cuarț
Cpl. 7 bis	bordei cu cuptor		x	x	x	x	x	x	Un galet cuarț, un fragment râșniță, chirpici din pereți și vatră, unii cu impresiuni circulare, 2 fragmente zgură
Cpl. 8	groapă		x					x	O piesă metal (modern)
Cpl. 9	cuptor		x	x			x	x	3 fragmente zgură, 2 fragmente de chirpici de perete și vatră, fragmente os (unul de țestoasă), un fragment mic râșniță
Cpl. 10 = Cpl. 13	bordei fără cuptor		x	x	x	x		x	Mult chirpici de perete și vatră, cochilii melci, fragmente râșniță, un galet cuarț
Cpl. 11	groapa		x	x					Mult chirpici de vatră, unele fragmente cu impresiuni circulare
Cpl. 13 bis	bordei fără cuptor		x	x					Chirpici
Cpl. 14	bordei cu cuptor		x	x			x	x	Chirpici cu impresiuni circulare, zgură, ceramică, vârf de săgeată, figurină preistorică
Cpl. 15	bordei		x	x	x				Un galet cuarț, chirpici de vatră
Cpl. 17	cuptor		x	x			x	x	Chirpici perete
Cpl. 19	cuptor		x	x	x	x	x	x	Chirpici perete și vatră, fragmente de os, zgură, galet cuarț
Cpl. 19 bis	groapă		x		x				Piatră de ascuțit, fragmente de râșnițe
Cpl. 20	bordei cu cuptor		x					x	Fragmente chirpici și vălătuci
Cpl. 22	bordei cu cuptor		x	x			x	x	Fusaiolă, zgură, chirpici perete și vatră
Cpl. 23	bordei cu cuptor		x	x					Chirpici
Cpl. 24	cuptor		x				x	x	Zgură, resturi faunistice
Cpl. 25	bordei		x	x		x	x	x	Galeți cuarț, piroane de metal, chirpici perete și vatră

**Tabel 2.** Tipuri de complexe și materialele arheologice asociate / Features types identified and the archaeological materials associated to them.

**Cpl. 14** (Fig. 9; 15/2) era un bordei de formă rectangulară (cca 4,50 × 3,20 m) cu colțurile rotunjite, observat la adâncimea de cca 0,70 m, la trecerea de la solul brun la cel galben lutos. Este posibil ca groapa lui să fi pornit de mai sus. Fundul bordeiului era la cca -1,10 m. Umplutura sa era constituită dintr-un sol negricios cu pigment de cărbune și chirpici (Fig. 9/1–2). În colțul de est avea un cuptor (Fig. 9/2–3), în interiorul căruia s-a găsit mult material ceramic (Fig. 38/2) provenind de la vase întregibile (Fig. 25/2, 26) și fragmente de la o „vatră portabilă” cu impresiuni circulare pe fața inferioară (Fig.

9/3). Grosimea peretelui cuptorului era de cca 2–3 cm, lungimea de cca 90 cm, iar deschiderea la gură de cca 60 cm. La mijlocul laturilor dinspre nord-vest și sud-vest, bordeiul a avut câte o groapă de par (D = 35 cm), ambele observabile sub nivelul bazei cuptorului. De pe fundul locuinței a fost recuperat un vârf de săgeată de fier (Fig. 38/3), iar din solul de umplutură al gropii un fragment de figurină zoomorfă (Fig. 38/1) aparținând epocii bronzului.

**Cpl. 20** (Fig. 12/1; 17/1) era un bordei (cca 3,20 × 2,50 m) cu cuptor pe latura de sud, cruțat în solul galben lutos. Complexul a fost observat la -0,80 m, având fundul



la -1,20–1,25 m. Bordeii avea o formă rectangular-neregulată; nu au fost observate gropi de pari. Cuptorul avea o deschidere la gură de cca 60 cm și o lungime de 50 cm, cu peretele de cca 2–3 cm. Din umplutura sa (sol negricios cu pigment de chirpici și cărbune – Fig. 12/2) au fost recuperate fragmente ceramice și vălătuci de lut întregi și fragmentari (Fig. 29).

**Cpl. 22** (Fig. 12/3) era un bordei (3,00 × 3,20 m) de formă aproximativ rectangulară cu colțurile rotunjite, observat la adâncimea de 0,70 m. Fundul bordeiului se afla la cca 1,00 m. Cuptorul se afla în colțul său de sud. Deschiderea la gură era de cca 40–50 cm, iar lungimea lui de 30–40 cm. Peretele cuptorului era subțire, având cca 2–3 cm. Umplutura bordeiului era formată dintr-un sol negricios cu pigment de cărbune și chirpici, rare fragmente ceramice (Fig. 30), fragmente de zgură (Fig. 36/1) și o fusaiolă spartă (Fig. 38/4).

**Cpl. 23** (Fig. 12/4) era un bordei cu cuptor în colțul de sud-est. Dimensiuni aproximative 3,50 × 2,70 m. A fost observat la adâncimea de 0,60 m, având fundul la -0,90 m. Din umplutura sa au fost recuperate fragmente ceramice și de chirpici de pereți.

## II.2. Bordeie fără cuptor (5)

**Cpl. 10 = Cpl. 13** (Fig. 8/1–2; 15/1) era un bordei surprins inițial în profilul de sud al secțiunii S68 și considerat drept o groapă. Complexul pornea din solul brun închis. Adâncimea la observare pe profilul de sud era de 0,25–0,30 m. În acest profil, pe fundul lui, a fost remarcată o oală medievală reîntregibilă (Fig. 8/2). După demontarea martorului dintre S68 și S71 s-a observat extinderea sa, complexul fiind, de fapt, un bordei medieval ce fusese tăiat de traseul conductei moderne (Cpl. 16). Umplutura sa era constituită dintr-un sol negricios cu fragmente de chirpici și cărbune, ceramică (Fig. 24/1; 25/1) pe alocuri cu mici concentrații de cenușă pe fundul bordeiului. Fundul său se oprea la -1,15 m. Dimensiuni: 3,00 × 2,40 m.

**Cpl. 13 bis** (Fig. 15/1) a fost observat la demontarea martorului dintre S71 și S72. Era, probabil, un bordei de epocă medievală, observat la -0,95 m. Umplutura sa era un sol negricios cu rare urme de pigment de chirpici și cărbune și cu foarte puține fragmente ceramice. Forma era probabil rectangulară (4,50 × 2,40 m). Fundul său a fost atins la cca -1,10–1,20 m.

**Cpl. 15** (Fig. 16/1) fusese un bordei de mari dimensiuni, observat la adâncimea de 1,00–1,20 m ca o pată de sol negricios, cu fragmente mici de chirpici și cărbune. Dimensiunile bordeiului erau de cca 5 × 4 m, cu latura lungă pe direcția est–vest. Nu a avut cuptor. Partea centrală a locuinței a fost distrusă pe o lățime de cca 1,00–1,20 m de conducta Cpl. 16 care traversa întreg bordeii. Fundul complexului a fost atins la cca -1,50 m. Umplutura lui conținea puține fragmente ceramice.

**Cpl. 25** (Fig. 13/3–4; 17/2) era un bordei distrus în

mare măsură pe partea de vest de amenajările moderne Cpl. 25 bis și Cpl. 26. Materialul arheologic recuperat constă în fragmente ceramice (Fig. 31), câteva piroane de metal, mici galeți de cuarț și chirpici de la pereți. A fost observat la -1,00 m, având fundul la cca -1,40 m.

## II.3. Cuptoare (5)

**Cpl. 6** (Fig. 4) – cuptor medieval cu diametrul maxim de 1,10 m și orientare nord-vest–sud-est, observat la cca -0,60 m; crusta cuptorului avea cca 3 cm grosime, iar lungimea gropii de alimentare era de cca 1,50 m. Fundul său se afla la cca -0,90 m. Din interiorul cuptorului au fost recuperate fragmente ceramice (Fig. 19/3) dintre care unele de factură preistorică, fragmente de râșniță (Fig. 35/2), resturi faunistice și mici galeți de cuarț.

**Cpl. 9** (Fig. 7) era un cuptor observat la adâncimea de 1,30–1,35 m, cu orientare est–vest (groapa de alimentare către vest). Lungimea sa era de cca 3,80 m (cuptor și groapa de alimentare). Deschiderea la gură a cuptorului era de cca 80 cm, cu un diametru maxim de 1,40 m, peretele având o grosime de cca 3–4 cm. Groapa de alimentare avea o formă ovală neregulată, cu lungimea maximă de 2,80 m și lățimea de 1,8 m. Fundul cuptorului a fost atins la -1,70 m. Din umplutura gropii de alimentare au fost recuperate fragmente ceramice (Fig. 23/2), resturi faunistice, fragmente de chirpici și fragmente de zgură.

**Cpl. 17** (Fig. 16/2; 10/1) era un cuptor localizat la sud de Cpl. 7, orientat est–vest. A fost observat la -0,50 m și avea fundul la -0,90 m. Deschiderea gurii cuptorului era de cca 1,00 m și lungimea tot de 1,00 m. Diametrul maxim era de 1,20 m, cu un perete gros de cca 7 cm. Lungimea totală (inclusiv groapa de alimentare) era de cca 2,50 m. Din umplutura sa au fost recuperate câteva fragmente ceramice (Fig. 27/2).

**Cpl. 19** (Fig. 11/1–2) era un cuptor distrus în mare parte de conducta modernă Cpl. 16, mai ales în zona gropii de alimentare. A fost observat la adâncimea de -2,00 m, în solul galben lutos. Umplutura cuptorului era extrem de groasă și conținea multe fragmente ceramice (Fig. 28), vălătuci de lut fragmentari, chirpici, lentile de cenușă și arsură. Fundul său se afla la cca -2,60 m.

**Cpl. 24** (Fig. 13/1–2) era un cuptor observat la adâncimea de 0,75 m, orientat est–vest, cu gura cuptorului spre E. Lungimea maximă (cuptor și groapa de alimentare) era de 3,80 m. Lățimea maximă a cuptorului era 1,70 m, iar grosimea peretelui varia între 3–5 cm. Lungimea cuptorului era de 1,45 m,  $L_{gr\text{ alimentare}} = 2,35$  m. Fundul cuptorului a fost atins la cca -1,20 m.

Din interiorul gropii de alimentare au fost recuperate fragmente ceramice (unele arse secundar), bucăți de chirpici, câteva oase de animale și fragmente de zgură. Solul din interiorul gropii de alimentare era negricios, cu urme de cărbune și cenușă. Cel din interiorul cuptorului era brun închis, cu puține fragmente de cărbune.

## II.4. Gropi

**Cpl. 8** (Fig. 7/1) era o groapă de formă neregulată, identificată inițial în peretele de sud al lui S65. Umplutura sa era formată dintr-un sol brun negricios, din care au fost recuperate câteva fragmente ceramice medievale timpurii (Fig. 23/1), dar și o piesă modernă de metal.

**Cpl. 11** (îl încorporează și pe **Cpl. 11 bis**) (Fig. 8/3) era localizat la est de Cpl. 10. Era o groapă de formă relativ neregulată, observată tot în profilul de sud al S68. Se observau în interiorul său fragmente ceramice medievale (Fig. 24/2) și fragmente mici de chirpici. A fost cercetată integral la demontarea matorului dintre S68 și S71, când a fost observat și Cpl. 11 bis, de formă neregulată, cu o umplutură identică (Fig. 11/1, 3). Reprezintă, probabil, același complex, ce avusese fundul la adâncimi variabile.

**Cpl. 19 bis.** La vest de cuptorul Cpl. 19 s-a observat o pată de sol negru, circulară, inițial interpretată drept groapa cuptorului Cpl. 19, denumită ulterior Cpl. 19 bis. Umplutura ei de un brun-negricios a furnizat numeroase fragmente ceramice, chirpici și fragmente de rășniță și o piatră de ascuțit (Fig. 35/1). Sesizată la -1,90 m, fundul gropii se afla la cca -2,50 m.

## III. LOCUIREA MEDIEVALĂ TÂRZIE

În S56, au apărut câteva fragmente ceramice medievale smălțuite, la adâncimea de cca 0,30 m, dar fără a fi asociate unui complex arheologic. Alte fragmente ceramice smălțuite au apărut sporadic la suprafața solului, pe întreaga zonă investigată. Complexele arheologice sunt reprezentate de o locuință (Cpl. 5) și de un mormânt dublu (Cpl. 18). Datarea acestui ultim complex este nesigură în lipsa unei directe date <sup>14</sup>C.

Locuința **Cpl. 5** (Fig. 2/2–3) a fost observată la adâncimea de 0,55–0,60 m, în profilurile de vest și est ale lui S54, la trecerea dintre solul brun la cel galben lutos. Pe profilul de est lungimea maximă era de 2,70 m, iar pe cel de vest de 3,50 m. Era un bordei de formă rectangulară, având ca umplutură un sol negricios cu fragmente de chirpici și cărbune, fragmente mari de vatră și cărămizi – unele decorate (Fig. 19/2; 34/1-sus) și fragmente ceramice de factură diverse (ceramică grosieră, dar și fină și chiar smălțuită – Fig. 34/1) și un număr impresionant de piese de metal (Fig. 34/2 – dreapta). Pe latura de sud a bordeiului se observa o vatră simplă amenajată într-o adâncitură, cu fundul ars și întărit, având deasupra un strat de cenușă de cca 5 cm. Diametrul vetrei era de cca 30–40 cm. Fundul bordeiului se găsea la -1,10 m. Din nivelul imediat superior fundului locuinței a fost recuperat un pandantiv de metal (Fig. 34/2 – stânga; 38/6), iar din solul de umplutură un fragment de lamă de silex preistoric (Fig. 38/7). Dimensiuni cărămizi din umplutura bordeiului: 19,20 × 12,50 × 5,00 cm; ? × 13,00 × 5,00 cm. Cărămizile erau arse inegal, variind de la negru la cenușiu și diverse nuanțe de portocaliu.

**Cpl. 18** (Fig. 10/2–3) era un mormânt dublu (adult și copil) sesizat ca o pată neagră aproximativ circulară la

-0,70 m. S-a observat că groapa fusese săpată cu o rampă pe partea de est, astfel încât, deși partea superioară a individului 1 (adult) fusese depusă orizontal ( $h = 1,20 - 1,25$  m), membrele inferioare aveau o traiectorie ascendentă, cu femurele la cca 60°, iar de la genunchi în jos din nou o poziție orizontală, pe marginea gropii. Individul adult avea brațele aduse pe piept, capul aplecat ușor spre bărbie. La tâmpile și pe frunte au fost găsite trei ace de păr (Fig. 38/5), probabil pentru prinderea unei basmale sau maramae. Nu a avut alt inventar.

Individul 2 (*Infant*, < 2,0 ani) se afla la est de primul individ, mult mai sus, la cca -0,90 m. Din scheletul copilului nu s-au păstrat decât craniul și foarte puțin din scheletul postcranian (vezi mai jos analiza antropologică). Probabil dimensiunile gropii individului 2 au dictat maniera de înmormântare a individului 1.  $L_{gr. \text{ copil}} = 1,20$  m,  $L_{gr. \text{ adult}} = 1,80$  m.

## IV. COMPLEX DE PERIOADĂ NEDETERMINATĂ (1)

**Cpl. 21** (Fig. 12/1; 17/1) era o groapă de mari dimensiuni, fără material arheologic. Inițial apărea ca o pată de culoare negricioasă în solul galben lutos, dar la secționare pe direcția E–V s-a observat că umplutura sa avea un sol amestecat, negricios și galben lutos și circumferința ei era mult mai mare, de cca 2,50 m, având în secțiune formă de sac. Fundul său a fost atins la cca -2,00 m.

## V. COMPLEXE RECENTE (4)

**Cpl. 1** era groapa unui cămin de apă localizat în zona sitului Băneasa – *Vatra Satului*, probabil legat de canalizarea din zonă.

Celelalte patru complexe moderne erau localizate în zona de sud, spre malul Colentinei.

**Cpl. 12** era o groapă modernă de formă circulară, cu fundul plat și puțin adâncă. A fost observată la adâncimea de 0,60 m. Pe fundul său se afla un strat gros de 4 cm de cărbune și cenușă. Nu a avut inventar.

**Cpl. 16** (Fig. 9/1; 11/1–2; 16/1) era o conductă modernă cu un traseu aproximativ E–V, observată pe cca 300 m și un șanț de cca 1,00–1,20 m lățime, care a deranjat un număr important de complexe arheologice. În diverse secțiuni, conducta a fost observată la adâncimi diferite, în funcție de înălțimea terenului. Umplutura șanțului său era realizată din sol amestecat, negricios și galben lutos, uneori amestecat și cu pietriș și gunoi modern, cu fragmente ceramice medievale timpurii (Fig. 27/1).

**Cpl. 25 bis** (Fig. 13/3–4; 17/2) era o groapă cu sol afânat brun închis, fără material arheologic, de factură modernă.

**Cpl. 26** (Fig. 13/3–4; 17/2) era un șanț circular cu umplutură amestecată, predominant lut galben prăfos, de factură modernă, care părea să înconjoare Cpl. 25 bis sau să îl taie.

## DISCUȚII

### 1. Localizarea sitului Băneasa – La Stejar

Așa cum arătam în introducere, situl arheologic Băneasa – La Stejar a fost identificat în anul 1929, fiind menționate locuiri din perioada culturii Tei, epoca bronzului și epoca medievală timpurie (preefudală) (Rosetti 1932; 1936). Cercetările au fost reluate în anii 1962 și 1963 de către Muzeul de Istorie a orașului București (Constantiniu 1965), reidentificându-se **două** așezări atribuite culturii Tei, una epocii fierului și una secolelor VI–VII (Constantiniu 1965, p. 78).

Situl era situat pe malul stâng, atât pe terasa joasă a Colentinei, cât și pe cea înaltă, în dreptul cotului adânc făcut de Colentina în zona cartierului Dămăroaia, înainte de a ajunge la fosta fabrică de cărămidă „I. S. Ceramica” (Constantiniu 1965, p. 77). În apropiere, se aflau siturile contemporane de la Bucureștii Noi – Alba (Panait 1963) spre est și Băneasa – Sat (Constantiniu, Panait 1965) spre vest.

Zona a mai fost cercetată în ultimii ani și este interesantă că, deși în situl de la Băneasa – La Stejar nu erau semnalate descoperiri aparținând secolelor IX–X p.Chr., două dintre zonele cercetate în anii 2007, respectiv 2020, aflate la mică distanță una față de cealaltă, au dat la iveală complexe și ceramică aparținând aproape exclusiv respectivei perioade și nu secolelor VI–VII p.Chr., caracteristice sitului Băneasa – La Stejar. Situația devine și mai neclară în urma recente publicări a unei cercetări efectuate în anul 2011, care a identificat complexe și materiale din sec. IX–X p.Chr., plasată între zonele investigate în anii 2007 și 2020 și care este atribuită sitului Străulești – Măicănești (Vintilă 2018, planșa 1); acest din urmă sit este cunoscut ca având și descoperiri din respectiva perioadă.

Drept urmare, am încercat o clarificare a acestei situații pe baza datelor publicate de-a lungul vremii. O primă referire cartografică este cea a *Planului general al săpăturilor arheologice de la București*, publicat în anul 1959 (Ionașcu et alii 1959), care amplasează în zona de interes trei puncte, dintre care doar unul este numerotat, purtând și denumirea de Băneasa – La Stejar (Plan 1/A). Modul de notare a sitului face însă problematică atribuirea denumirii unuia sau altuia dintre punctele marcate pe hartă sau poate tuturor. Este de reținut că unul dintre puncte este amplasat în zona de studiu, la sud de șosea, în timp ce un al doilea a fost marcat la nord de șosea, la nord-est de primul.

A doua hartă la care putem face referire este cea care apare cu ocazia publicării rezultatelor cercetărilor arheologice din anii 1960–1962. Spre deosebire de harta din anul 1959, acum nu mai este figurat situl de la Băneasa – La Stejar, fiind cartate și delimitate alte trei situri: Străulești – Măicănești, Străulești – Lunca și Alba. Acesta din urmă este și situl care apare amplasat cel mai aproape

de săpăturile din anul 2020 și imediat lângă cercetările din 2007, respectiv 2011. Situația este lămurită de textul articolului care precizează că situl Alba a fost identificat prin perieghetă în anul 1958 și că Băneasa – La Stejar se afla spre est de Alba, precum și faptul că la 500 m, în fața cartierului Dămăroaia, se afla o așezare aparținând culturii Tei (Panait 1963, p. 104 și 106, nota 1; Constantiniu 1965, p. 77). În această zonă, pe *Planul general al săpăturilor arheologice de la București* nu figurează nimic, dar scara la care acesta a fost realizat și modul schematic de reprezentare nu permit o amplasare precisă a sitului.

Drept urmare, considerăm că cercetarea din anul 2020, precum și cele din 2007 și 2011, aparțin aceluiași sit arheologic Bucureștii Noi – Alba, fapt confirmat și de structura materialelor arheologice identificate în cele patru zone cercetate (incluzând și materialul publicat din cercetările din anii 1960). De asemenea, este eronată amplasarea și delimitarea siturilor din această zonă așa cum apar pe *Planșa cu delimitarea siturilor arheologice*, anexă a PUG București 2000, situația corectă fiind cea prezentată în Plan 3/A. Coordonatele STEREO 70 ale acestor situri sunt listate în Tabelele 8–12 de la finalul articolului.

### 2. Materialul arheologic

#### 2.1. Ceramica neolitică

Au fost recuperate trei fragmente ceramice din pastă cu pleavă, provenind dintr-o zonă a sitului cu sol adus și care nu au legătură cu zona de interes a acestui articol. Ele pot fi atribuite neo-eneoliticului pe baza pastei.

**2.2. Ceramica de epoca bronzului** (Fig. 32). Pe baza fragmentelor ceramice, este probabil ca această locuire să se fi desfășurat la finalul bronzului timpuriu și începutul bronzului mijlociu – cultura Tei, indicând o locuire mai târzie decât cea menționată de Dinu V. Rosetti, dar acest lucru este de înțeles în contextul în care cercetarea noastră nu s-a desfășurat în situl La Stejar identificat de acesta. Au fost observate două tipuri de ceramică: una de culoare gri-cenușiu, din pastă grosieră, neagră în spărtură, având ca degresant nisip cu bobul mare, mică, rare pietricele și cioburi pisate. Un alt tip de fragmente ceramice este cel reprezentat din pastă bine arsă, având ca degresant nisip, pietricele de cca 1–3 mm, uneori și cioburi pisate. Culoarea exterioară are nuanțe variabile, de la cărămiziu la cenușiu (mai ales pe interior). Elementele de decor se limitează la benzi alveolate, aplicate sub buză și buze crestate.

#### Locuirea medievală timpurie

#### 2.3. Ceramica din locuirea medievală timpurie

Au fost observate două tipuri mari de ceramică: cea arsă oxidant, caracterizată de un decor incizat și cea arsă reducător, caracterizată de un decor lustruit.

Ceramica cu decor incizat este modelată de obicei la roata înceată și rar la cea rapidă. Lutul conține cantități variabile de nisip și uneori pietricele. Arderea este incompletă, la un număr mare de vase miezul rămânând negru. În exterior se observă deseori urme de ardere secundară.

Forma cea mai răspândită o reprezintă oala fără toartă, de dimensiuni mari și medii (Fig. 18; 23; 26; 28). Decorul este în general incizat, realizat cu pieptenele și este dispus începând imediat de sub gât (Fig. 18; 20; 21-sus; 25; 26-sus; 28; 30-sus; 31-sus) până spre fundul vasului (Fig. 21-jos; 26-jos). Tipul de buză este variat: înaltă simplă, evazată și tăiată în muchie, buza rotunjită, buza melc, buza cu streășină.

Striurile sunt fie horizontale, fie în val, uneori în registre paralele, alteori grupate în registre cu spații libere între ele. Categoria fragmentelor ceramice cu striuri paralele cuprinde două varietăți: cu striuri fine și ordonate sau cu striuri mai late și mai adânci, dispuse ușor dezorganizat. Decorul cu striuri este completat de motivul în val (Fig. 28), de șiruri de patru-cinci împunsături verticale (Fig. 20-sus) sau grupaje de striuri scurte dispuse oblic (Fig. 18-sus; 22; 24; 26). Motivul în val este de obicei situat imediat sub buză, în timp ce împunsăturile și striurile oblice se regăsesc fie sub buză, fie sunt intercalate în registre de striuri paralele.

Fundul vaselor este aparent plat, gradul ridicat de fragmentare împiedicând identificarea unor posibile semne cunoscute drept „mărci de olar”.

Ceramica cu decor lustruit este realizată din lut sortat, de bună calitate, rezultând o pastă fină, uniformă. Ceramica arsă reducător este realizată la roata înceată. Proporțional, ceramica fină cenușie are o prezență mult mai redusă comparativ cu ceramica grosieră arsă oxidant, ceea ce nu permite prea multe comentarii generalizate. Forma observată mai des este tot cea de oală, dar cu gâtul mai lung și corpul pântecos (Fig. 21). Suprafața vaselor este decorată deseori cu linii hașurate de grosimi diferite ce acoperă întreg corpul vasului, de sub gât până la bază. Hașurile au fost realizate prin lustruirea intensă a zonelor respective, creând un fals efect de pictură cu brun-închis.

Puținele toarte sunt scurte și late (evazate în zona prinderii de corpul vasului), pornind imediat de sub buză din gâtul scurt, până în zona umărului vasului (Fig. 19/3; 22-jos).

Analogii bune pentru lotul ceramic identificat în 2020 se regăsesc în apropiere, în situl de la Băneasa – *Sat* (intersecția străzilor C. Dobrogeanu-Gherea și bulevardul Ion Ionescu de la Brad, fost N. Bălcescu – Constantiniu, Panait 1965, p. 140), care a fost datat, la momentul cercetării, în secolul al X-lea p.Chr. Similare sunt și descoperirile de la București – *Străulești* (Constantiniu, Panait 1968, p. 67), datat în sec. X–XI, în special pe baza unui pandantiv din bronz descoperit în afara complexelor. Anterior, tot în situl *Alba* (Panait 1963) fuseseră documentate cu două bordeie datate în sec. al IX-lea.

Din tabelul comparativ (Fig. 41) se poate observa omogenitatea lotului ceramic identificat în cercetările din anii 1960, 2007, 2011 și 2020, precum și similaritatea cu cel descoperit la Băneasa – *Vatra Satului*. De asemenea, lipsa fragmentelor de ulcior și a fragmentelor de „căldare” sunt indicii ale unei datări mai timpurii, în secolul al IX-lea, fără a putea exclude și o datare în secolul al X-lea. Raportarea la cronologia propusă pentru ceramica din necropolele de la Dunărea de Jos arată că formele identificate de noi aparțin unor tipuri ceramice timpurii cu datări în sec. al IX-lea, în special, și chiar la sfârșit de secol al VIII-lea, în particular (Fiedler 1992). Tot spre o datare mai timpurie îndeamnă și cele două vârfuri de săgeată cu trei aripioare descoperite în anul 1962, respectiv 2020. Lipsa unui studiu dedicat ceramicii din așezările epocii ne împiedică a face unele considerații mai detaliate.

Fragmentele de chirpici descoperite provin de la pereții locuințelor, de la cuptoare și de la vetre portabile. Chirpicul de pereți are un aspect mai „fibros” și păstrează uneori urme de păioase sau lemn. Cel provenind de la vetrele portabile este majoritar „nedecorat” – doar în trei cazuri (Cpl. 4, Cpl. 7 bis, Cpl. 14) au fost observate, pe fața inferioară, impresiuni circulare – care sunt, mai degrabă, legate de suprafața pe care a fost creată/așezată vatra, decât de o intenționalitate de a decora fața inferioară, care rămânea invizibilă. Astfel de fragmente au fost identificate și în cercetarea din 1962 de la Băneasa – *Sat* (Constantiniu, Panait 1965) (Fig. 42).

**2.4. Industria litică** constă majoritar din fragmente de râșniță, recuperate mai ales din bordeie (Cpl. 4, Cpl. 7 bis, Cpl. 10), dar și din groapa Cpl. 19 bis. În general, fragmentele sunt de mici dimensiuni, cu excepția bordeiului Cpl. 7 bis, din care provin două râșnițe aproape întregi (Fig. 35/3), de mari dimensiuni (diametrul peste 35 cm și greutatea de cca 10 kg) și multe alte mici fragmente. Din același complex provine o piatră de ascuțit fragmentară (Fig. 35/1-stânga sus). Materia primă pentru acest tip de piese este de două tipuri – o gresie fină nisipoasă de culoare cenușie la fragmentele de mici dimensiuni (Fig. 35/1-sus) și o rocă calcaroasă alburie, cu friabilitate mare (Fig. 35/2) și amprente de cochilii fosile. Prezența râșnițelor din acest tip de rocă a fost semnalată și în situl de la Băneasa – *Sat*, materia primă fiind determinată drept calcar organogen alcătuit în întregime din granule de calcit și din organisme calcaroase din care fac parte: Ostracode (valve) Bryozoare, Miliolide (*Bilocolina*, *Quinqueloculina*) (Constantiniu, Panait 1965, p. 107, nota 3).

Micii galeți de cuarț apar doar în bordeie (Cpl. 4, Cpl. 7, Cpl. 10, Cpl. 15, Cpl. 19 și Cpl. 25) și nu au fost sesizați în alte contexte sau în sol, ca prezență naturală. Dimensiunile lor sunt similare – cca 3–4 cm. Nu sunt spărți, dar prezintă fațete plate, unele dintre ele cu urme de abraziune. Dată fiind apariția lor în aceleași contexte ca și fragmentele de zgură, este posibil să fie legate de

prelucrarea pieselor de metal (lustruire, polizare etc). Nu este exclus să fi fost utilizați la realizarea decorului ceramic lustruit.

## 2.5. Resturile faunistice

Prelevarea materialului faunistic (ca și a restului materialului arheologic) a fost realizată direct din săpătură, ceea ce prezintă o serie de avantaje și dezavantaje (Popovici *et alii* 2002, p. 57–58). Deși, în condițiile unei săpături preventive, aceasta este metoda de prelevare cea mai utilizată, fiind cea mai adecvată temporal, pentru o mai bună cunoaștere a întreg spectrului faunistic ar fi utilă eșantionarea măcar a 10% dintr-un complex arheologic care poate fi cernut la sec sau sub jet de apă.

Determinările anatomice și taxonomice au fost realizate cu ajutorul colecțiilor osteologice de referință ale Laboratorului de Arheozoologie din cadrul Sectorului de Bioarheologie al Institutului de Arheologie „Vasile Pârvan” al Academiei Române. De asemenea, au fost consultate lucrările metodologice ale lui Barone (1986) și Schmid (1972) pentru resturile osteologice de mamifere. Discriminarea dintre oaie și capră a fost făcută pe baza scheletului post-cranian, după criteriile lui Boesneck *et alii* (1964), testate de Clutton-Brock *et alii* (1990) și Prummel și Frisch (1986); pentru resturile dentare, s-au utilizat lucrările lui Payne (1985), Helmer (2000) și Hallstead *et alii* (2003). Vârstele de abataj (de sacrificare) au fost estimate de cele mai multe ori după erupțiile dentare, pe baza lucrării lui Schmid (1972), iar pentru uzurile dentare s-au utilizat lucrările lui Ducos (1968) și Grant (1982) pentru bovine, Payne (1973) și Helmer (2000) pentru ovicaprine, Horard-Herbin (1997) pentru porcine. Speciile identificate aparțin mai multor clase de animale: reptile (*Reptilia*), păsări (*Aves*) și mamifere (*Mammalia*). În cele ce urmează, vom prezenta materialul faunistic pe încadrări istorice.

Fauna din contexte medievale timpurii provine din 14 complexe și numără doar 137 resturi, dintre care 129 (97%) aparțin mamiferelor, un rest este de la o broască țestoasă de apă (*Emys orbicularis*), iar trei provin de la păsări, indeterminabile (Tabel 3). Din cele 129 de fragmente de mamifere, unul provine de la un corn de cerb, fiind imposibil de afirmat dacă a fost cules din pădurile din preajma așezării sau provine de la un animal vânat (nu prezintă legătură cu craniul). Gradul de determinare specifică a materialului faunistic de mamifere este relativ mare: 88 de resturi (68,7%) sunt identificate taxonomic (greutate = 1876 g / 91,9%) (Tabel 3). Lista speciilor de mamifere reunește atât specii domestice – cal (*Equus caballus*), vită (*Bos taurus*), oaie (*Ovis aries*), porc (*Sus domesticus*), câine (*Canis familiaris*), cât și sălbatic – cerb (*Cervus elaphus*) și iepure de câmp (*Lepus europaeus*). În cadrul materialului analizat, este posibil să existe și capră (*Capra hircus*) printre resturile de ovicaprine indeterminabile (*Ovis aries/Capra hircus*).

Cantitatea de material faunistic variază în limite destul de mari în cadrul complexelor, de la 1–4 resturi în

majoritatea structurilor, până la peste 35 de resturi în Cpl. 7 și Cpl. 7 bis (bordeie – Tabel 3). Având în vedere această variabilitate numerică care nu pare legată de tipul de structură arheologică (groapă, bordei, cuptor), este imposibil de făcut o discuție pe tipuri de complexe arheologice.

Dintre speciile de animale domestice, cea mai mare pondere o au bovinele (60,7%), urmate ca număr de resturi (NR) de ovicaprine (17,85%) și porcine (11,9%). Ca greutate, bovinele se mențin pe primul loc (66,7%), acestea fiind secondate de cabaline (12%), urmate mai apoi de ovicaprine (9,5%) și porcine (7,25%) (Grafic 1). Poziția surprinzătoare a calului poate fi explicată prin talia și greutatea sa specifică mare comparativ cu cea a ovicaprinelor și porcinelor. Remarcăm un rest de cal (un astragal din Cpl. 19) care prezintă urme de tăiere ce sugerează cel puțin activități legate de prelevarea pielii și posibil consumul cărnii.

În ciuda eșantionului redus numeric, se pot face estimări ale numărului minim de indivizi (NMI). Bovinele au cea mai mare pondere, cu trei exemplare (unul de 1,5 ani, unul de 2–3,5 ani și altul de 4–6,5 ani), acestea fiind urmate de ovicaprine (o oaie de 2–4 ani și un *infans* indeterminabil taxonomic), porcine (un individ de 12 luni și un adult) și câine (doi adulți). Calul este prezent cu un individ adult.

Vânatul pare să aibă o importanță redusă, atât ca număr de resturi (2,4%), cât și ca greutate (2,8%), identificându-se în material câte un individ de cerb (subadult/adult) și iepure de câmp (adult).

Datele biometrice sunt extrem de puține pentru acest eșantion și privesc doar bovinele, care sunt și cele mai numeroase (NR = 51). Șansa a făcut ca în Cpl. 22 să se descopere un metatarsian întreg de la o femelă, care a permis o estimare a taliei de 113,1 cm (după indicele Fock) și 113,5 cm (după indicele Matolcsi – Udrescu *et alii* 1999, p. 79). Această valoare este cu puțin mai mare decât estimarea pentru România (111,98 cm) (Stanc 2006, p. 227) în perioada secolelor IV–X. Din păcate, pentru perioada secolului al IX-lea, pentru Muntenia nu există date biometrice care să permită comparații precise.

O comparație cu alte așezări contemporane din Muntenia este relativ riscantă, mai ales având în vedere eșantionul extrem de mic studiat. Riscul merită însă asumat, dată fiind lipsa unor astfel de date arheozoologice pentru perioada Evului Mediu timpuriu (Bălășescu *et alii* 2003). Astfel, am avut la dispoziție doar următoarele situri studiate arheozoologic: Bragadiru-București (Udrescu 1981, p. 238–239) (sec. IX–XI; NR = 178), Radovanu (Haimovici 2003) (sec. VIII–X; NR = 530), Bucov-Ploiești (Haimovici 1979) (sec. VIII–X; NR = 4121), Păuleasca (Haimovici, Gava 2002) (sec. IX; NR = 75), Bucu (Moise 2000) (sec. X–XI; NR = 471), Dridu (Necrasov, Haimovici 1967) (sec. X–XI; NR = 2400). După cum se observă, cantitatea de material este extrem de variabilă: de la 75 de resturi (Păuleasca) până la peste 4000 (Bucov-

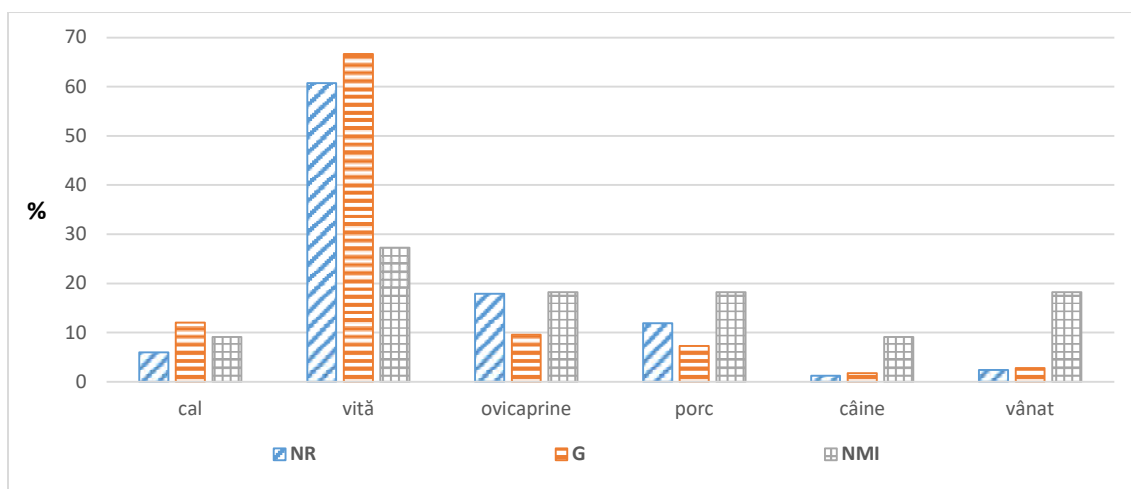
Ploiești). Una din caracteristicile comune tuturor acestor situri este predominanța bovinelor (mai puțin la Păuleasca), sugerând exploatarea cu predilecție a acestui taxon, atât pentru produsele sale secundare (lapte și forță de tracțiune), cât și pentru carne. Locul doi este deținut de

ovicaprine și/sau porcine. Remarcăm situația de la Păuleasca (Haimovici, Gava 2002) unde porcinele depășesc cu puțin bovinele – 1,5%, dar această situație poate fi explicată și prin eșantionul studiat, unul extrem de redus (sub 80 de resturi).

NR - Taxoni/Complexe	Cpl 4	Cpl 6	Cpl 7	Cpl 7 bis	Cpl 8	Cpl 9	Cpl 10	Cpl 11	Cpl 14	Cpl 17	Cpl 19	Cpl 20	Cpl 22	Cpl 25	Total	%	NMI	%
<i>Equus caballus</i>				4							1				5	5.95	1	9.09
<i>Bos taurus</i>	1	4	15	7	5	1	1	1	1	4		2	7	2	51	60.71	3	27.27
<i>Ovis aries</i>			1								1				2	2.38	1	9.09
ovicaprine	1		4	6							2				13	15.48	1	9.09
<i>Sus domesticus</i>	1		1	3	1	1			1			2			10	11.90	2	18.18
<i>Canis familiaris</i>				1											1	1.19	1	9.09
<i>Cervus elaphus</i>													1		1	1.19	1	9.09
<i>Lepus europaeus</i>				1											1	1.19	1	9.09
total determinate	3	4	21	22	6	2	1	1	2	4	4	4	8	2	84	100.00	11	100.00
indet mamifere de talie mare			14	6	3	1			1			1	1		27			
indet mamifere de talie medie			6	7											13			
<b>Total mamifere</b>	<b>3</b>	<b>4</b>	<b>41</b>	<b>35</b>	<b>9</b>	<b>3</b>	<b>1</b>	<b>1</b>	<b>3</b>	<b>4</b>	<b>4</b>	<b>5</b>	<b>9</b>	<b>2</b>	<b>124</b>			
Reptilia						1									1			
Aves	1			2											3			
<b>Total fauna</b>	<b>4</b>	<b>4</b>	<b>41</b>	<b>37</b>	<b>9</b>	<b>4</b>	<b>1</b>	<b>1</b>	<b>3</b>	<b>4</b>	<b>4</b>	<b>5</b>	<b>9</b>	<b>2</b>	<b>128</b>			
corn de cerb			1												1			

G - Taxoni/Complexe	Cpl 4	Cpl 6	Cpl 7	Cpl 7 bis	Cpl 8	Cpl 9	Cpl 10	Cpl 11	Cpl 14	Cpl 17	Cpl 19	Cpl 20	Cpl 22	Cpl 25	Total	%
<i>Equus caballus</i>				190							35				225	11.99
<i>Bos taurus</i>	6	165	267	107	109	62	20	21	12	125		19	283	55	1251	66.68
<i>Ovis aries</i>			20								16				36	1.92
ovicaprine	14		24	12	10	25					19	36	3		143	7.62
<i>Sus domesticus</i>	3		35	27	22	5			4			40			136	7.25
<i>Canis familiaris</i>				15									12	6	33	1.76
<i>Cervus elaphus</i>													50		50	2.67
<i>Lepus europaeus</i>				2											2	0.11
<b>total determinate</b>	<b>23</b>	<b>165</b>	<b>346</b>	<b>353</b>	<b>141</b>	<b>92</b>	<b>20</b>	<b>21</b>	<b>16</b>	<b>125</b>	<b>70</b>	<b>95</b>	<b>348</b>	<b>61</b>	<b>1876</b>	<b>100.00</b>
indet mamifere de talie medie			110	30											140	
indet mamifere de talie mare			13	13											26	
<b>Total mamifere</b>	<b>23</b>	<b>165</b>	<b>469</b>	<b>396</b>	<b>141</b>	<b>92</b>	<b>20</b>	<b>21</b>	<b>16</b>	<b>125</b>	<b>70</b>	<b>95</b>	<b>348</b>	<b>61</b>	<b>2042</b>	
Reptilia						6									6	
Aves	1			11											12	
<b>Total fauna</b>	<b>24</b>	<b>165</b>	<b>469</b>	<b>407</b>	<b>141</b>	<b>92</b>	<b>26</b>	<b>21</b>	<b>16</b>	<b>125</b>	<b>70</b>	<b>95</b>	<b>348</b>	<b>61</b>	<b>2060</b>	

**Tabel 3.** Repartiția numerică și procentuală a numărului de resturi (NR), greutate (G, în grame) și a numărului minim de indivizi (NMI) pe specii identificate în complexele de Ev Mediu timpuriu de la Sisești / Frequency and number of remains (NR), weight (G, in grams) and minimum number of individuals (MNI) for the species identified in the Early Medieval features from Sisești.



**Grafic 1.** Repartiția procentuală a numărului de resturi (NR), greutate (G) și a numărului minim de indivizi (NMI) pe specii de mamifere descoperite în complexele de Ev Mediu timpuriu de la Sisești. Legendă: vânat – cerb (*Cervus elaphus*) și iepure de câmp (*Lepus europaeus*) / Frequency of the remains (NR), weight (G) and minimum number of individuals (MNI) for the mammal species identified in the Early Medieval features from Sisești. Legend: game – deer (*Cervus elaphus*) and hare (*Lepus europaeus*).

Conform analizei noastre, această comunitate din secolul al IX-lea se ocupa în principal cu creșterea bovinelor, secondate de ovicaprine și porcine. Vânatul are o importanță extrem de redusă, dacă avem în vedere numărul mic de resturi identificate. Speciile descoperite, cerbul și iepurele de câmp, sugerează existența în preajma așezării a unor masive păduroase, dar și a unor spații deschise, care erau exploatate atât pentru agricultură, cât și pentru hrănirea turmelor de animale domestice.

Această predominanță a bovinelor a fost observată și în majoritatea așezărilor contemporane din Muntenia (Bragadiru-București, Radovanu, Bucov-Ploiești, Bucu și Dridu). Vânătoarea are aceeași pondere redusă, care nu depășește mai mult de 7% (Păuleasca – Haimovici, Gava 2002), dar în majoritatea siturilor aceasta are o pondere de 2–3%, la fel ca la Sisești. Remarcăm că există o bună corelație între mărirea eșantioanelor și numărul de specii sălbatice identificate. Astfel, în condițiile unor eșantioane mai mari, care depășesc 250 de resturi determinate, numărul taxonilor sălbatici vânați crește. La Radovanu (Haimovici 2003) avem trei taxoni (cerb, mistreț, bour), la Bucu (Moise 2000) și la Dridu (Necrasov, Haimovici 1967) s-au identificat aceleași trei specii (cerb, mistreț, iepure de câmp), iar la Bucov (Haimovici 1979) avem cinci taxoni (cerb, căprior, mistreț, iepure de câmp și bour). Eșantioanele mai mici, cum ar fi cele de la Bragadiru (Udrescu 1981, p. 238–239) și Păuleasca, prezintă doar două specii (cerb și căprior), la fel cum este cazul și la Sisești (cerb și iepure de câmp).

## 2.6. Industria materiilor dure animale

Singurele două piese de os provin dintr-un bordei cu cuptor – Cpl. 7 bis. Stigmatul tehnologic au fost analizate folosindu-se un stereo-microscop Olympus SZ61 (mărituri până la 90×), precum și un microscop optic Keyence VHX-600 (mărituri între 30× și 150×).

După morfologia spărturilor la capete, prima piesă din Cpl. 7 bis (Fig. 37/1) este un „mâner/manșon” de os. A fost realizat pe o diafiză de tibie stângă de ovicaprin. Lanțul operațional indicat de stigmatul lăsat de producerea piesei indică segmentarea prin tăiere pentru extragerea suportului (Fig. 37/3-sus), urmată de abraziunea capetelor acestuia (Fig. 37/3-jos), curățarea suprafeței exterioare prin *raclage* (Fig. 37/5) și, în final, lustruirea suprafeței (Fig. 37/6). Pe durata utilizării (probabil ca mâner al unui recipient), piesa s-a rupt și s-a încercat eliminarea capătului spart prin tăiere, în vederea refolosirii ei, dar operațiunea a fost abandonată (Fig. 37/4).

A doua piesă din Cpl. 7 bis este, din punct de vedere al morfologiei frontului activ, un vârf realizat pe un fragment distal epifizat de tibie dreaptă de ovicaprin (Fig. 37/2). Este un vârf confectionat pe suport conservând volumul anatomic al osului. S-a intervenit tehnologic doar la nivel distal pentru amenajarea frontului activ. S-a aplicat o lovitură în percuție difuză, ceea ce a generat o fractură oblică. Planul de fracturare a fost regularizat prin

abraziune, pentru a asigura convergența laturilor și morfologia ascuțită a frontului activ. Acesta din urmă este tocit, ca urmare a utilizării.

**2.7. Piese de metal** sunt reprezentate de un vârf de săgeată descoperit în bordeiul cu cuptor Cpl. 14 și piroane de fier din Cpl. 25. Un vârf de săgeată similar a fost descoperit în 1960 (Fig. 42). **Fragmente de zgură** (peste 30) au apărut în interiorul cuptoarelor și al bordeielor cu cuptor (Tabel 1). Dimensiunile lor variază de la 3–4 cm la 8–10 cm. Este de presupus, în cazul unora dintre complexe, o legătură cu activități metalurgice primitive de producere a unor piese de metal de natură domestică.

## Locuirea medievală târzie

### 2.8. Ceramică și sticlă (Fig. 34/1)

Ceramica descoperită în complexul medieval târziu este extrem de redusă numeric. Fragmentele identificate pot fi atribuite, cel mai probabil, unui număr de trei oale, dintre care două realizate dintr-o pastă mai grosieră, cu un nisip mai mare. O a treia oală, realizată dintr-o pastă mai fină, cu pereți mai subțiri, prezintă o toartă și un decor cu humă albă, reprezentat prin dungi orizontale, dispuse pe tot umărul vasului. În zona buzei se mai păstrează resturi de smalt.

Analogii pentru astfel de oale cu toartă sunt numeroase, forma și detaliile de realizare fiind comune în siturile medievale. În acest sens, putem face o referire la situl de la Străulești – *Măicănești*, aflat în apropiere, unde au fost identificate astfel de vase și datate în sec. XV–XVI (Constantiniu, Panait 1965, p. 216–217, fig. 115). Totuși, prezența smaltului, precum și alte detalii tehnologice par a indica o datare mai târzie a complexului nostru, respectiv în sec. XVII–XVIII.

**2.9. Industria litică** (Fig. 36/2) cuprinde 14 piese, dintre care 11 galeți de cuarț cu fațete plate cu urme de lustru, trei dintre ei având probabil și urmele unui pigment roșiatic (Fig. 36/2-stânga sus). Alte două piese intră în categoria lustruitoarelor din gresii nisipoase (Fig. 36/2-stânga și dreapta, rândul de jos); lor li se adaugă și un fragment de râșniță din șist negricios, probabil ars (Fig. 36/2-rândul de jos, centru). Cercetările arheometrice proiectate în viitor ar putea furniza detalii asupra funcționalității lor.

**2.10. Piese de metal** (Fig. 34/2) sunt majoritar fragmentare și includ obiecte de fier de utilitate domestică: potcoave (4), piroane/cuie (5), fragmente din piese nedeterminate (3). Alături de acestea, mai sunt prezente cinci fragmente, aparent dintr-o singură lamă realizată din fier, cu lățimea de 4–4,5 cm și o lungime însumată de cca 36 cm. Aceste dimensiuni, precum și faptul că niciunul dintre fragmente nu are caracteristici care să sugereze că aparțin unui capăt sau altuia al piesei,

sugerează că poate fi vorba despre lama unei săbii. În situl vecin, de la Străulești – Măicănești, cel mai apropiat sit medieval, au fost descoperite în anii '60 ai secolului al XX-lea, teci din piele aparținând unor astfel de săbii (Constantiniu, Panait 1965, p. 208, fig. 108/7). Lățimea exterioară a acestor teci, de cca 5 cm, concordă cu lățimea conservată a lamei noastre. În situl de la Străulești – Măicănești, astfel de teci din piele erau datate în secolele XV–XVI, datare prea timpurie pentru complexul nostru, dacă avem în vedere caracteristicile ceramicii.

O altă piesă descoperită este o greutate din fier, de formă triunghiulară, cu laturile rotunjite și cu o gaură de

atârnare dispusă central (Fig. 34, centru, rândul de jos).

Unica piesă de podoabă este un pandantiv (Fig. 34, stânga, rândul de jos), din care s-a păstrat rama ovoidală, cu un orificiu de prindere. Piesa este realizată dintr-un aliaj de culoare alburui-gri, cu o ușoară patină verzuie. Pe spatele ramei era fixat și sistemul de prindere a unei pietre (semiprețioase sau din sticlă), care nu s-a mai păstrat. Măsurătorile arheometrice realizate cu un aparat Brucker Instruments Tracer 5i indică un aliaj de cupru și zinc (Tabel 4) care, ca aspect exterior, lasă impresia că bijuteria a fost făcută din argint.

Probă	Zonă analizată	Cu%	Sn%	Pb%	Ag%	Fe%	Ti%	Zn%	Hf%
Pandativ	patină	87	0,41	0,87	0,08	2,4	0,43	8,25	0,43

**Tabel 4.** Componența elementală a pandantivului de la Sisești, Cpl. 5 / Elemental composition of the pendant from Cpl.5 at Sisești.

NR-Taxoni/Complexe	Cpl. 5	Cpl. 18	Total
<i>Bos taurus</i>		1	1
<i>Ovis aries</i>	1		1
ovicaprine		2	2
<b>total determinate</b>	<b>1</b>	<b>3</b>	<b>4</b>
indet mamifere de talie medie		1	1
<b>Total faună</b>	<b>1</b>	<b>4</b>	<b>5</b>
G-Taxoni/Complexe	Cpl. 5	Cpl. 18	Total
<i>Bos taurus</i>		16	16
<i>Ovis aries</i>	4		4
ovicaprine		13	13
<b>total determinate</b>	<b>4</b>	<b>29</b>	<b>33</b>
indet mamifere de talie medie		2	2
<b>Total faună</b>	<b>4</b>	<b>31</b>	<b>35</b>

**Tabel 5.** Repartiția numerică și procentuală a numărului de resturi (NR) și greutate (G) pe specii identificate în complexe de Ev Mediu târziu de la Sisești / Numbers and frequency of the remains (NR) and weight (G) by species, as identified in the Early Medieval features from Sisești.

**2.11. Materialul faunistic** este extrem de redus numeric și numără doar opt resturi (35 g), care provin din două complexe arheologice (Cpl. 5 – bordei și 18 – mormânt dublu) datate în secolul al XVIII-lea (Tabel 5).

Oasele descoperite în Cpl. 18 este posibil să provină din umplutura gropii mormântului, neexistând elemente care să sugereze că acestea sunt ofrande rituale. Numărul de specii identificate taxonomic este extrem de redus, doar două – vită și oaie. Este posibil ca, în cadrul eșantionului de ovicaprine indeterminabile (NR = 4), să existe și capră, dar aceasta nu a fost identificată de o manieră precisă. Ca NMI s-au identificat un subadult de vită, o oaie subadultă/adultă și un ovicaprin subadult/adult.

Mărimea eșantionului faunistic nu ne permite să facem alte aprecieri asupra acestei faune din perioada Evului Mediu târziu.

**2.12. Resturile osteologice umane** (doi indivizi) provin dintr-un mormânt dublu de inhumație (Cpl. 18). Primul individ este adult și este mai bine păstrat și reprezentat, iar cel de-al doilea este un subadult, foarte friabil, cu un grad de fragmentaritate ridicat. Premergător analizei antropologice propriu-zise, oasele au fost spălate cu apă, uscate la temperatura camerei și apoi restaurate în vederea prelevării datelor biometrice (Tabel 7) sau evidențierii unor particularități. Protocolul de lucru pentru cei doi indivizi a reunit atât metode comune (descrise în cazul individului adult), precum și unele diferite, specifice vârstei subadulte (descrise în cazul celui de al doilea subiect). Datele sintetice obținute din studiul antropologic sunt redată în Tabelul 6.

	Sex	Categorie de vârstă	Vârstă la deces	Statură scheletică	Greutate scheletică (kg)	Patologii dentare și osoase
Individ 1	F	Adult matur	35,0–39,0 ani	153,9 ± 3,5 cm	56,8	Tartru dentar, carii dentare, hipoplazie smalț dentar, <i>cribra orbitalia</i>
Individ 2	–	Infant	0,5–1,5 ani	818,8 ± 125,0 mm	10,2 ± 0,2	–

**Tabel 6.** Tabel sinoptic al principalelor caracteristici antropologice evidențiate la indivizii analizați / Synopsis of the main characteristics of the studied individuals.



### Individul 1

Resturile scheletice sunt foarte bine conservate, fiind ușor afectate de agenții tafonomici din sol, aspect evidențiat prin suprafețe albicioase (decolorate), care apar preponderent pe craniu, mandibulă și pe diafize, sau prin ușoare distrugerii, în special în aria extremităților oaselor lungi. La nivelul celor două oase parietale, pe linie mediană, în aria sectoarelor suturale sagitale S<sub>3</sub>–S<sub>4</sub>, au fost observate pete de culoare verzuie (Fig. 39/1), probabil rezultatul impregnării craniului cu oxizi de cupru proveniți de la cele trei ace de păr din inventarul funerar. În conformitate cu sistemul de clasificare al lui Brickley și McKinley (2004, p. 15–17), oasele se înscriu, în general, în gradul 1 de eroziune/abraziune.

Pe baza inventarului scheletic, individul este aproximativ complet și destul de puțin fragmentar. Caracteristicile biomorfometrice (Martin 1928a, p. 625–678; Martin 1928b, p. 1005–1052; Bräuer 1988, p. 160–232; Marc, Matthew 2013) ne relevă un individ cu o constituție gracilă.

Craniul neural este cvasicomplet (prezintă câteva distrugerii și lipsuri la nivelul scuamelor) și criptozig (Fig. 39/1). Lungimea maximă craniană este scurtă, lățimea maximă craniană, îngustă, iar indicele cranian orizontal descrie un craniu brahican (rotunjit). Înălțimea craniană a putut fi calculată doar între punctele *po* – *b* și este foarte scundă. Indicii vertico-longitudinal și vertico-transversal redau un craniu ortocran (mijlociu), respectiv tapeinocran (mic). Fruntea are lărgime minimă din categoria lată și lărgime maximă, mijlocie; prezintă margini ovale (intermediare) conform indicelui frontal transversal și este eurimetopă (largă) pe baza indicelui fronto-parietal transversal. Corespunzător indicelui parietal sagital, parietalele sunt bombate, iar indicele parieto-occipito transversal relevă un occipital larg.

Din craniul visceral au fost recuperate oasele palatine, fragmente din etmoid, zigomatice, sfenoid și hiod, maxilele și mandibula. Sunt prezenți toți cei 32 de dinți, în alveole, cu dentina prezentă sub formă de mici insule pe suprafața ocluzală a tuturor dinților. Palatul este leptostafilin (strâmt), conform indicelui palatal și hipsistafilin (înalț), bilateral, pe baza indicelui înălțimii. Mandibula este îngustă intercondilar, foarte îngustă intergonional, are gonioanele ușor răsfărânte, iar indicele mandibular descrie o mandibulă dolicoostenomandibulară (îngustă sau alungită).

De la nivelul scheletului postcranian s-a păstrat aproape în întregime coloana vertebrală, iar sectorul costal este fragmentar și incomplet. Lipsește sternul. Centura scapulară prezintă clavicule, întregi (gracile conform indicelui de robusticitate; mijlocie pe stânga și scurtă în dreapta, pe baza indicilor claviculo-humerali) și omoplați, fragmentari. Humerușii sunt compleți și euribrahii (rotunjiți) prin indicii de secțiune diafizară la mijloc. Radiusul stâng este complet (indicele brahial exprimă un radius mijlociu),

iar din cel drept este prezentă doar jumătatea proximală. Ulnele sunt întregi; indicii de platolenie redau la nivel sub-sigmoidian o ulnă stângă platolenică (aplatizată) și perechea acesteia, eurolenică (rotunjită). Sacrumul este bine păstrat, homobazal și platihieric (larg) pe baza indicelui sacral. Femurele sunt bine păstrate, cel drept prezentând ușoare distrugerii distale. Indicii de platimerie relevă femure eurimere (rotunjite sub trohantere), iar indicele pilastric descrie un femur stâng cu pilastru slab. Lipsește patela stângă, iar tibiile și peroneele sunt incomplete și fragmentare. Au mai fost recuperate câteva carpiene, metacarpiene, tarsiene, metatarsiene și falange de la mâini.

Caracteristicile scheletice discriminante sexuale pledează pentru apartenența individului la sexul feminin. În acest sens, reținem o serie de trăsături (Buikstra, Ubelaker 1994, p. 16–21) de la nivelul bazinului (mare șanț sciatic, larg, deschis = 2; sulcus preauricular, larg = 1) și craniului (creastă nucală, netedă, cu puține zone rugoase de inserție musculară = 2; proces mastoid, ascuțit, de grosime moderată = 3; margine supraorbitală, relativ ascuțită = 2; glabelă, netedă = 1; eminente mentale, minim exprimate = 2), la care se adaugă, complementar, caracteristici generale (Ferembach *et alii* 1980, p. 517–527; Acsádi, Nemeskéri 1970, p. 75–87) ce privesc întregul schelet.

Vârsta la deces a putut fi estimată atât pe baza suprafețelor auriculare ale oaselor coxale (Lovejoy *et alii* 1985), aflate în faza a patra de dezvoltare (35–39 ani), cât și prin înregistrarea gradului de obliterare a suturilor craniene, în aspect endocranian (Meindl, Lovejoy 1985, p. 63), care se remarcă printr-un nivel minim de sudare, corespunzător fazelor 2–3 (37,1 ani). Așadar, individul este un adult matur, aflat în stadiul incipient al categoriei de vârstă.

Statura scheletică a fost calculată prin metoda Pearson (Rösing 1988, p. 597), pe baza lungimilor maxime ale humerușilor, radiusului stâng și femurului stâng. Are o valoare de 153,9 ± 3,5 cm și este încadrată în categoria mijlocie. Un alt indicator corporal, greutatea scheletică (Auerbach, Ruff 2004, p. 336), are o valoare calculată la 56,8 kg, pe baza ecuațiilor de regresie ce includ diametrele antero-posterioare ale capetelor femurale.

Individul prezintă o serie de boli dentare. O primă manifestare o constituie tartrul dentar, supragingival, localizat neuniform pe dinții superiori – I<sup>1</sup>–C<sup>#</sup> stângi (labial); P<sup>1</sup>–M<sup>2</sup> stângi (bucal); P<sup>1</sup>–P<sup>2</sup> stângi, M<sup>3</sup>, bilateral (lingual) și pe cei inferiori – I<sub>1</sub>–M<sub>1</sub>, bilateral (labial și bucal, Fig. 39/2); I<sub>1</sub>–M<sub>1</sub> stângi (lingual); I<sub>1</sub>–P<sub>2</sub> drepte (lingual); M<sub>3</sub>, bilateral (distal). Alte boli dentare observate sunt cariile. Astfel, a fost constatată o leziune carioasă de mici dimensiuni la nivelul M<sup>1</sup>, bilateral (bucal), precum și leziuni carioase de mari dimensiuni, manifestate prin pierderea unei părți a dintelui la nivelul M<sup>3</sup>, bilateral

(bucal). Un ultim aspect patologic dentar întâlnit îl reprezintă hipoplazia smalțului dentar, observată bilateral, la nivelul C<sup>#</sup> și C<sup>#</sup>-P<sub>1</sub>. Hipoplazia este un bun indicator al stresului fiziologic și este cauzată de un episod de stres în faza amelogenetică, de formare a smalțului dentar (Goodman, Armelagos 1985).

O altă categorie de boli evidențiate este cea a maladiilor cu substrat metabolic și endocrin. Dintre acestea, pe plafonul orbitelor, au fost observate manifestări ale *cribrei orbitalia*, în formă vindecată (Fig. 39/3). Cel mai adesea, etiologia *cribrei orbitalia* este legată de anemia feriprivă: moștenită (talasemie și siclemie) sau dobândită, cauzată de lipsa aportului de fier din alimentație (Wapler *et alii* 2004; Keenleyside, Panayotova 2006).

În vederea stabilirii biodistanțelor inter- și intra-populaționale, au fost înregistrate și câteva caractere non-metrice (Mann *et alii* 2016; Turner *et alii* 1991; Hauser, De Stefano 1989; Finnegan 1978). Dintre caracterele epigenetice dentare prezente, amintim: rotații (I<sup>1</sup>, disto-lingual, stânga, Fig. 39/4), incisivi lopățică (I<sup>1</sup>, urmă, stânga), șanțuri de întrerupere (I<sup>1</sup>-I<sup>2</sup>, pe mijlocul cingulumului, stânga, Fig. 40/4), tubercul dentar (I<sup>2</sup>, puternic, dreapta), metacon (M<sup>1</sup>-M<sup>2</sup>, intermediar, bilateral), hipocon (M<sup>1</sup>-M<sup>2</sup>, larg, bilateral; M<sup>3</sup>, moderat, bilateral), metaconul (M<sup>3</sup>, mic cuspid, bilateral), cuspizi linguali (P<sub>2</sub>, cel mezial este egal cu cel distal, bilateral), model canelură (M<sub>2</sub>-M<sub>3</sub>, în formă de „+”, bilateral), număr cuspizi (M<sub>1</sub>-M<sub>2</sub> = 4, M<sub>3</sub> stâng = 5, M<sub>3</sub> drept = 6), hipoconulid (M<sub>3</sub>, mic, bilateral, Fig. 40/3), entoconulid (M<sub>3</sub>, egal cu hipoconulidul, dreapta, Fig. 40/3).

Caracterele discrete înregistrate la nivelul craniului sunt: șanț supraorbital (dreapta), foramen zigomatico-facial (două, largi, bilateral), osicule în interiorul șanțului parietal (stânga), canal condilar (nedeschis, bilateral), foramen mastoidal (unul, pe temporal, bilateral), sutură petrosquamoasă (completă, bilateral), foramen mental (unul, bilateral), punte milohioidiană (în centrul canalului milohioidian, parțială, stânga).

În segmentul postcranian au fost observate: al treilea trohanter (femur, bilateral), fațetă Charles (femur, stânga), fațete articulare laterale (tibie, dreapta), creastă acetabulară (coxal, stânga, Fig. 40/1), sulcus preauricular (coxal, bilateral), fațetă articulară acromială (omoplat, stânga), fosă mușchi vast lateral (patelă, dreapta), fațetă superioară articulară (atlas, una singură, bilateral).

Un ultim aspect analizat îl reprezintă prezența markerilor stresului biomecanic (Borgognini Tarli, Paciani, 1993; Herrerin López 1991). Dintre acestea, amintim câteva caractere epigenetice<sup>1</sup> (fațeta Charles, pe femurul

stâng; fațete articulare laterale tibiale), markeri musculoscheletici (amprente osteocondritice, pe femure, Fig. 40/2) și markeri metrici (asimetria osoasă). Aceasta din urmă a fost calculată pe baza lungimilor maxime ale humerusilor și are o valoare pozitivă (1,30), ceea ce ne indică o predilecție a individului în utilizarea părții drepte la acel nivel. Acest aspect este confirmat și de valorile lungimilor maxime ale claviculelor, cea stângă fiind mai ridicată (138,7 mm), față de perechea ei (132,0 mm), întocmai pentru a contrabalansa presiunea exercitată la nivelul centurii scapulare a membrului dominant (Mays *et alii* 1999).

Dimensiuni și indici	Individ 1 Valori (st. / dr.)	Individ 2 Valori (st. / dr.)
<i>Neurocraniu:</i> 1. Lungime maximă (G – Op)	162,4	
8. Lățime maximă (Eu – Eu)	135,3	
11. Indice cranian orizontal (8 : 1) × 100	83,3	
20. Înălțime (proiecție Po – B)	98,5	
14. Indice vertico-longitudinal (20 : 1) × 100	60,6	
15. Indice vertico-transversal (20 : 8) × 100	72,8	
<i>Frunte:</i> 9. Lărgime minimă (Ft – Ft)	101,2	
10. Lărgime maximă (Co – Co)	117,0	
112. Indice frontal transversal (9 : 10) × 100	86,5	
113. Indice fronto-parietal transversal (9 : 8) × 100	74,8	
<i>Parietal:</i> 27. Arc sagital (B – L)	121,0	
30. Coardă sagitală (B – L)	106,1	
124. Indice parietal sagital (30 : 27) × 100	87,7	
<i>Occipital:</i> 12. Lărgime (Ast – Ast)	108,1	
114. Indice parieto-occipito transversal (12 : 8) × 100	79,9	
<i>Arcadă superioară:</i> 61. Lățime (Ekm – Ekm)	58,4	
<i>Palat:</i> 62. Lungime (Ol – Sta)	45,8	
63. Lățime (Enm – Enm)	32,3	
64. Înălțime (în spatele M <sup>1</sup> )	13,5 / 13,6	
158. Indice palatal (63 : 62) × 100	70,5	
159. Indice înălțime (64 : 63) × 100	41,8 / 41,9	
<i>Mandibulă:</i> 65. Lărgime intercondilară (Kdl – Kdl)	113,0	77,8
66. Lărgime intergoniacă (Go – Go)	89,3	67,1
68. Lungime corp (proiecție Pg – Go)	110,1	72,8
162. Indice mandibular (68 : 65) × 100	97,5	93,6

<sup>1</sup> Pe lângă aportul lor în stabilirea gradului de înruder genetică, exprimarea caracterelor nonmetrice (în special cele de la nivelul scheletului postcranian) se află într-o strânsă interdependență cu stilul

de viață al indivizilor, fiind și rezultatul generat de o serie de activități cotidiene ce implică articulațiile.

80(2). Lungime ( $P_1 - M_3$ )	47,8 / 47,7	
Claviculă: C1. Lungime maximă	138,7 / 132,0	
C6. Perimetru la mijloc	30,0 / 30,0	
Indice robusticitate ( $C1 : C6 \times 100$ )	21,6 / 22,7	
Humerus: H1. Lungime maximă	299,8 / 303,6	116,6 / –
H2. Lungime fiziologică	294,6 / 299,3	
H5. Diametru maxim la mijloc	19,2 / 19,4	11,4 / –
H6. Diametru minim la mijloc	15,2 / 15,5	10,3 / –
Indice secțiune diafizară ( $H6 : H5 \times 100$ )	78,8 / 80,0	90,9 / –
Radius: R1. Lungime maximă	233,2 / –	
Ulnă: U13. Diametru transversal sub-sigmoidian	17,0 / 16,7	12,2 / –
U14. Diametru sagital sub-sigmoidian	20,4 / 21,4	14,1 / –
Indice platolenie ( $U13 : U14 \times 100$ )	83,2 / 77,8	86,6 / –
Sacrum: S2. Lungime directă anterioară	105,8	
S5. Lățime antero-superioară	120,1	
Indice sacral ( $S2 : S5 \times 100$ )	113,5	
Femur: F1. Lungime maximă	423,5 / –	
F2. Lungime fiziologică	421,3 / –	
F6. Diametru sagital la mijloc	25,5 / –	
F7. Diametru transversal la mijloc	23,6 / –	
F9. Diametru transversal sub-trohanterian	30,1 / 32,9	17,5 / –
F10. Diametru sagital sub-trohanterian	26,6 / 29,2	15,3 / –
F19. Diametru sagital cap	40,3 / 40,8	
F21. Lățime epicondilară	73,7 / –	
Indice pilastric ( $F6 : F7 \times 100$ )	108,0 / –	
Indice platimeric ( $F10 : F9 \times 100$ )	88,4 / 88,8	87,5 / –
Patelă: P2. Lățime maximă	– / 40,5	
Tibie: T8a. Diametru sagital la fosa nutritivă		15,2 / –
T9a. Diametru transversal la fosa nutritivă		14,0 / –
Indice cnemic ( $T9a : T8a \times 100$ )		92,2 / –
Intermembral: Indice claviculo-humeral ( $C1 : H2 \times 100$ )	47,1 / 44,1	
Indice humero-radial ( $R1 : H2 \times 100$ )	79,2 / –	

**Tabel 7.** Dimensiuni (mm) și indici, cranian și postcranian, la indivizii de la Sisești / Size (mm) and indexes (cranial and postcranial) for the Sisești individuals.

### Individul 2

Au fost recuperate resturi scheletice, mediocru conservate (grad 3 de eroziune/abraziune), care prezintă exfolieri și deformări la nivelul craniului neural și numeroase distrugerii în toate sectoarele segmentului postcranian.

Din neurocraniu au fost identificate numeroase fragmente din scuame, de mici dimensiuni. Din etajul visceral s-au păstrat fragmente din maxile și mandibulă

(dolicostenomandibulară). Dentiția este deciduală. Au fost recuperați 20 de dinți ( $i^1 - M^1$  stângi;  $i^2 - M^1$  drepti;  $i_1 - m_2$  stângi;  $i_2 - m_2$  drepti), niciunul, definitiv, erupt; doi dinți au fost pierduți postmortem ( $i^1$  drept;  $i_1$  drept). Sectorul costo-vertebral este destul de fragmentar. Lipsesc oasele centurii scapulare, iar din bazin a fost recuperat doar un fragment dintr-un ischion stâng. De la nivelul membrelor au fost identificate doar oasele lungi de pe partea stângă, dintre care întreg s-a păstrat numai humerusul (euribrah). Alte caracteristici biomorfometrice evidențiate sunt eurolenia ulnei, eurimeria femurului și tibia, eucinemică.

Vârsta individului a fost estimată atât pe baza secvenței de erupție și dezvoltare a dinților (Ubelaker 1980, p. 46–47, fig. 62), cât și pe baza lungimii maxime a diafizei humerale stângi, conform normelor aceluiași autor (Ubelaker 1980, p. 48–49, tab. 5). Au fost obținute valori de 1,5 ani  $\pm$  6 luni, respectiv 0,5–1,5 ani (*infant*).

Pe baza recomandărilor din literatura de specialitate, au fost calculate statura (Visser, 1998 p. 415) și greutatea scheletică a individului (Visser, 1998 p. 417). Cei doi parametri corporali, aflați în strânsă interdependență, au valori de 818,8  $\pm$  125,0 mm, respectiv 10,2  $\pm$  0,2 kg.

Dintre caracterele epigenetice dentare au fost observate (bilateral, pe coroana  $M^1$ , aflată în alveolă) câte un metacon și un hipocon (largi) și un metaconul (un cuspid de mici dimensiuni). La nivel cranian a fost observată prezența bilaterală a unui foramen mental.

### CONCLUZII

Cercetarea arheologică a siturilor de pe traseul Colentinei a avut un prim avânt în anii '60 ai secolului trecut, când multe dintre ele au fost descoperite sau redescoperite. Dezvoltarea imobiliară din ultimele decade a favorizat noi cercetări arheologice preventive, care, deși desfășurate pe zone restrânse, au adus un aport important în observarea dinamicii comunităților umane în diverse epoci.

Principalul rezultat care merită a fi subliniat este clarificarea confuziei legate de localizarea punctului *La Stejar*. Cercetarea noastră din 2020, precum și cele din 2007 și 2011 aparțin, de fapt, sitului arheologic București Noi – Alba și nu Băneasa – *La Stejar*, fapt confirmat și de structura materialelor arheologice identificate în cele patru zone cercetate (incluzând și materialul publicat din cercetările din anii 1960). De asemenea, este eronată întreaga amplasare și delimitare a siturilor din această zonă, așa cum apar pe *Planșa cu delimitarea siturilor arheologice*, anexă a PUG București 2000. Localizarea lor corectă, atât cât putut fi reconstituită, este prezentată în Planul 3/A.

Rezultatele prezentate de noi confirmă existența unei locuiri de epoca bronzului. Cea mai intensă locuire a fost însă constatată pentru perioada medievală timpurie, fiind identificat un număr semnificativ de bordeie și

cupatoare, aglomerate într-o zonă restrânsă pe terasa înaltă a malului Colentinei, în interiorul unui perimetru localizat la maxim 50 m de marginea actuală a terasei. Potrivit localizării celorlalte cercetări, raportate la modificările antropice ale cursului Colentinei, putem considera că ne aflăm spre limita nordică a așezării. Cercetările noastre pot fi racordate la cele realizate de Muzeul Municipiului București în 1962, 2008 și 2011, cercetări care au revelat complexe atribuite aceleiași perioade a secolelor IX–X p.Chr. Sperăm ca noi informații să fie adăugate cu ocazia cercetării parcelelor învecinate, în momentul de față libere de construcții.

Nota de noutate adusă de noi se referă și la identificarea unei locuiri medievale târzii, pusă în evidență de existența unui bordei cu inventar bogat în piese de metal și a unui mormânt dublu.

Id	Est	Nord
1	582288.941	334458.824
2	582337.568	334446.275
3	582361.097	334421.177
4	582359.529	334378.824
5	582337.568	334350.589
6	582318.745	334327.060
7	582285.804	334322.354
8	582262.274	334358.432
9	582249.725	334391.373
10	582249.725	334429.020

**Tabel 8.** Coordonatele STEREO 70 ale sitului Străulești – Măicănești (delimitare 1963) / STEREO 70 coordinates for the site at Străulești – Măicănești (as defined in 1963).

Id	Est	Nord
1	582470.901	334276.864
2	582497.567	334276.864
3	582575.999	334256.472
4	582583.842	334178.041
5	582554.038	334171.766
6	582448.940	334185.884
7	582447.372	334220.393

**Tabel 9.** Coordonatele STEREO 70 ale sitului Străulești – Lunca (delimitare 1963) / STEREO 70 coordinates for the site at Străulești – Lunca (as defined in 1963).

Id	Est	Nord
1	583040.311	334228.237
2	583103.055	334181.178
3	583098.350	334121.570
4	583071.683	334096.472
5	583012.075	334099.610
6	582972.860	334123.139
7	582994.821	334187.452

**Tabel 10.** Coordonatele STEREO 70 ale sitului București – Alba (delimitare 1963) / STEREO 70 coordinates for the site at București – Alba (as defined in 1963).

Id	Est	Nord
1	583477.956	333845.493
2	583438.741	333743.532
3	583525.015	333643.141
4	583661.485	333627.454
5	583699.132	333698.042
6	583705.406	333726.278
7	583721.092	333792.160
8	583550.113	333851.767

**Tabel 11.** Coordonatele STEREO 70 ale sitului Băneasa – La Stejar (propunere delimitare) / Suggested STEREO 70 coordinates for the site at Băneasa – La Stejar.

Id	Est	Nord
1	585059.127	333927.061
2	585015.205	333843.924
3	584943.049	333884.708
4	584949.323	333901.963

**Tabel 12.** Coordonatele STEREO 70 ale sitului Băneasa – Sat (delimitare 1965) / STEREO 70 coordinates for the site at Băneasa – Sat (as defined in 1965).

## MULȚUMIRI

Mulțumim doamnei Monica Mărgărit pentru informațiile referitoare la piesele de os și doamnei Daniela Stan de la IFIN-HH pentru măsurătorile arheometrice.

## BIBLIOGRAFIE

- Acsádi, Nemeskéri 1970 – G. Acsádi, J. Nemeskéri, *History of human life span and mortality*, Budapest, 1970.
- Auerbach, Ruff 2004 – B. M. Auerbach, C. B. Ruff, *Human body mass estimation: a comparison of "morphometric" and "mechanical" methods*, *AJPA* 125, 2004, 4, p. 331–342.
- Barone R., 1986 – R. Barone, *Anatomie comparée des mammifères domestiques*, 3<sup>e</sup> éd., vol. I, Paris, 1986.
- Bălășescu et alii 2003 – A. Bălășescu, M. Udrescu, V. Radu, D. Popovici, *Archéozoologie en Roumanie. Corpus de données*, Biblioteca Muzeului Național, Cercetări Pluridisciplinare 5, București, 2003.
- Boesneck et alii 1964 – J. Boesneck, H. H. Muller, M. Teichert, *Osteologische Unterscheidungsmerkmale zwischen Schaf (Ovis aries Linnaeus) und Ziege (Capra hircus Linnaeus)*, *Kühn-Archiv* 78, 1964, p. 1–129.
- Borgognini Tarli, Paciani 1993 – S. Borgognini Tarli, E. Pacciani, *I resti umani nello scavo archeologico. Metodiche di recupero e studio*, Roma, 1993.
- Bräuer 1988 – G. Bräuer, *Osteometrie*, în: R. Knußmann, I. Schwidetzky, H. W. Jürgens, G. Ziegelmayer (eds.), *Anthropologie, Handbuch der vergleichenden Biologie des Menschen*, zugleich 4. Auflage der Lehrbuchs der Anthropologie, begründet von Rudolf Martin, Sonderdruck, Band I/1: Wesen und Methoden der Anthropologie, Stuttgart, 1988, p. 160–232.
- Brickley, McKinley 2004 – M. Brickley, J. I. McKinley (eds.), *Guidelines to the standards for recording human remains*, IFA Paper 7, British Association for Biological Anthropology and Osteoarchaeology – Institute of Field Archaeology, Southampton – Whiteknights, 2004.
- Buikstra, Ubelaker 1994 – J. E. Buikstra, D. H. Ubelaker (eds.), *Standards for data collection from human skeletal remains*, Arkansas Archaeological Survey Research 44, Arkansas 1994.
- Clutton-Brock et alii 1990 – J. Clutton-Brock, K. Dennis-Bryan, P. A. Armitage, P. A. Jewell, *Osteology of the Soay Sheep*, Bulletin British Museum Natural History 56, 1990, p. 1–56.
- Constantiniu 1965 – M. Constantiniu, *1. Așezarea autohtonă prefeudală*

- de la Băneasa (La Stejar), în: M. Constantiniu, P. I. Panait, *Șantierul arheologic Băneasa – Străulești*, CAB 2, 1965, p. 77–98.
- Constantiniu, Panait 1965 – M. Constantiniu, P. I. Panait, 2. *Șantierul arheologic Băneasa – Străulești*, CAB 2, 1965, p. 98–140.
- Constantiniu, Panait 1968 – M. Constantiniu, P. I. Panait, *Șantierul arheologic Băneasa – Străulești, Sectorul Măicănești*, București 6, 1968, p. 64–68.
- Ducos 1968 – P. Ducos, *L'origine des animaux domestiques en Palestine*, Publications de l'Institut de préhistoire de l'Université de Bordeaux, Mémoire 6, Bordeaux, 1968.
- Ferembach et alii 1980 – D. Ferembach, I. Schwidetsky, M. Stoukal, *Recommendations for age and sex diagnoses of skeletons*, Workshop of European Anthropologists, JHE 9, 1980, 7, p. 517–549.
- Fiedler 1992 – U. Fiedler, *Studien zu Gräberfeldern des 6. bis 9. Jahrhunderts an der unteren Donau*, UPA 11, Bonn, 1992.
- Finnegan 1978 – M. Finnegan, *Non-metric variation of the infracranial skeleton*, Journal of Anatomy 125, 1978, 1, p. 23–37.
- Goodman, Armelagos 1985 – A. H. Goodman, G. J. Armelagos, *The chronological distribution of enamel hypoplasia in human permanent incisor and canine teeth*, Archives of Oral Biology 30, 1985, 6, p. 503–507.
- Grant 1982 – A. Grant, *The use of tooth wear as a guide to the age of domestic ungulates*, în: B. Wilson, C. Grigson, S. Payne, *Ageing and Sexing Animal Bones from Archaeological Sites*, BARBrSer 109, London, 1982, p. 91–108.
- Haimovici 1979 – S. Haimovici, *Fauna din așezările feudale timpurii (sec. VIII–X) de la Bucov- Ploiești*, SCIV 30, 1979, 2, p. 163–213.
- Haimovici 2003 – S. Haimovici, *Studiul resturilor animaliere descoperite în așezarea de la Radovanu (datată către sfârșitul mileniului I p. Chr.)*, Argeșis 12, p. 593–601.
- Haimovici, Gava 2002 – S. Haimovici, R. Gava, *Studiul materialului faunistic găsit în două gropi din perimetrul necropolei de incinerare de la Păuleasca (sec. IX)*, Argeșis 11, 2002, p. 123–129.
- Hallstead et alii 2003 – P. Hallstead, P. Collins, V. Isaakidou, *Sorting the sheep from the goats : morphological distinctions between the mandibles and mandibular teeth of adult Ovis and Capra*, JAS 29, 2003, 5, p. 545–554.
- Hauser, De Stefano 1989 – G. Hauser, G. F. De Stefano, *Epigenetic variants of the human skull*, Stuttgart, 1989.
- Helmer 2000 – D. Helmer, *Discrimination des genres Ovis et Capra à l'aide des prémolaires inférieures 3 et 4 et interprétation des âges d'abattage : l'exemple de Dikili Tash (Grèce)*, Ibx Journal of Mountain Ecology 5 - Anthropozoologica 31, 2000, p. 29–38.
- Herrérin López 2001 – J. Herrérin López, *La necrópolis de la catedral de El Burgo de Osma (Soria): bioantropología de una población medieval y moderna*, tesis de la Universidad Complutense de Madrid, 2001.
- Horard Herbin 1997 – M.-P. Horard Herbin, *Le village celtique des Arènes à Levroux. L'élevage et les productions animales dans l'économie de la fin du second Age du Fer*, 12<sup>ème</sup> supplément à la Revue du Centre de la France, Levroux 4, 1997.
- Ionașcu et alii 1959 – I. Ionașcu, S. Morintz, D. V. Rosetti, *Bucureștii de odinioară în lumina săpăturilor arheologice*, București, 1959.
- Keenleyside, Panayotova 2006 – A. Keenleyside, K. Panayotova, *Cribra orbitalia and porotic hyperostosis in a Greek colonial population (5<sup>th</sup> to 3<sup>rd</sup> centuries BC) from the Black Sea*, IJO 16, 2006, 5, p. 373–384.
- Lovejoy et alii 1985 – C. O. Lovejoy, R. S. Meindl, T. R. Pryzbeck, R. P. Mensforth, *Chronological metamorphosis of the auricular surface of the ilium: a new method for the determination of adult skeletal age at death*, AJPA 68, 1985, 1, p. 15–28.
- Mann et alii 2016 – R. W. Mann, D. R. Hunt, S. Lozanoff, *Photographic regional atlas of non-metric traits and anatomical variants in the human skeleton*, Springfield, Illinois, 2016.
- Marc, Matthew 2013 – L. Marc, T. Matthew, *Shape variability of the sacrum: clinical and research implications*, La Revue de l'Ostéopathie 9, 2013, 1, p. 5–10.
- Martin 1928a – R. Martin, *Lehrbuch der Anthropologie in systematischer Darstellung mit besonderer Berücksichtigung der anthropologischen Methoden; für Studierende, Ärzte und Forschungsreisende*, Zweite vermehrte Auflage, Erste Band: *Somatologie*, Jena, 1928.
- Martin 1928b – R. Martin, *Lehrbuch der Anthropologie in systematischer Darstellung mit Besonderer berücksichtigung der anthropologischen Methoden; für Studierende, Ärzte und Forschungsreisende*, Zweite vermehrte Auflage, Zweite Band: *Kraniologie, Osteologie*, Jena, 1928.
- Mays et alii 1999 – S. Mays, J. Steele, M. Ford 1999, *Directional asymmetry in the human clavicle*, IJO 9, 1999, 1, p. 18–28.
- Meindl, Lovejoy 1985 – R. S. Meindl, C. O. Lovejoy, *Ectocranial suture closure: a revised method for the determination of skeletal age at death based on the lateral-anterior sutures*, AJPA 68, 1985, 1, p. 57–66.
- Mănucu-Adameșteanu et alii 2008 – Gh. Mănucu-Adameșteanu, C. D. Pîrvulescu, C. M. Ciocănel, C. Nestorescu, M.-T. Zambory, G. Vasile, *București. Punct: Băneasa-La Stejar, str. Gh. Ionescu-Sisești, nr. 215*, CCA 2008, campania 2007, Iași, 2008, p. 58–60.
- Moise 2000 – D. Moise, *Studiul resturilor faunistice descoperite în complexele din așezarea medievală timpurie de la Bucu (jud. Ialomița)*, ArhMed 3, 2000, p. 263–265.
- Necrasov, Haimovici 1967 – O. Necrasov, S. Haimovici, *Studiul resturilor osoase de animale descoperite în așezarea feudală timpurie de la Dridu*, în: E. Zaharia, *Săpăturile de la Dridu*, București, 1967, p. 202–241.
- Panait 1963 – P. I. Panait, *Săpăturile de la Bucureștii Noi din anul 1960. Sectorul Alba*, CAB 1, 1963, p. 104–125.
- Payne 1973 – S. Payne, *Kill-off patterns in sheep and goat : the mandibles from Asvan Kale*, Anatolian Studies 23, 1973, p. 281–303.
- Payne 1985 – S. Payne, *Morphological distinction between the mandibular teeth of young sheep, Ovis and goats*, Capra, JAS 12, 1985, p. 139–147.
- Popovici et alii 2002 – D. Popovici, A. Bălășescu, C. Haită, V. Radu, A. M. F. Tomescu, I. Tomescu, *Cercetarea arheologică pluridisciplinară. Concepte, metode și tehnici*, Biblioteca Muzeului Național, Cercetări Pluridisciplinare 3, București, 2002.
- Prummel, Frisch 1986 – W. Prummel, H. J. Frisch, *A Guide for the distinction of Species, Sex and Body in Bones of Sheep and Goat*, JAS 13, 1986, p. 567–577.
- Rosetti 1932 – D. V. Rosetti, *Cîteva așezări și locuințe preistorice din preajma Bucureștilor*, București, 1932.
- Rosetti 1936 – D. V. Rosetti, *Din preistoria Bucureștilor. I. Civilizația tip București – Die Bukarester Kultur*, București, 1936.
- Rösing 1988 – F. W. Rösing, *Körperhöhenrekonstruktion aus skelettmaßen*, în: R. Knußmann, I. Schwidetzky, H. W. Jürgens, G. Ziegelmayer (eds.), *Anthropologie, Handbuch der vergleichenden Biologie des Menschen*, zugleich 4, Auflage der Lehrbuchs der Anthropologie, begründet von Rudolf Martin, Sonderdruck, Band 1/1: *Wesen und Methoden der Anthropologie*, Stuttgart, 1988, p. 586–599.
- Schmid 1972 – E. Schmid, *Atlas of Animal Bones*, Amsterdam – London – New York, 1972.
- Stanc 2006 – S. Stanc, *Relațiile omului cu lumea animală. Arheozoologia secolelor IV–X pentru zonele extracarpatice de est și de sud ale României*, Iași, 2006.
- Turner et alii 1991 – G. C. II Turner, C. R. Nichol, G. R. Scott, *Scoring procedures for key morphological traits of the permanent dentition: the Arizona State University dental anthropology system*, în: Kelley, M. A., Larsen, C.S. (eds.), *Advances in dental anthropology*, New York, 1991.
- Udrescu 1981 – M. Udrescu, *Descoperiri arheologice la Bucureștii Noi și Bragadiru*, CAB 3, 1981, p. 236–239.
- Udrescu et alii 1999 – M. Udrescu, L. Bejenaru, C. Hrișcu, *Introducere în arheozoologie*, Iași, 1999.
- Ubelaker 1980 – D. H. Ubelaker, *Human skeletal remains-excavation, analysis, interpretation, Manuals on archaeology*, 2<sup>nd</sup> ed., Washington D.C., 1980.
- Vintilă 2018 – C. M. Vintilă, *Descoperiri aparținând culturii Dridu în așezarea de la București – „Străulești Măicănești”*, RCAN 4, 2018, p. 171–204.
- Vintilă, Măgureanu 2012 – A. Măgureanu, C. M. Vintilă, *Notă asupra descoperirilor de sec. II-I a. Chr. din situl arheologic Băneasa – La Stejar*, BMJT 4, 2012, p. 183–196.
- Visser 1998 – E. P. Visser, *Little waifs: estimating child body size from historic skeletal material*, IJO 8, 1998, 6, p. 413–423.
- Wapler et alii 2004 – U. Wapler, E. Crubézy, M. Schultz, *Is cribra orbitalia synonymous with anemia? analysis and interpretation of cranial pathology in Sudan*, AJPA 123, 2004, 4, p. 333–339.

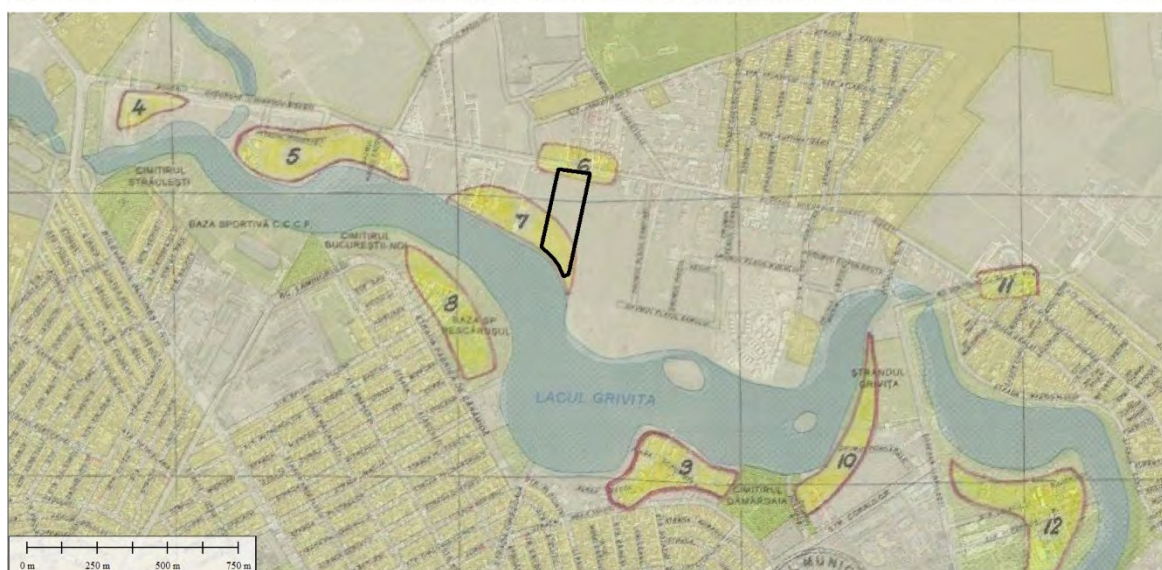




A



B



C

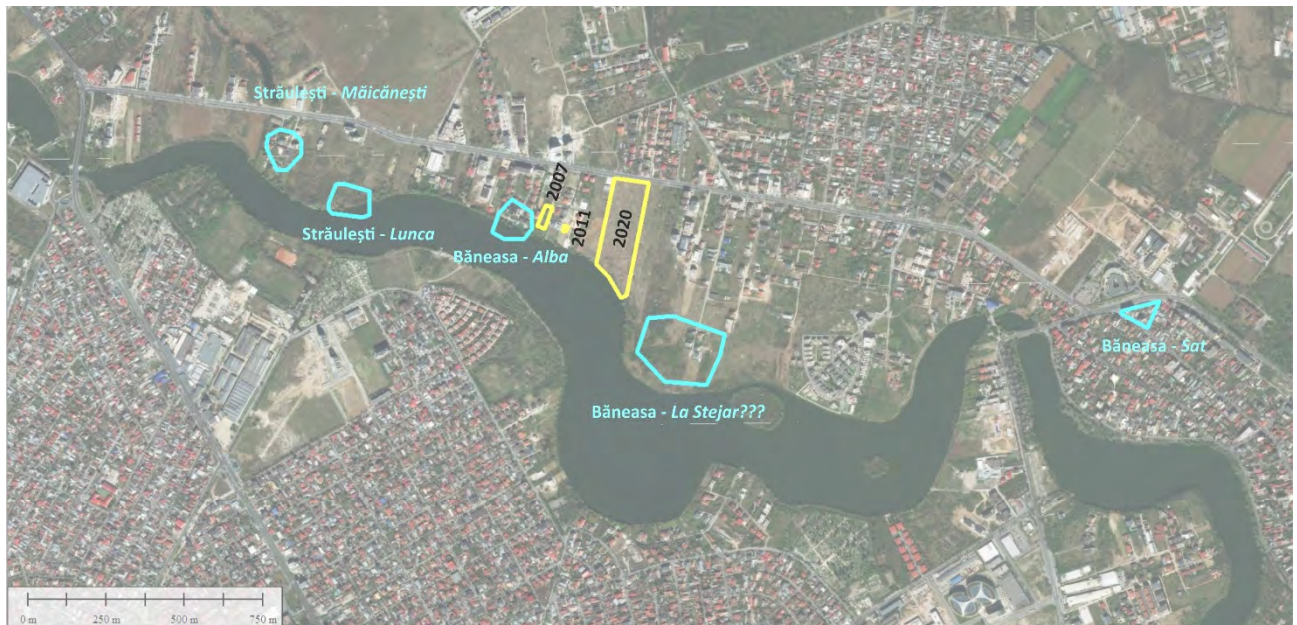
**Plan 1.** A. Localizarea sitului Băneasa – La Stejar pe Planul general al săpăturilor arheologice de la București, adaptat după Ionașcu et alii 1959; B. Lipsa sitului Băneasa – La Stejar conform hărții din Constantinii, Panait 1965; C. Localizarea celor două situri conform PUG Municipiului București 2000/ A. Location of Băneasa – La Stejar according to Ionașcu et alii 1959; B. Absence of Băneasa – La Stejar site according to Constantinii, Panait 1965 (adapted); C. Location of the two sites according to the PUG Municipiului București 2000 (the urbanism plan of Bucharest).





**Plan 2.** Localizarea zonei cercetate pe: A. Planul istoric de la 1864; B. Planul director de tragere; C. Fotografie aeriană din 1966; D Imagine Google Earth 2021 / Location of the researched area on: A. The plan of 1864; B. Military Plan; C. Aerial photograph from 1966; D. Google Earth image from 2021.





A



B

**Plan 3.** A. Localizarea corectă a celor șapte situri arheologice identificate în zonă; B. Localizarea complexelor arheologice în aria studiată / A. Map of the correct location of the seven archaeological sites in the area; B. Distribution of archaeological features on the investigated area.





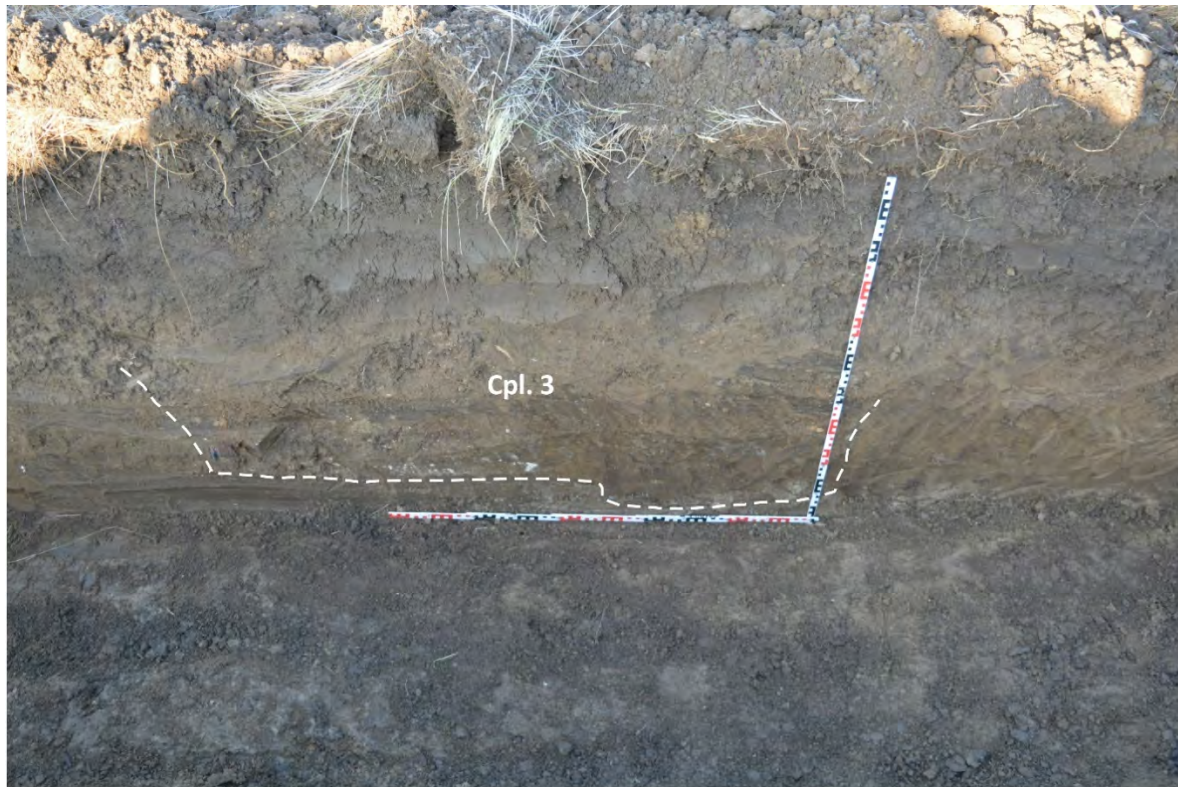
1



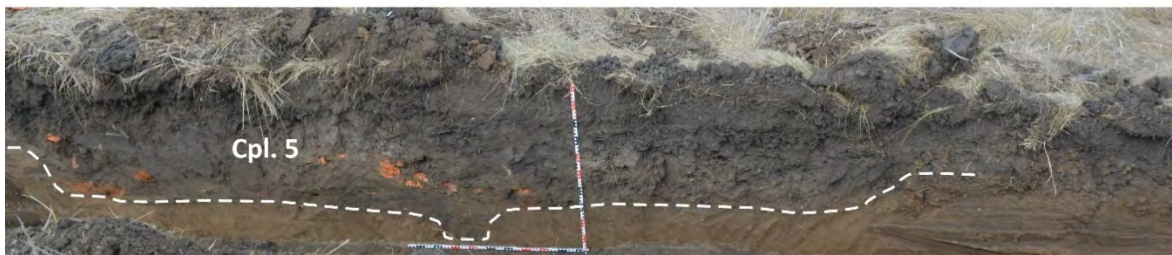
2

**Figura 1.** Complexul de epoca bronzului Cpl. 2 / Bronze Age feature Cpl. 2.





1



2



3

**Figura 2.** 1. Groapa aparținând epocii bronzului Cpl. 3; 2. Profilul locuinței Cpl. 5 (sec. al XVIII-lea); 3. Detaliu cu aglomerarea de cărămizi din Cpl. 5 / 1. Bronze Age pit Cpl. 2. Section through the medieval pithouse Cpl. 5 (18<sup>th</sup> century); 3. Detail with the agglomeration of brick fragments in pithouse Cpl. 5.





1



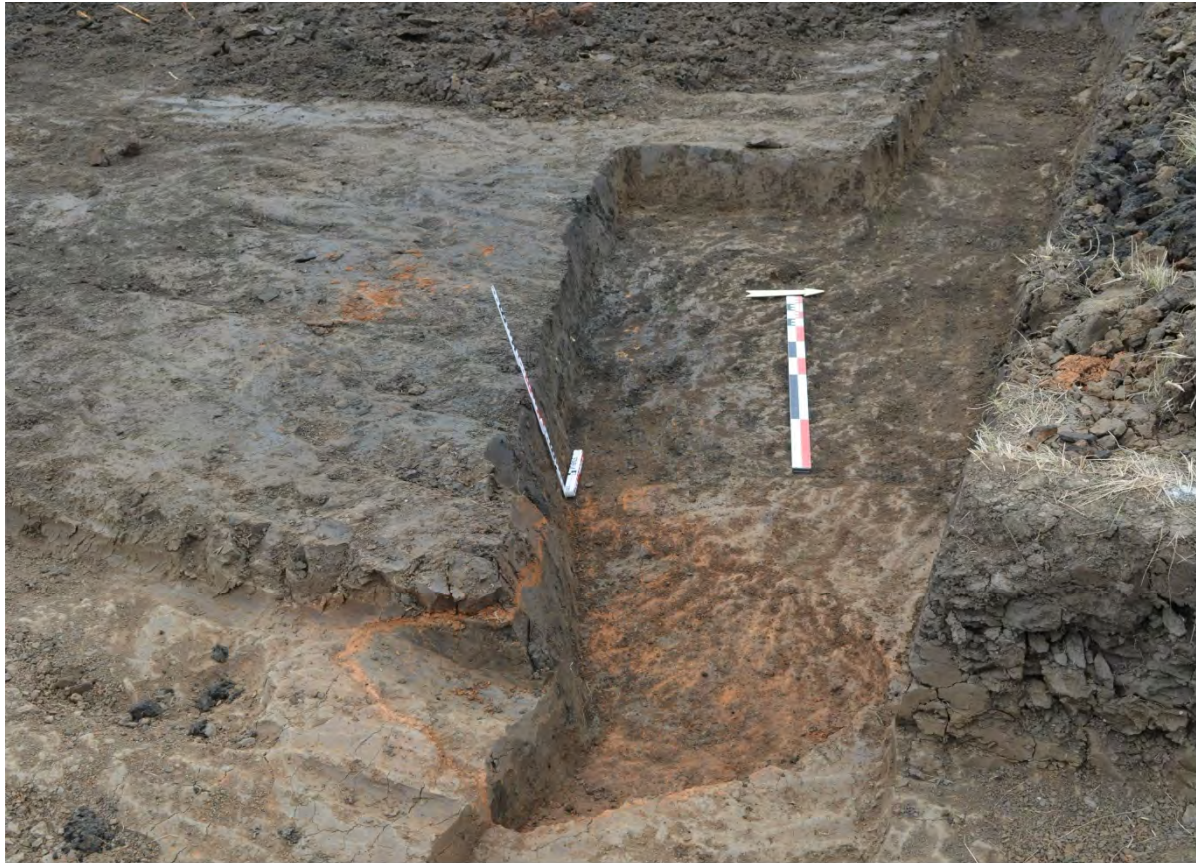
2



3

**Figura 3.** Bordeul cu cuptor Cpl. 4 (sec. al IX-lea). 1. Vedere generală; 2. Secțiune prin cuptor; 3. Detaliu cu groapa de par din spatele cuptorului / Medieval pithouse with oven Cpl. 4 (9<sup>th</sup> century). 1. General view; 2. Section along the axis of the oven; 3. Detail with the posthole behind the oven.





1



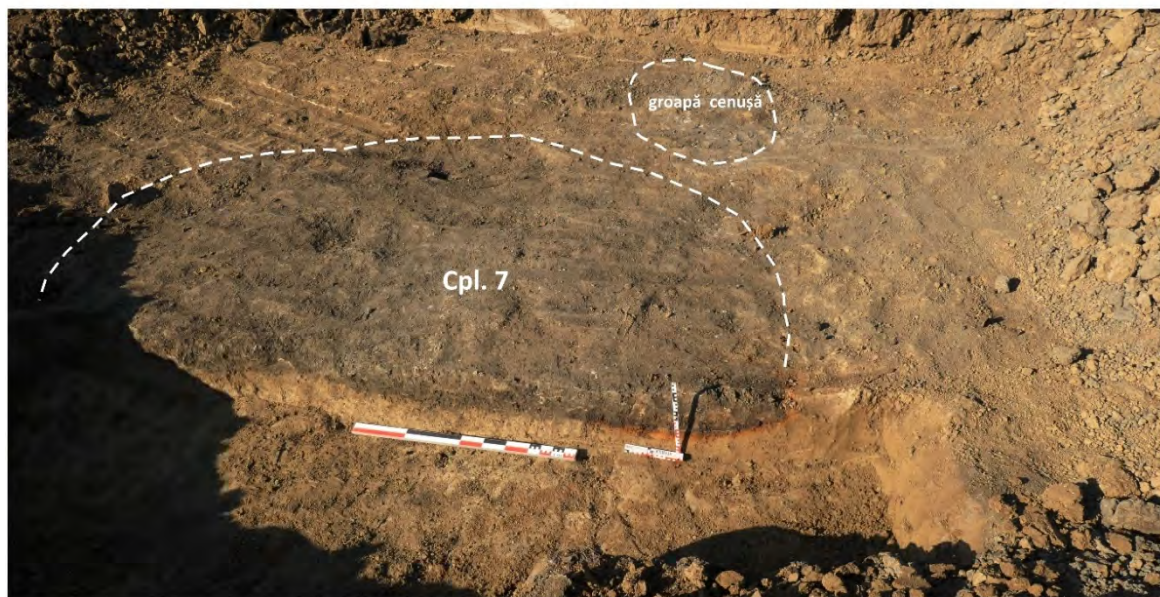
2

**Figura 4.** Cuptorul Cpl. 6 (sec. al IX-lea) / Medieval oven Cpl. 6 (9<sup>th</sup> century).





1



2



3



4

**Figura 5.** Bordeiul cu cuptor Cpl. 7 (sec. al IX-lea). 1. Vedere cu jumătatea de est a cuptorului; 2. Jumătatea de vest a cuptorului după secționare și groapa cu cenușă; 3. Detaliu cu una din gropile de par de pe latura de est; 4. Secțiune prin cuptor / Medieval pithouse with oven Cpl. 7 (9<sup>th</sup> century). 1. View of the eastern part of the pithouse; 2. The western half of the pithouse and the circular pit filled with ash; 3. Detail with one of the postholes on the eastern side; 4. Section along the axis of the oven.





1



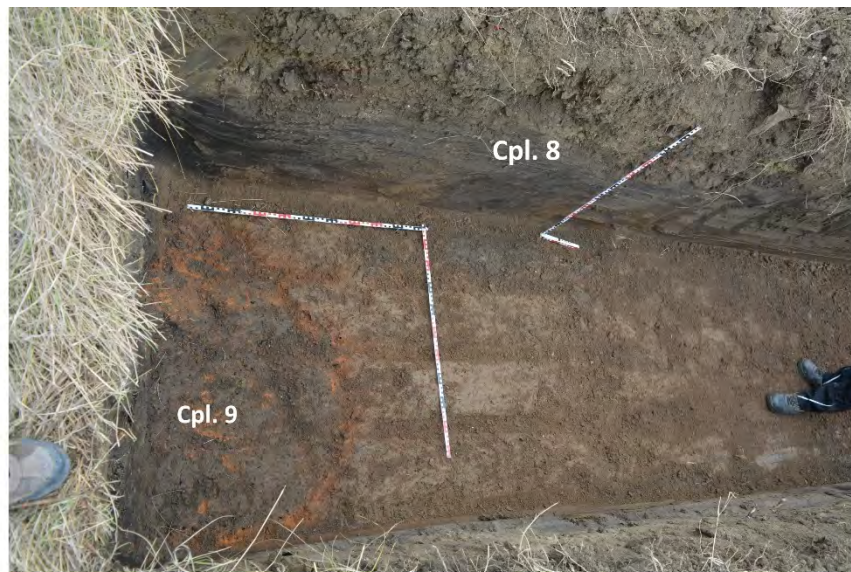
2



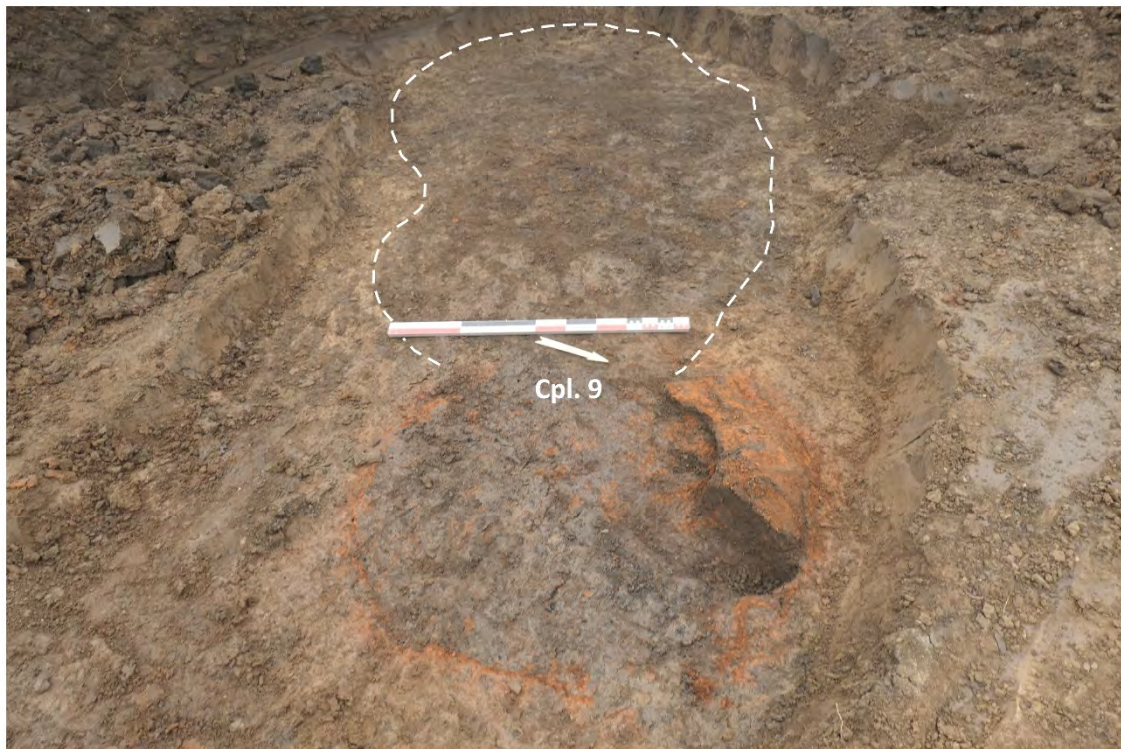
3

**Figura 6.** Bordeiul cu cuptor Cpl. 7 bis (sec. al IX-lea). 1 Vedere generală de sus; 2. Secțiune pe direcția E–V; 3. Detaliu cu cuptorul / Medieval pithouse with oven Cpl. 7 bis (9<sup>th</sup> century). 1. General view from above; 2. Section along the E–W axis; 3. Detail of the oven.

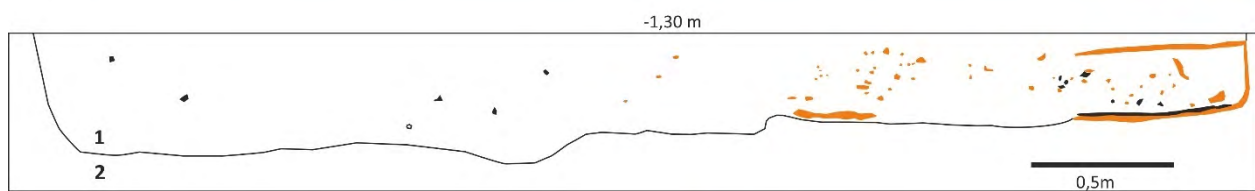




1



2



3

- 1 sol galben lutos  
2 sol brun negricios cu cărbune, cenușă și fragmente perete cuptor

- perete cuptor/arsură  
cărbune

**Figura 7.** 1. Complexele Cpl. 8 (groapă) și Cpl. 9 (cuptor); 2. Cpl. 9: vedere generală; 3. Secționarea cuptorului Cpl. 9 / 1. Features Cpl. 8 (pit) and Cpl. 9 (oven); 2. Cpl. 9: general view; 3. Section along the axis of oven Cpl. 9.

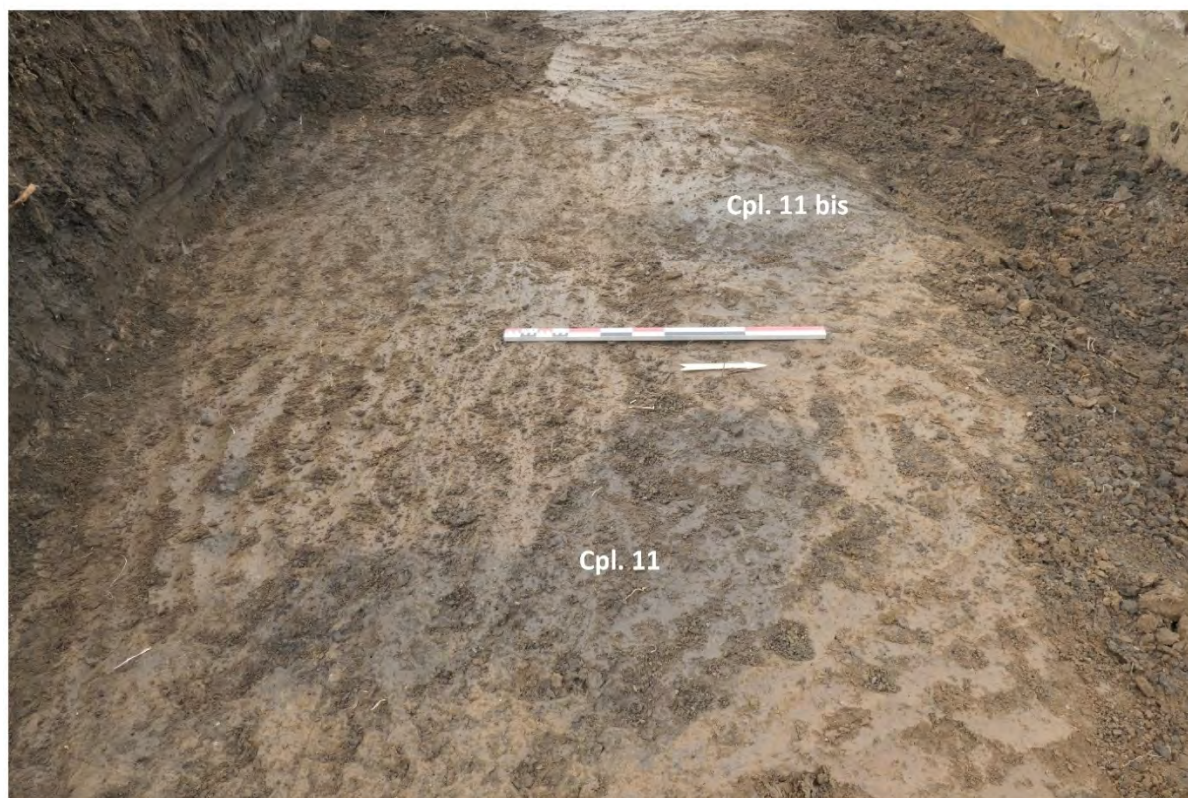




1



2



3

**Figura 8.** 1. Profilul bordeiului Cpl. 10 la observare; 2. Vase ceramice din Cpl. 10 surprinse în profil; 3. Cpl. 11 și Cpl. 11 bis – vedere generală / 1. Profile section of medieval pithouse Cpl. 10; 2. Pottery fragments from Cpl. 10 in the profile; 3. Features Cpl. 11 and Cpl. 11 bis.





1



2



3

**Figura 9.** Bordeicul cu cuptor Cpl. 14. 1. Vedere generală; 2. Secțiune prin cuptor; 3. Detaliu cu fundul cuptorului și fragmentele de „vatră portabilă” cu impresiuni circulare / Medieval pithouse with oven Cpl. 14. 1. General view; 2. Section along the axis of the oven; 3. Detail of the base of the oven showing the “mobile hearth” fragments with circular impressions.





1



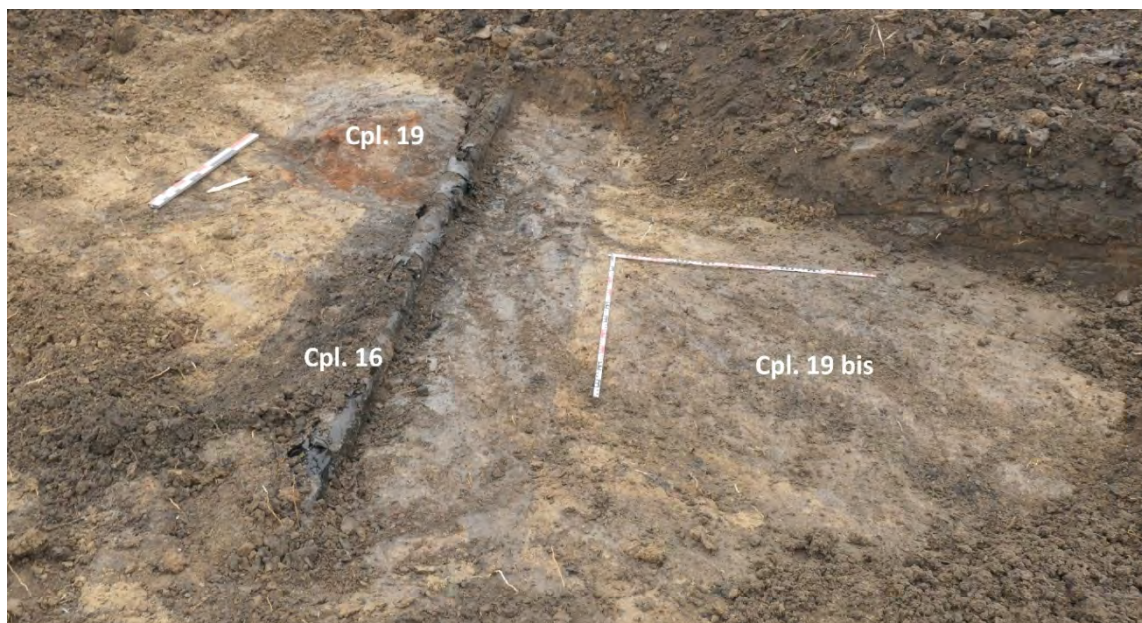
2



3

**Figura 10.** 1. Profil de-a lungul axului cuptorului Cpl. 17; 2–3. Mormântul dublu Cpl. 18 (sec. al XVIII-lea) / 1. Section along the axis of oven Cpl. 17; 2–3. The double burial Cpl. 18 (18<sup>th</sup> century).





1



2



3

**Figura 11.** 1. Complexele Cpl. 19 (cuptor) și Cpl. 19 bis (groapă), vedere generală; 2. Secțiune E-V prin Cpl. 19; 3. Secțiune E-V prin Cpl. 19 bis / 1. Features Cpl. 19 (oven) and Cpl. 19 bis (pit), general view; 2. E-W section through Cpl. 19; 3. E-W section through Cpl. 19 bis.

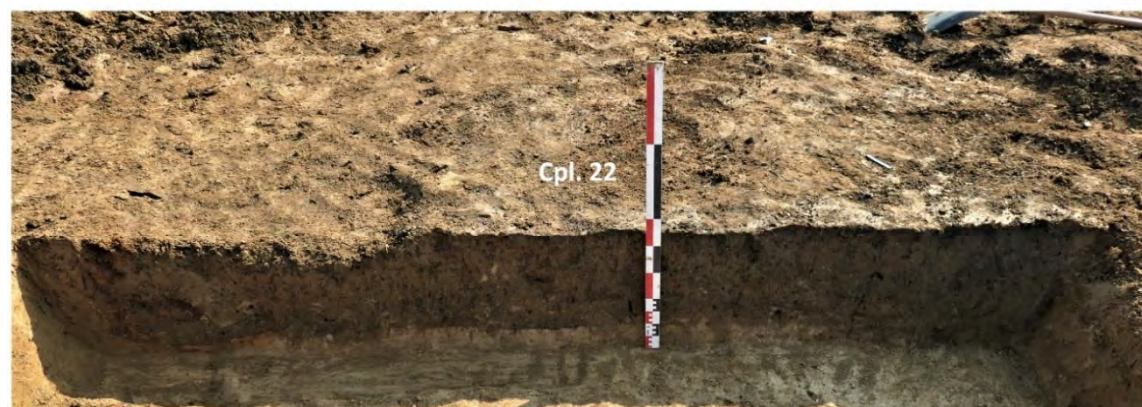




1



2



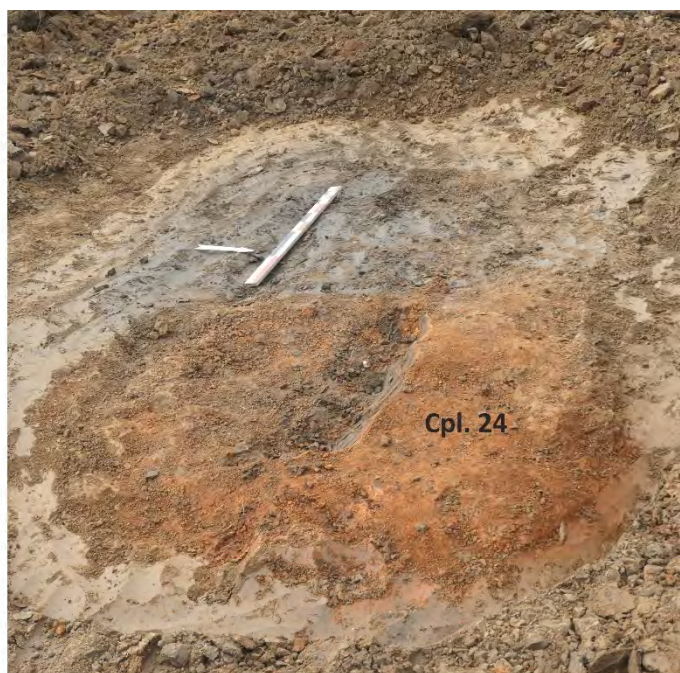
3



4

**Figura 12.** 1. Planul bordeiului cu cuptor Cpl. 20 și al gropii Cpl. 21; 2. Secțiune prin Cpl. 20 de-a lungul axei cuptorului; 3. Profilul la secționarea lui Cpl. 22; 4. Secțiune prin Cpl. 23 de-a lungul axei cuptorului / 1. Ground plan of oven Cpl. 20 and pit Cpl. 21; 2. Section of Cpl. 20 along the axis of the oven; 3. Profile of Cpl. 22. 4. Profile of Cpl. 23 along the axis of the oven..

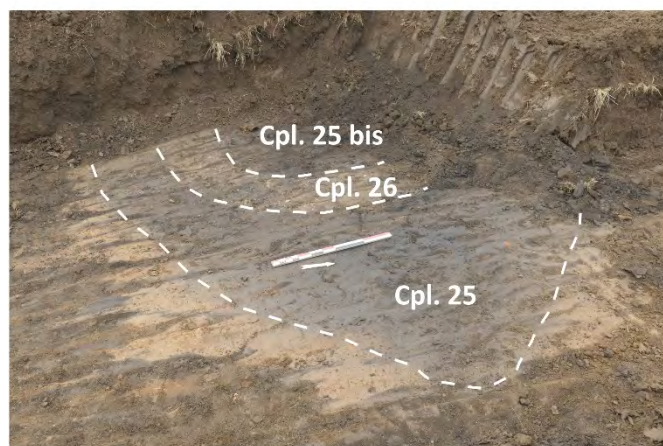




1



2

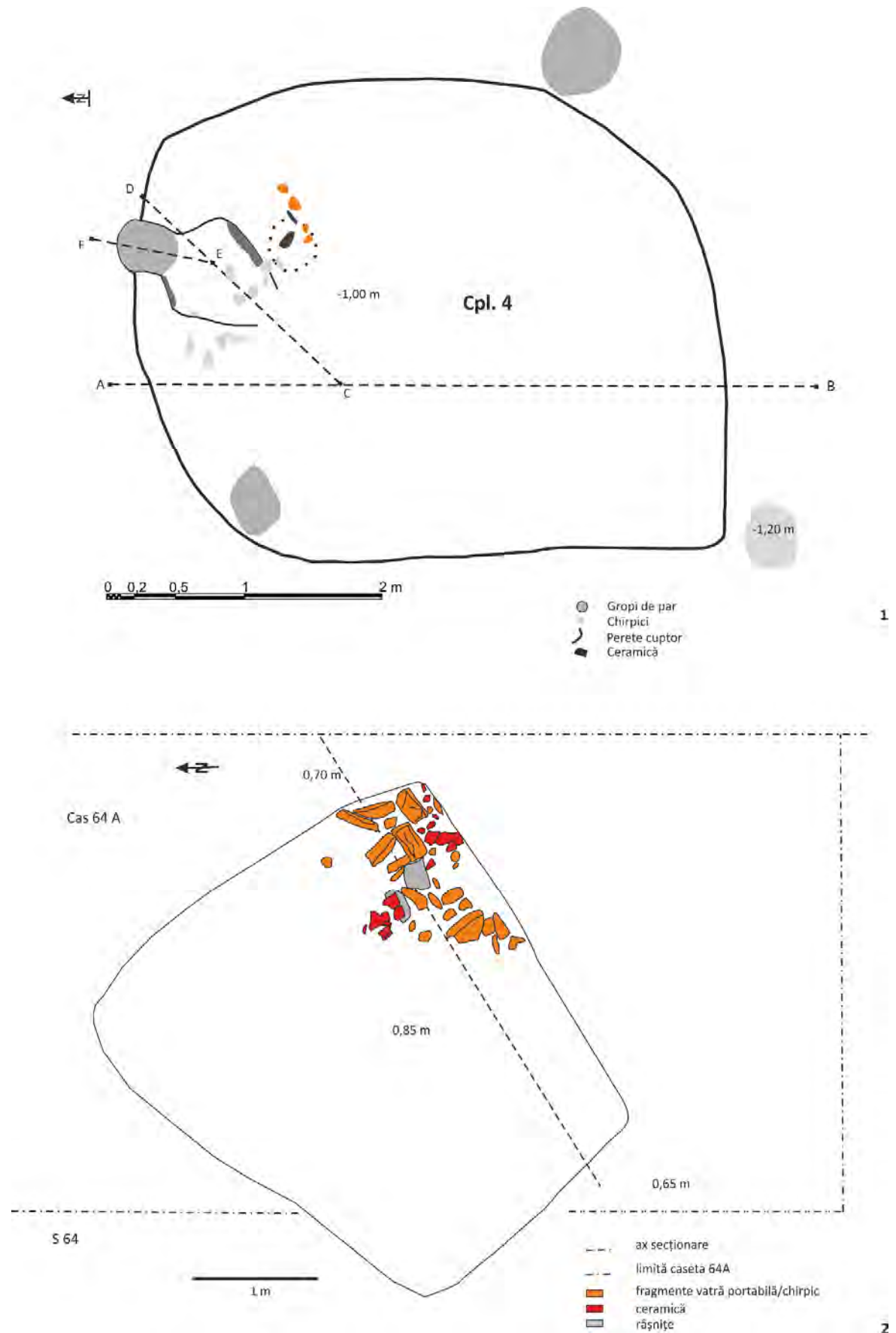


3

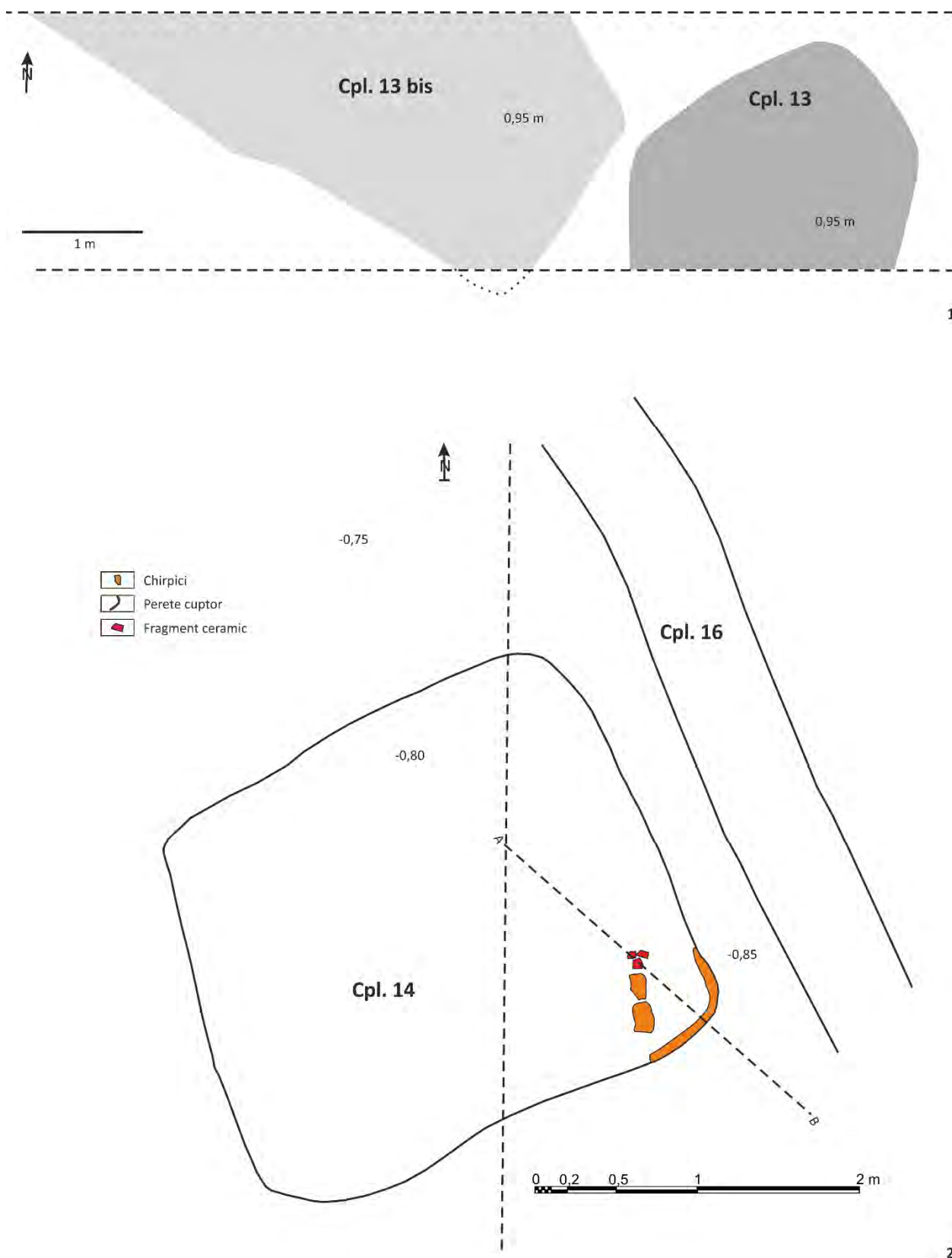


4

**Figura 13.** 1–2. Cuptorul Cpl. 24; 3–4. Complexele Cpl. 25, 25 bis și 26 / 1–2. Oven Cpl. 24; 3–4. Features Cpl. 25, 25 bis and 26.

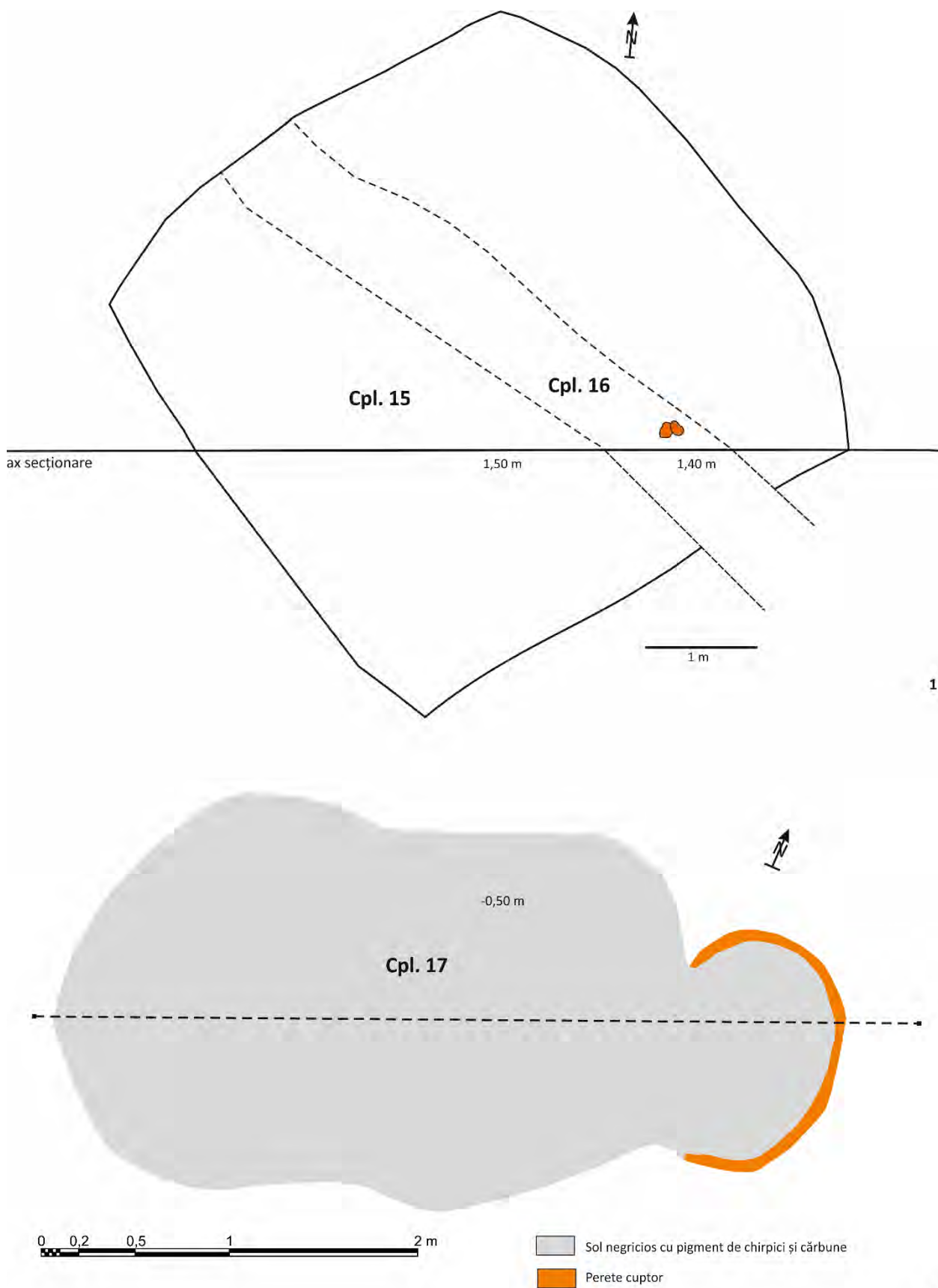


**Figura 14.** 1. Planul bordeiului cu cuptor Cpl. 4; 2. Planul bordeiului cu cuptor Cpl. 7 bis / 1. Ground plan of pithouse with oven Cpl. 4; 2. Ground plan of pithouse with oven Cpl. 7 bis.



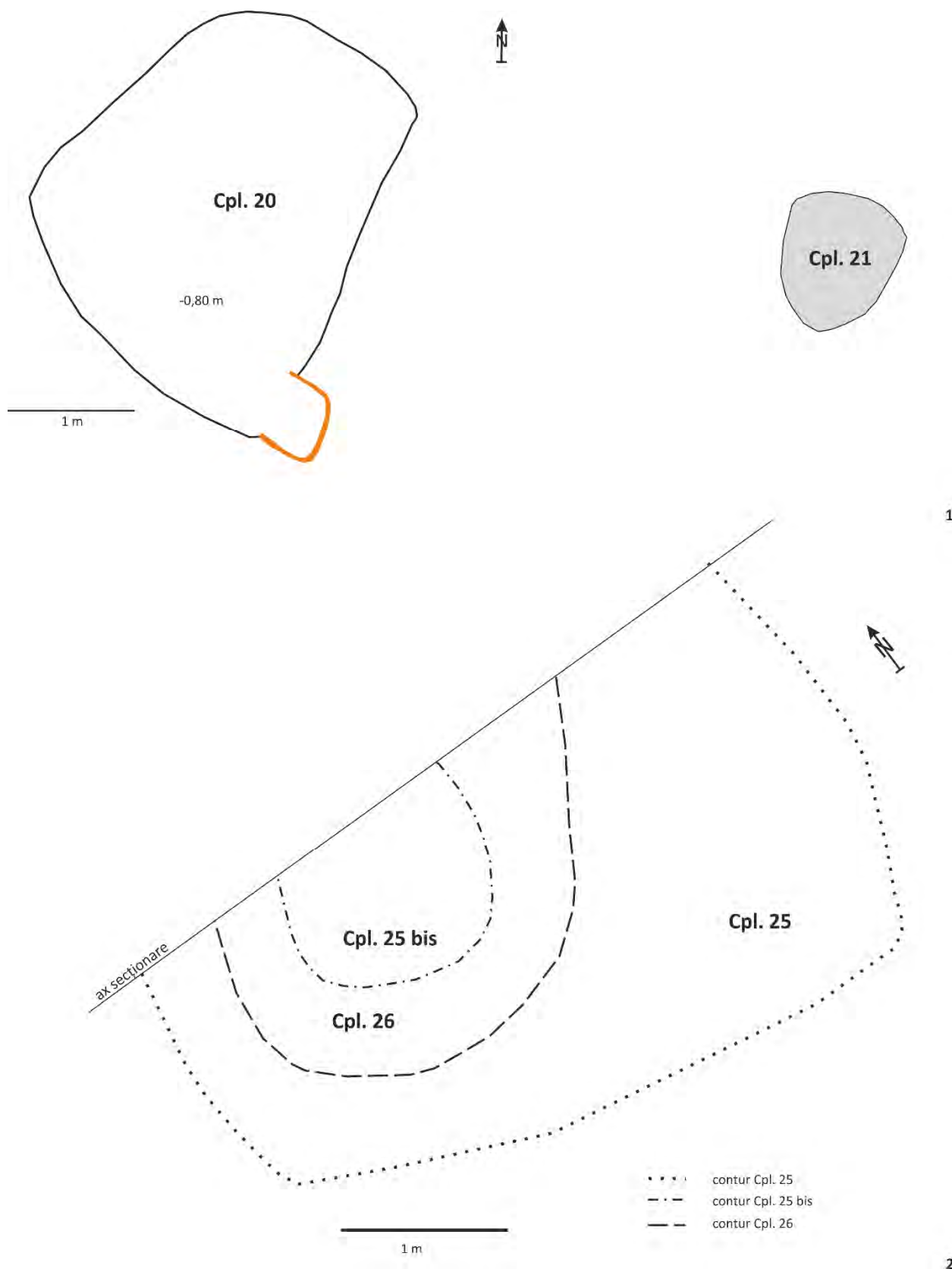
**Figura 15.** 1. Planul bordeielor Cpl. 13 și 13 bis; 2. Planul bordeiului cu cuptor Cpl. 14 și conducta modernă Cpl. 16 / 1. Ground plan of Cpl. 13 and Cpl. 13 bis; 2. Ground plan of Cpl. 14 and the modern pipe Cpl. 16.



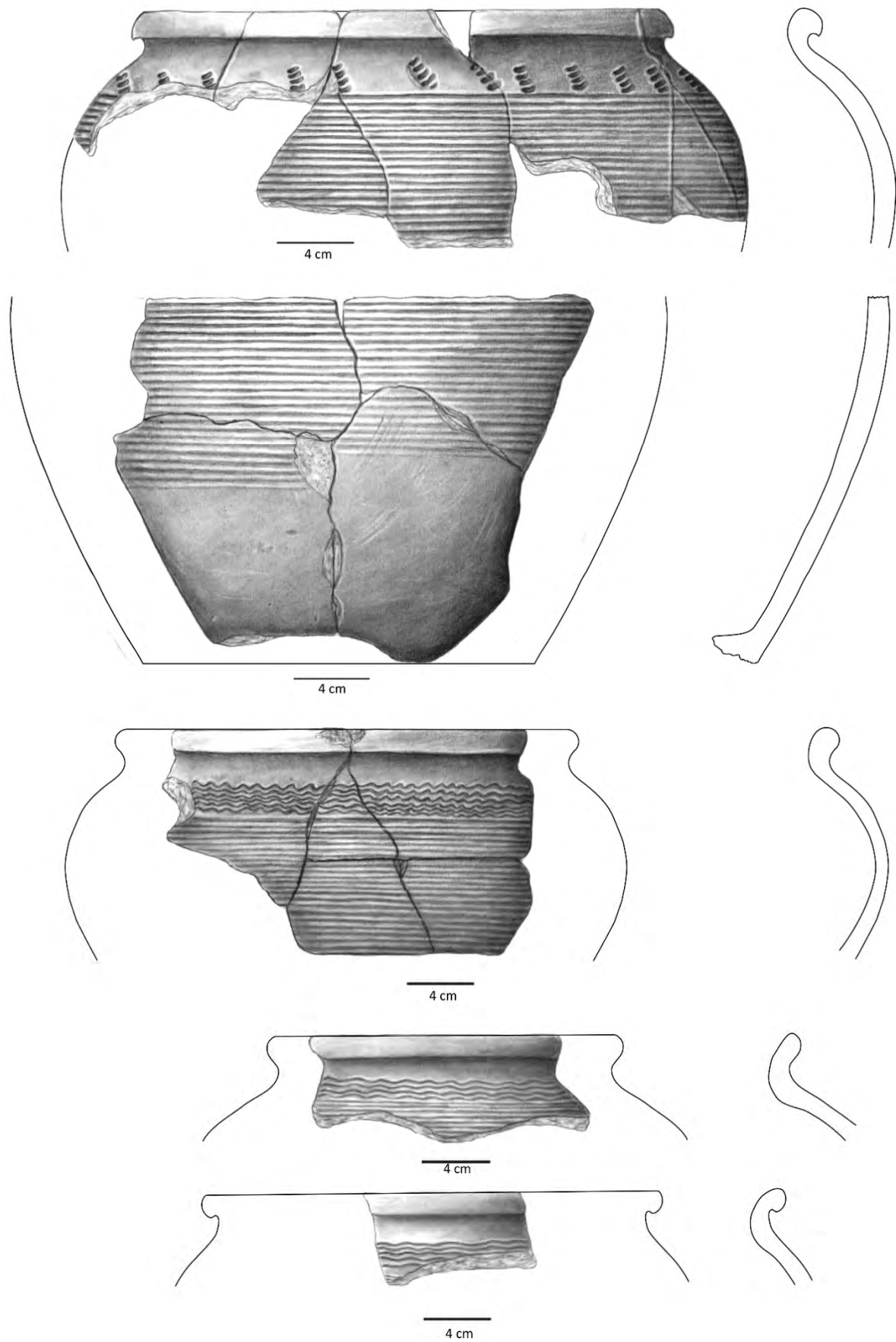


**Figura 16.** 1. Planul bordeiului Cpl. 15; 2. Planul cuptorului Cpl. 17 / 1. Ground plan of Cpl. 15; 2. Ground plan of Cpl. 17.

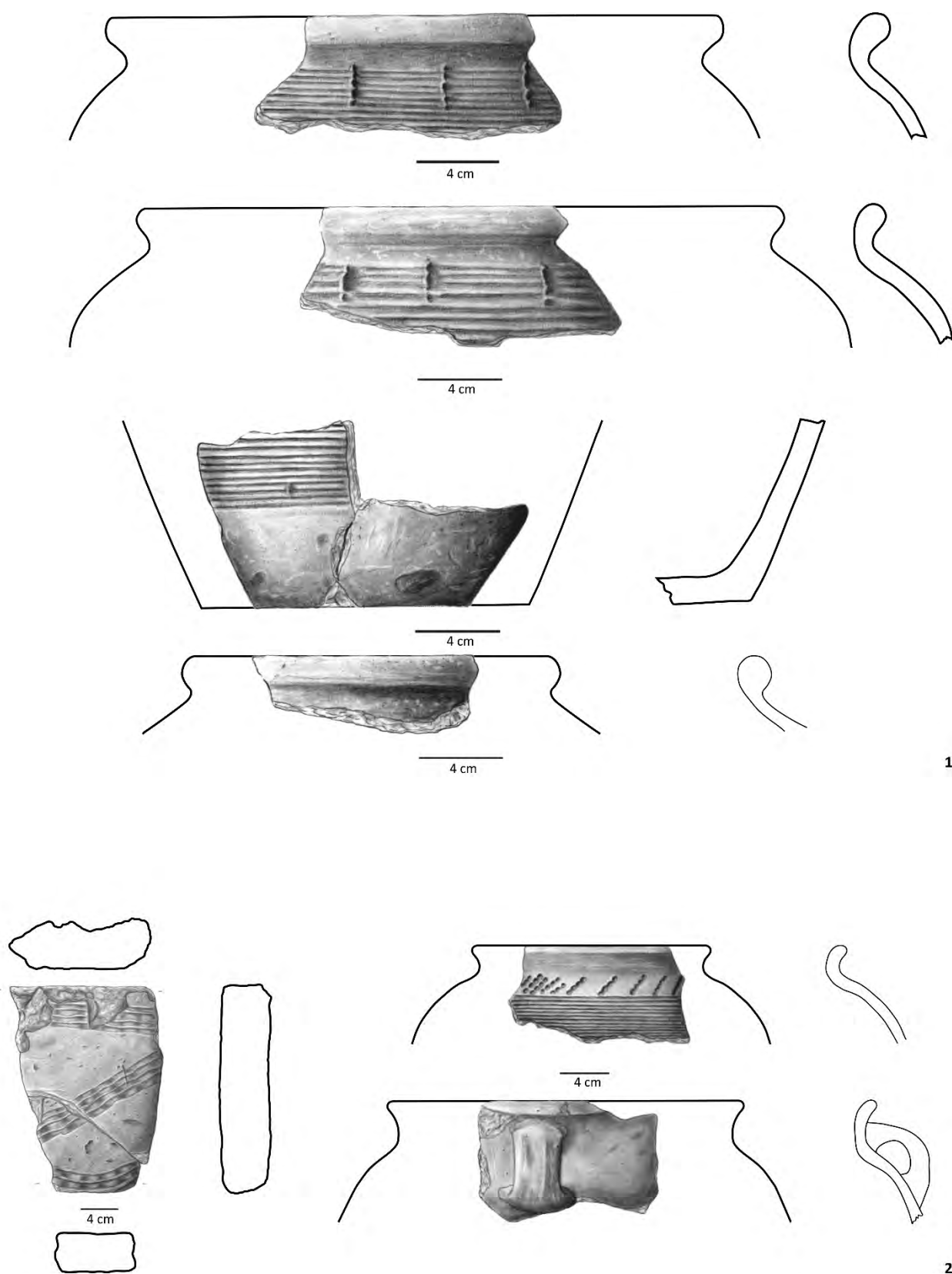




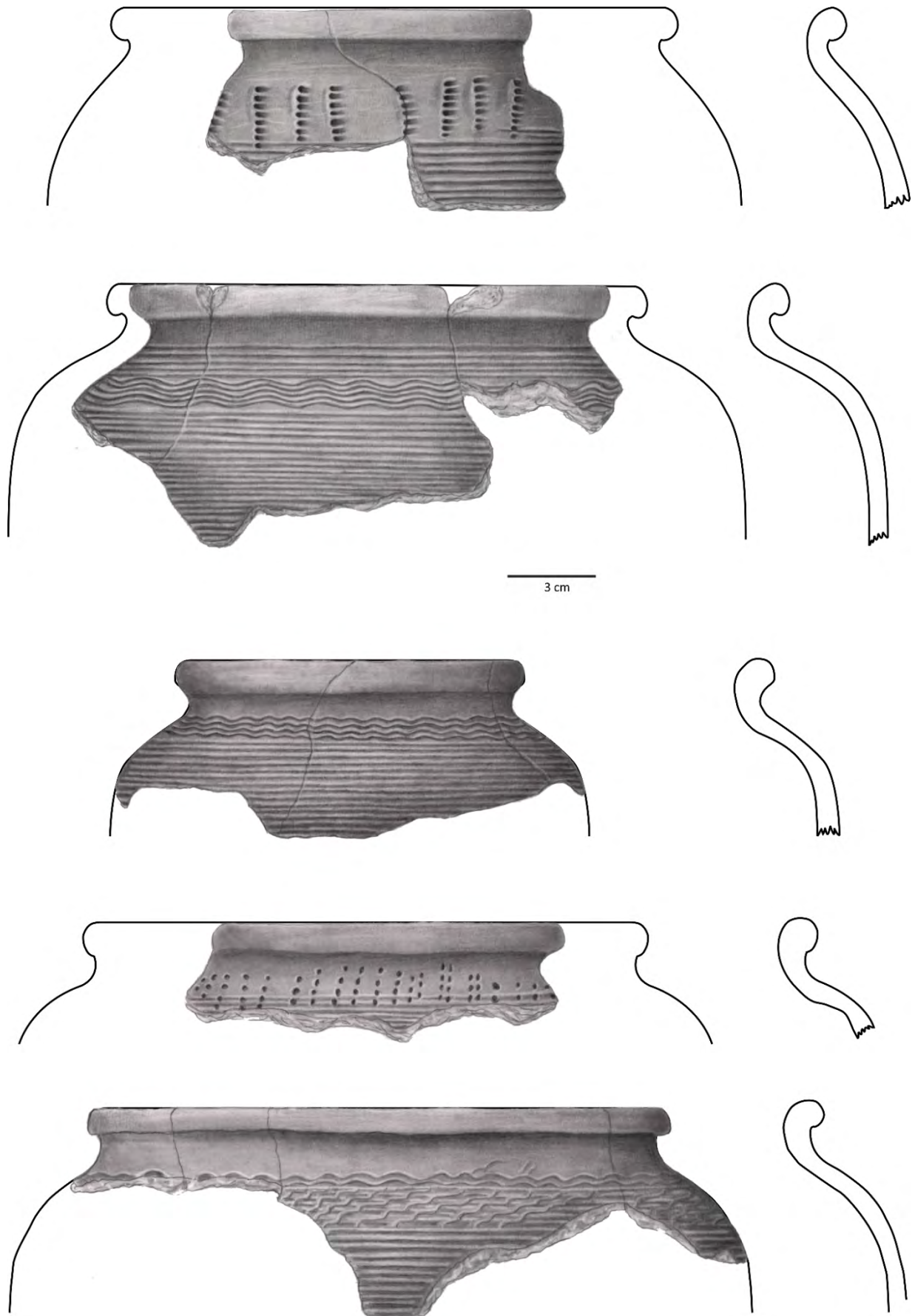
**Figura 17.** 1. Planul bordeiului cu cuptor Cpl. 20 (sec. al IX-lea); 2. Planul complexelor Cpl. 25, 25 bis și 26 / 1. Ground plan of Cpl. 20 (9<sup>th</sup> century); 2. Ground plan of features Cpl. 25, 25 bis and 26.



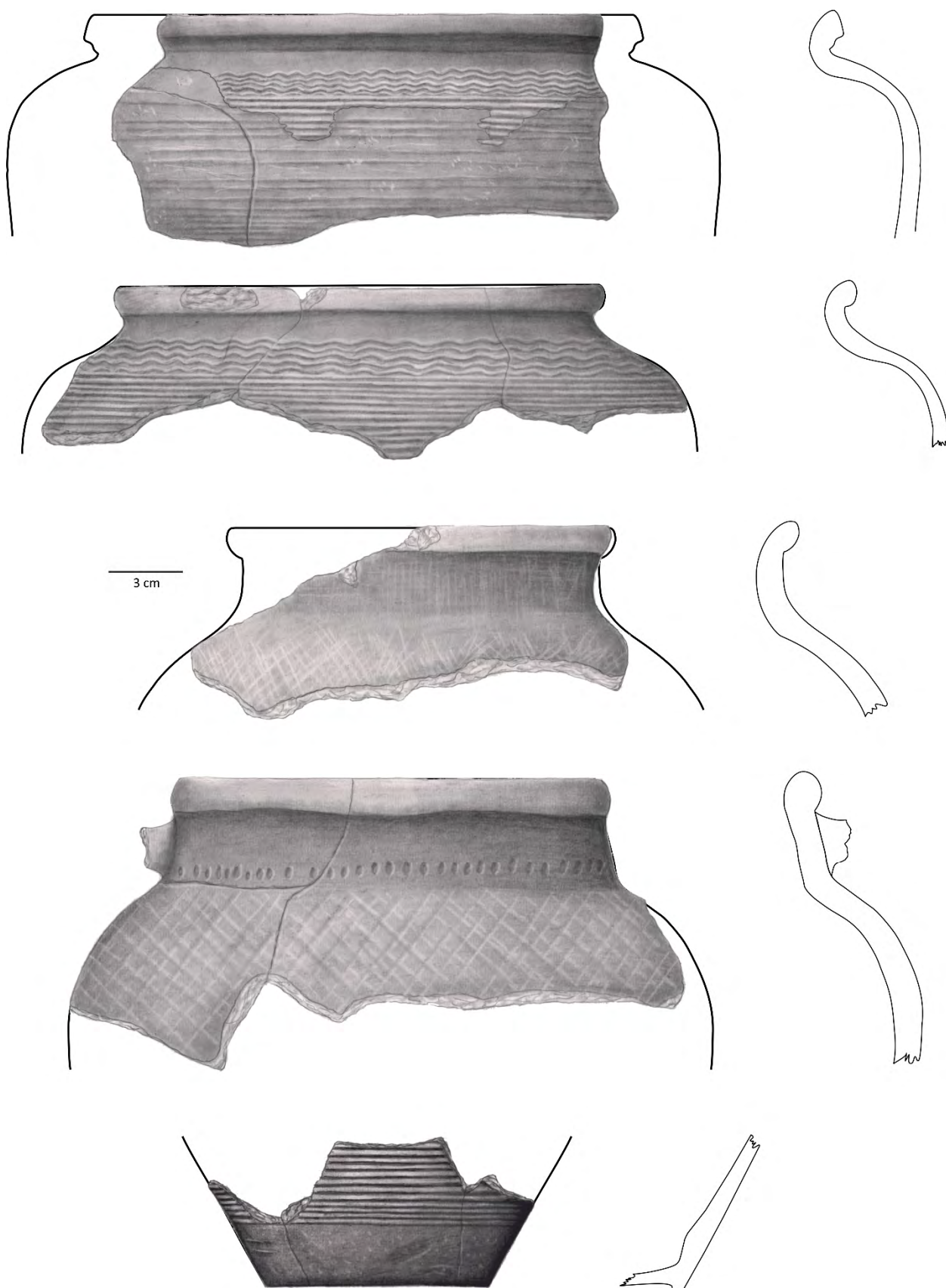
**Figura 18.** Ceramică din Cpl. 4 (desene Raluca Dobrogeanu) / Pottery from Cpl. 4 (drawings by Raluca Dobrogeanu).



**Figura 19.** 1. Ceramică din bordeiul cu cuptor Cpl. 4; 2. Căramidă decorată și ceramică din Cpl. 5 (desene Raluca Dobrogeanu) / 1. Pottery from Cpl. 4; 2. Decorated brick and pottery fragments from Cpl. 5 (drawings by Raluca Dobrogeanu).

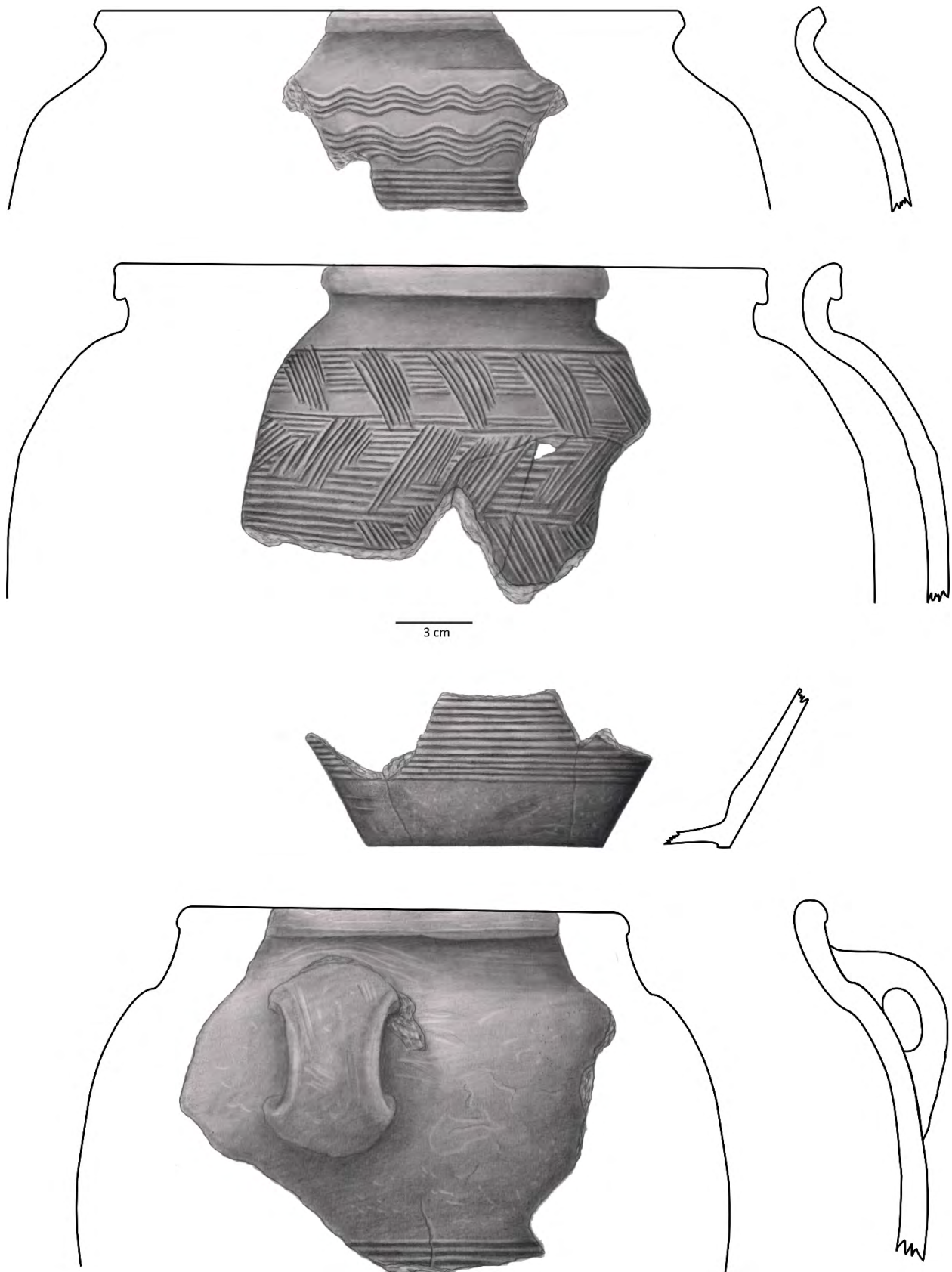


**Figura 20.** Ceramică din bordeiul Cpl. 7 bis (desene Raluca Dobrogeanu) / Pottery from Cpl. 7 bis (drawings by Raluca Dobrogeanu).

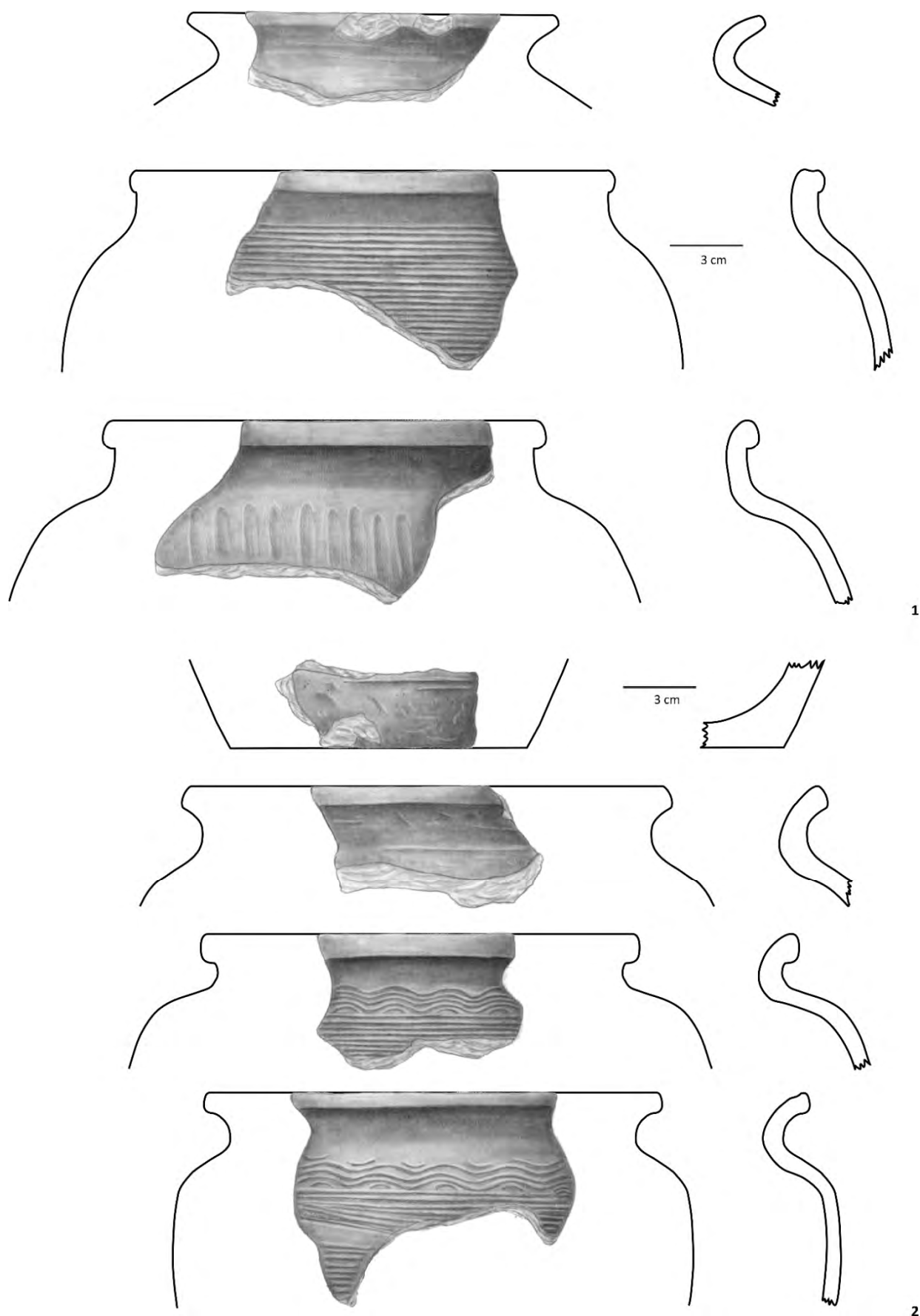


**Figura 21.** Ceramică din bordeiul Cpl. 7 bis (desene Raluca Dobrogeanu) / Pottery from Cpl. 7 bis (drawings by Raluca Dobrogeanu).

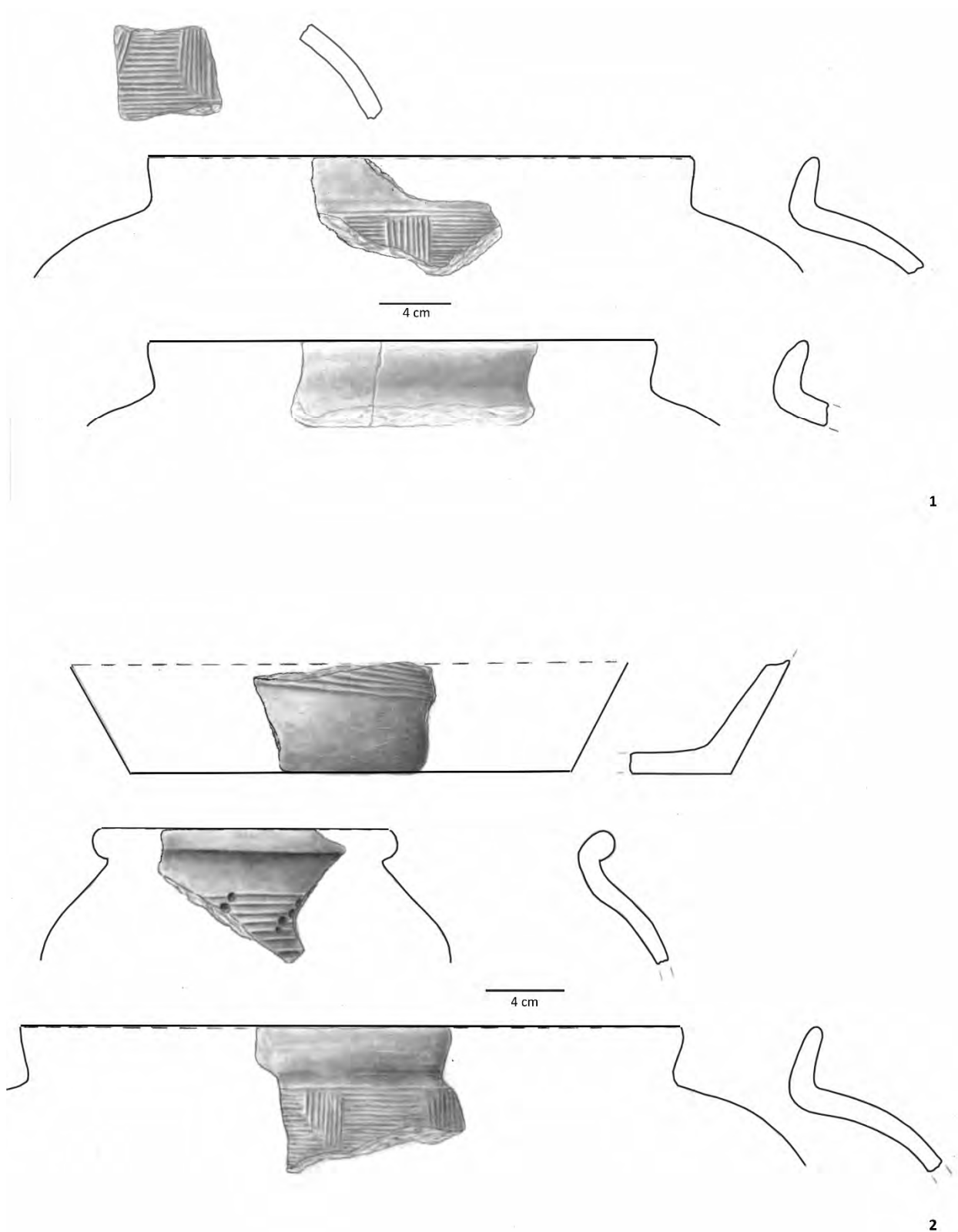




**Figura 22.** Ceramică din bordeiul Cpl. 7 bis (desene Raluca Dobrogeanu) / Pottery from Cpl. 7 bis (drawings by Raluca Dobrogeanu).

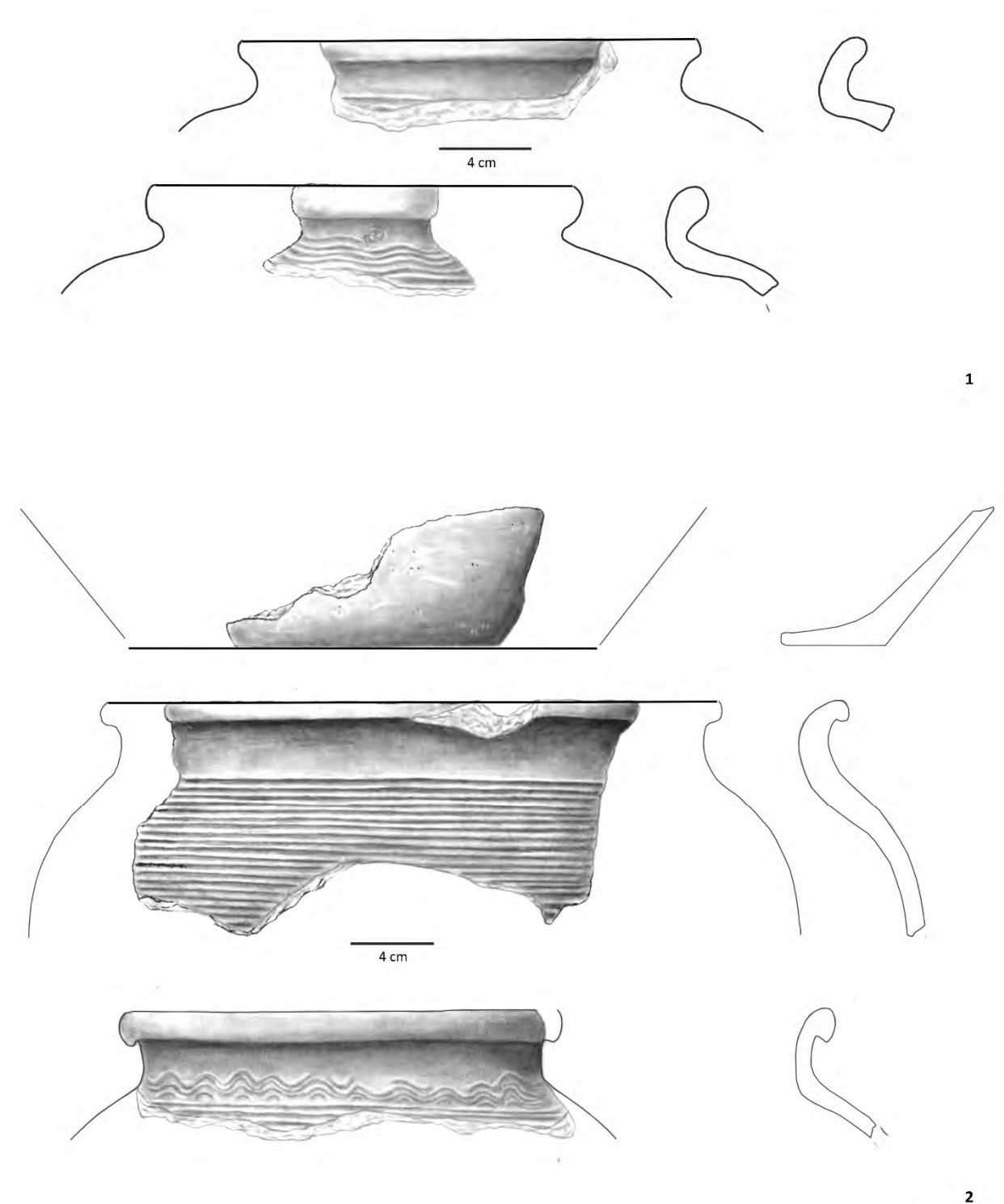


**Figura 23.** 1. Fragmente ceramice din groapa Cpl. 8; 2. Fragmente ceramice din cuptorul Cpl. 9 (desene Raluca Dobrogeanu) / 1. Pottery from pit Cpl. 8; 2. Pottery fragments from Cpl. 9 (drawings by Raluca Dobrogeanu).

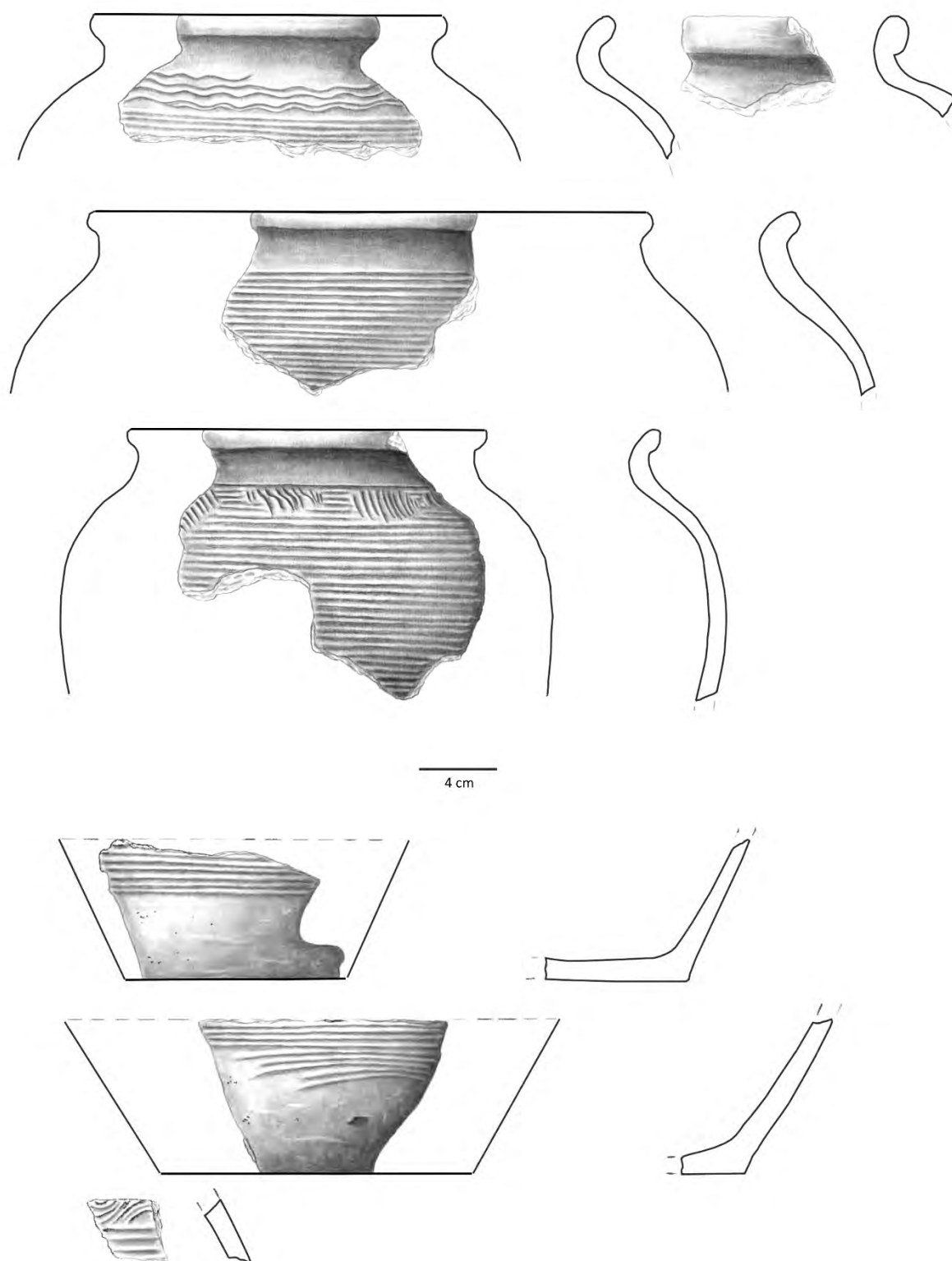


**Figura 24.** 1. Fragmente ceramice din bordeiul Cpl. 10; 2. Fragmente ceramice din Cpl. 11/Cpl. 11 bis (desene Raluca Dobrogeanu) / 1. Pottery fragments from pithouse Cpl. 10; 2. Pottery fragments from Cpl. 11/Cpl. 11 bis (drawings by Raluca Dobrogeanu).

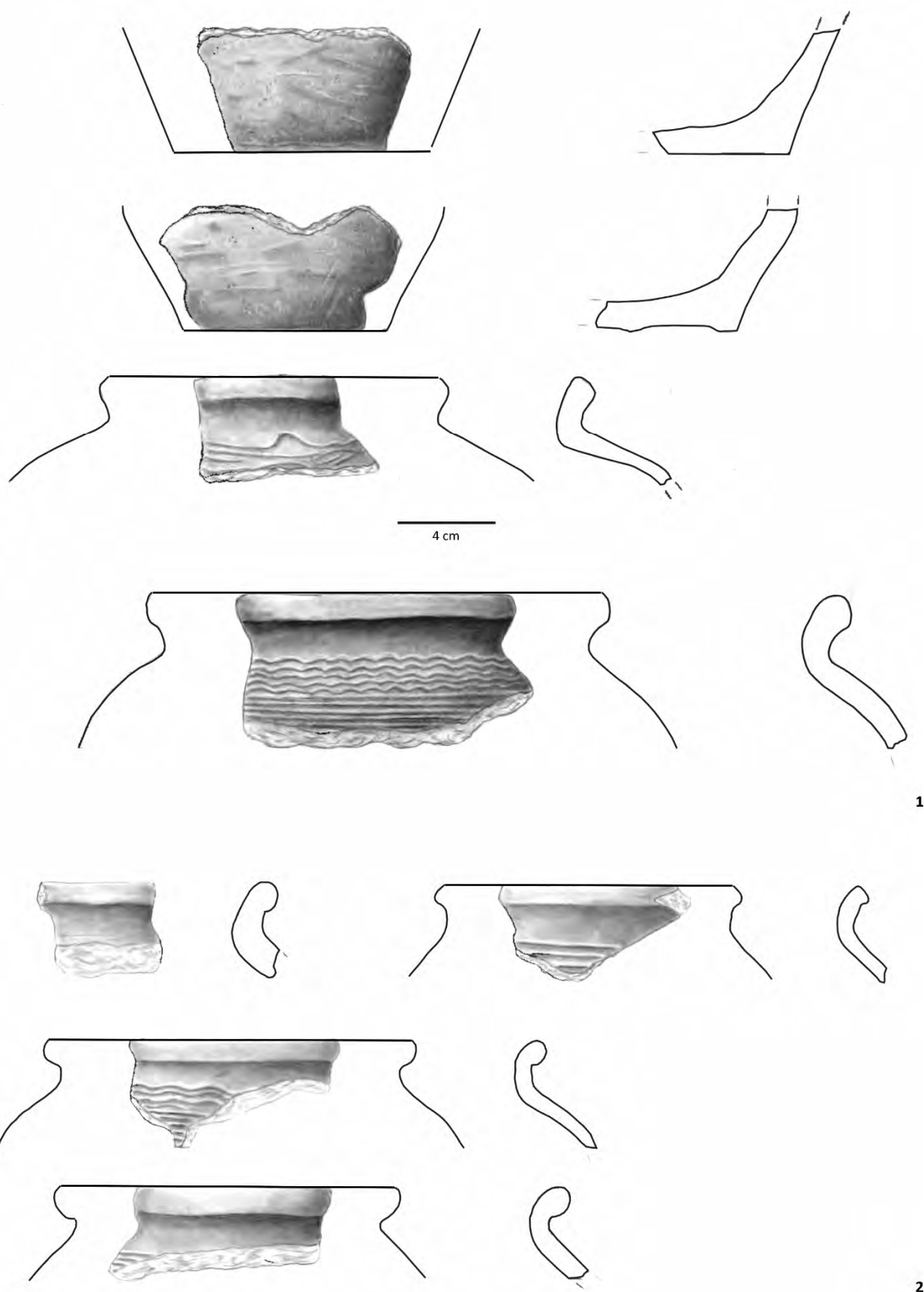




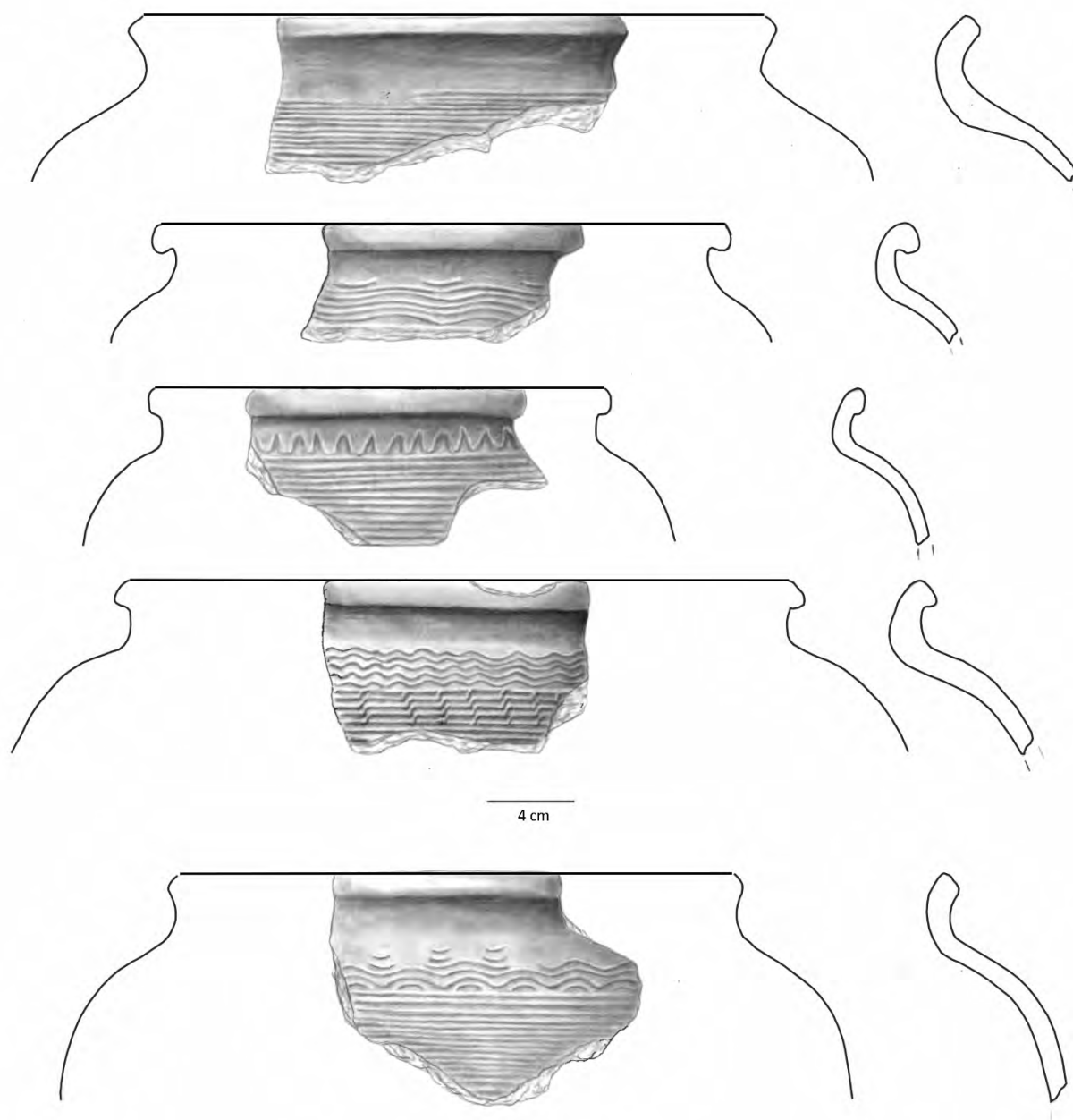
**Figura 25.** 1. Fragmente ceramice din Cpl. 10; 2. Fragmente ceramice din bordeiul cu cuptor Cpl. 14 (desene Raluca Dobrogeanu) / 1. Pottery fragments from Cpl. 10; 2. Pottery fragments from Cpl. 14 (drawings by Raluca Dobrogeanu).



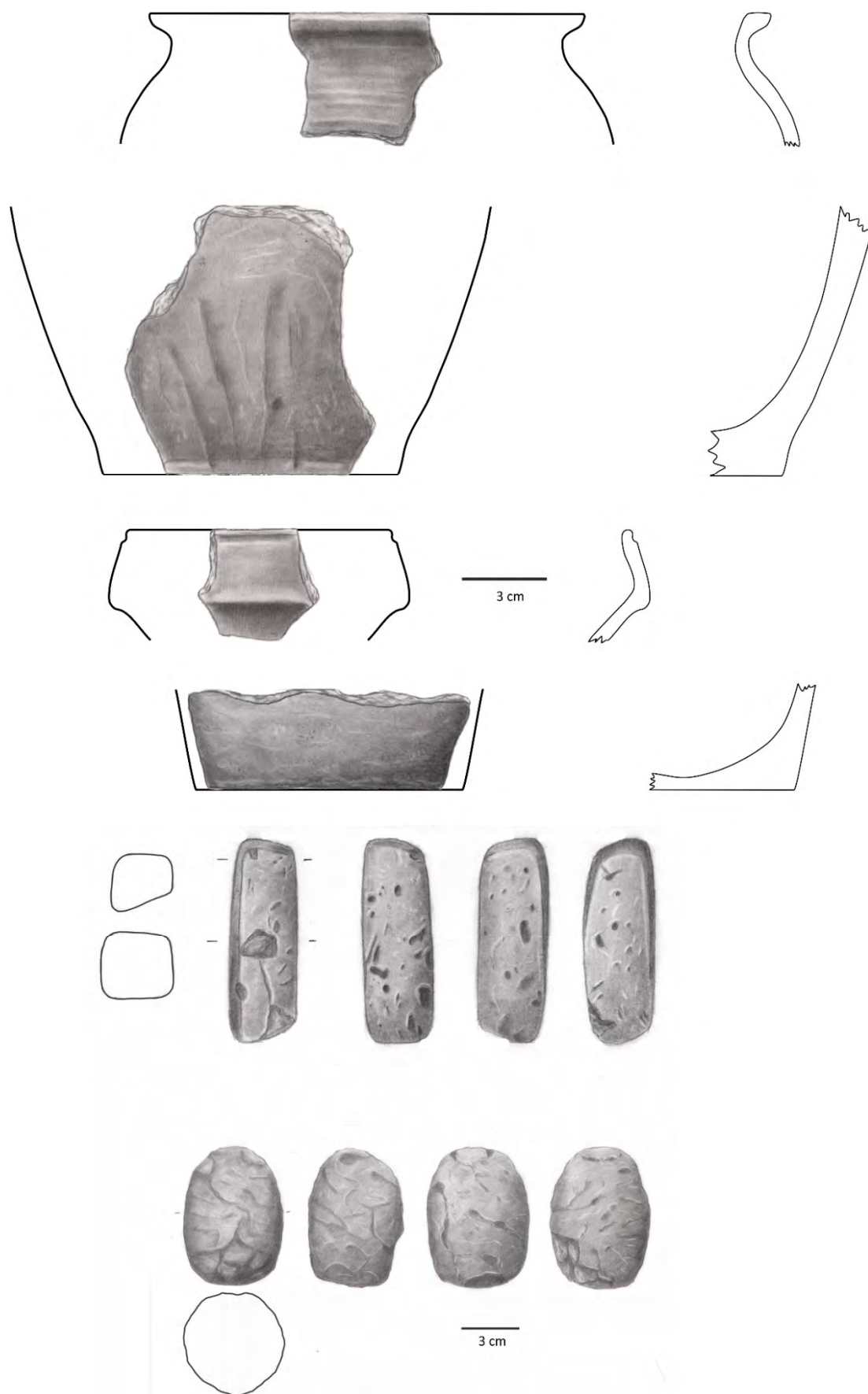
**Figura 26.** Fragmente ceramice din bordeiul cu cuptor Cpl. 14 (sec. al IX-lea) (desene Raluca Dobrogeanu) / Pottery fragments from Cpl. 14 (drawings by Raluca Dobrogeanu).



**Figura 27.** 1. Ceramică din umplutura Cpl. 16; 2. Ceramică din cuptorul Cpl. 17 (desene Raluca Dobrogeanu) / 1. Pottery fragments from the infill of Cpl. 16; 2. Pottery fragments from Cpl. 17 (drawings by Raluca Dobrogeanu).

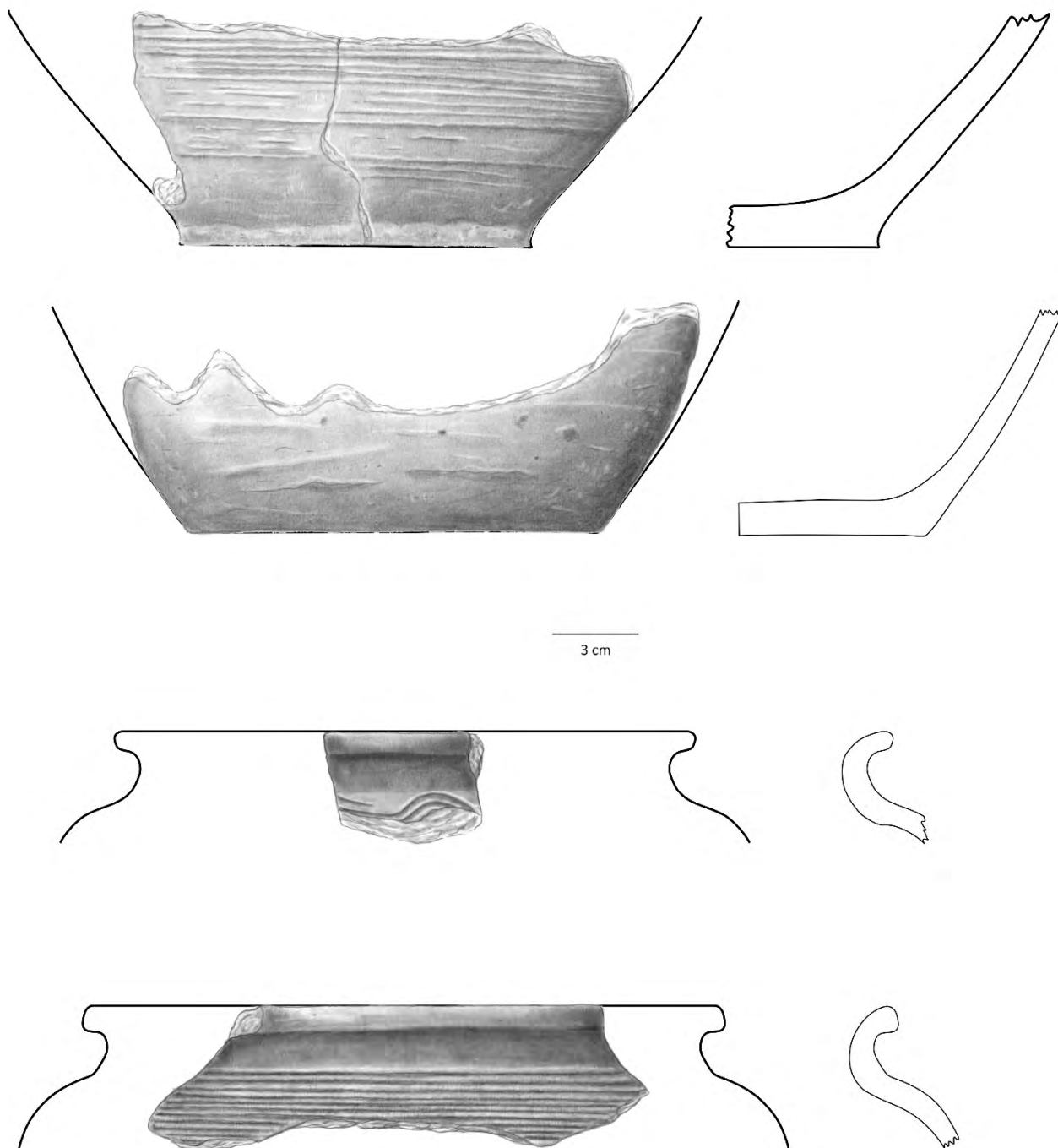


**Figura 28.** Ceramică din cuptorul Cpl. 19 (desene Raluca Dobrogeanu) / Pottery from oven Cpl. 19 (drawings by Raluca Dobrogeanu).

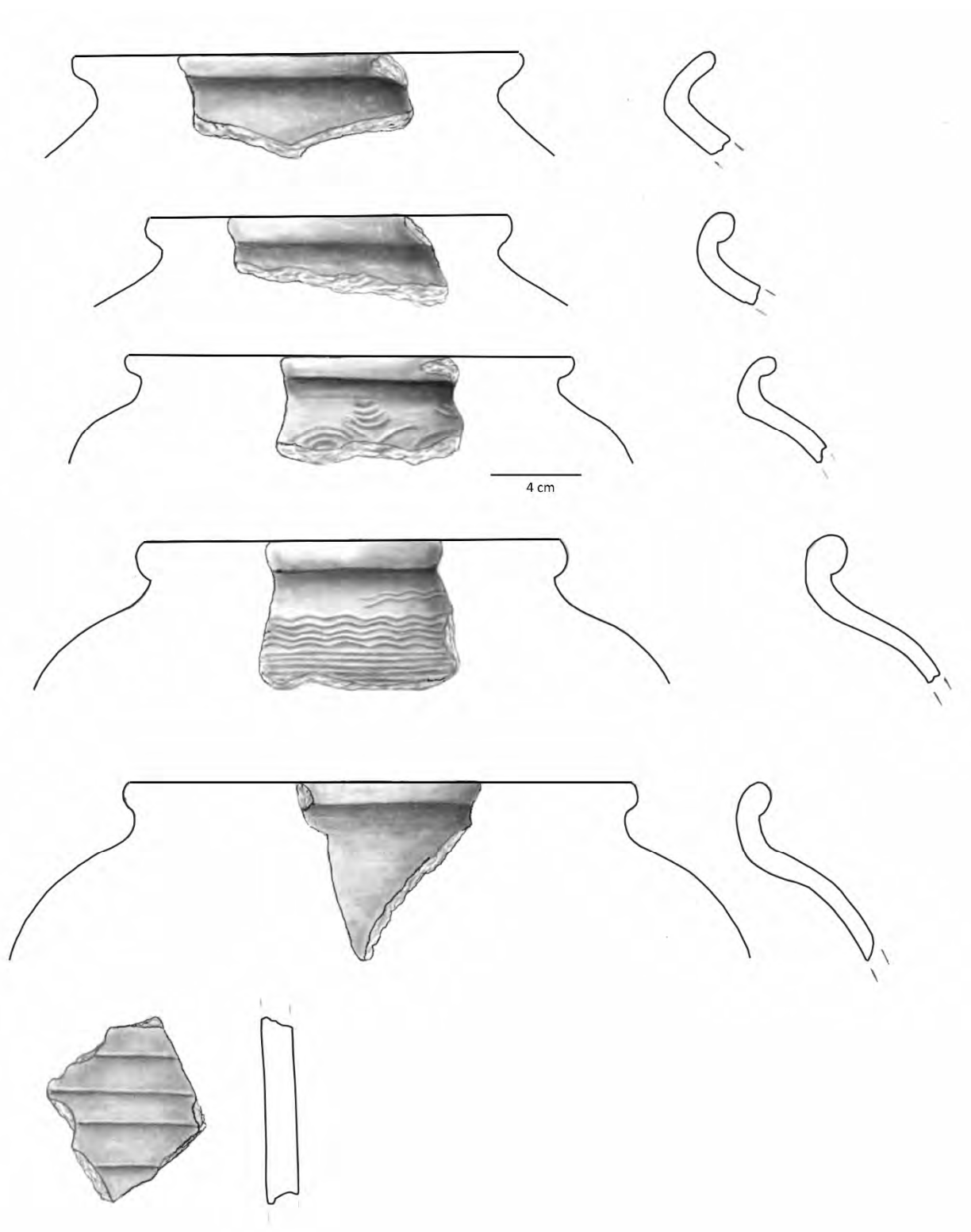


**Figura 29.** Fragmente ceramice și vălătuci din bordeiul cu cuptor Cpl. 20 (desene Raluca Dobrogeanu) / Pottery fragments and clay cobs from oven Cpl. 20 (drawings by Raluca Dobrogeanu).





**Figura 30.** Fragmente ceramice din bordeiul cu cuptor Cpl. 22 (desene Raluca Dobrogeanu) / Pottery fragments from oven Cpl. 20 (drawings by Raluca Dobrogeanu).

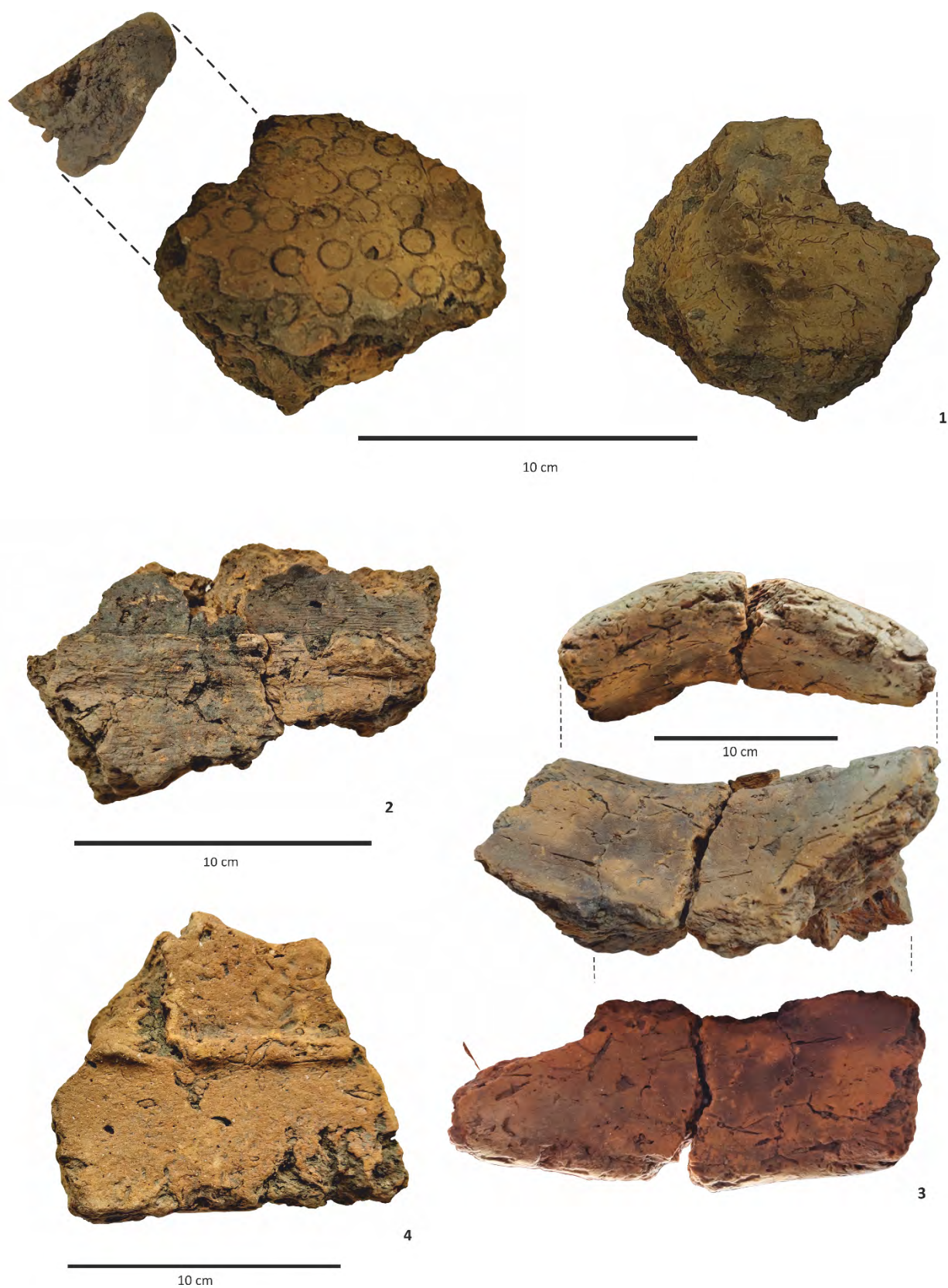


**Figura 31.** Fragmente ceramice din bordeiul Cpl. 24 (desene Raluca Dobrogeanu) / Pottery fragments from pithouse Cpl. 24 (drawings by Raluca Dobrogeanu).



**Figura 32.** Ceramică atribuită epocii bronzului (cultura Tei) din Cpl. 2 / Bronze Age pottery (Tei culture) from Cpl. 2.





**Figura 33.** Fragmente de vatră portabilă din Cpl. 7 bis / Fragments of a mobile hearth from Cpl. 7 bis.



**Figura 34.** Piese ceramice și de metal din locuința Cpl. 5 (sec. al XVIII-lea) / Pottery and metal items from Cpl. 5 (18<sup>th</sup> century).



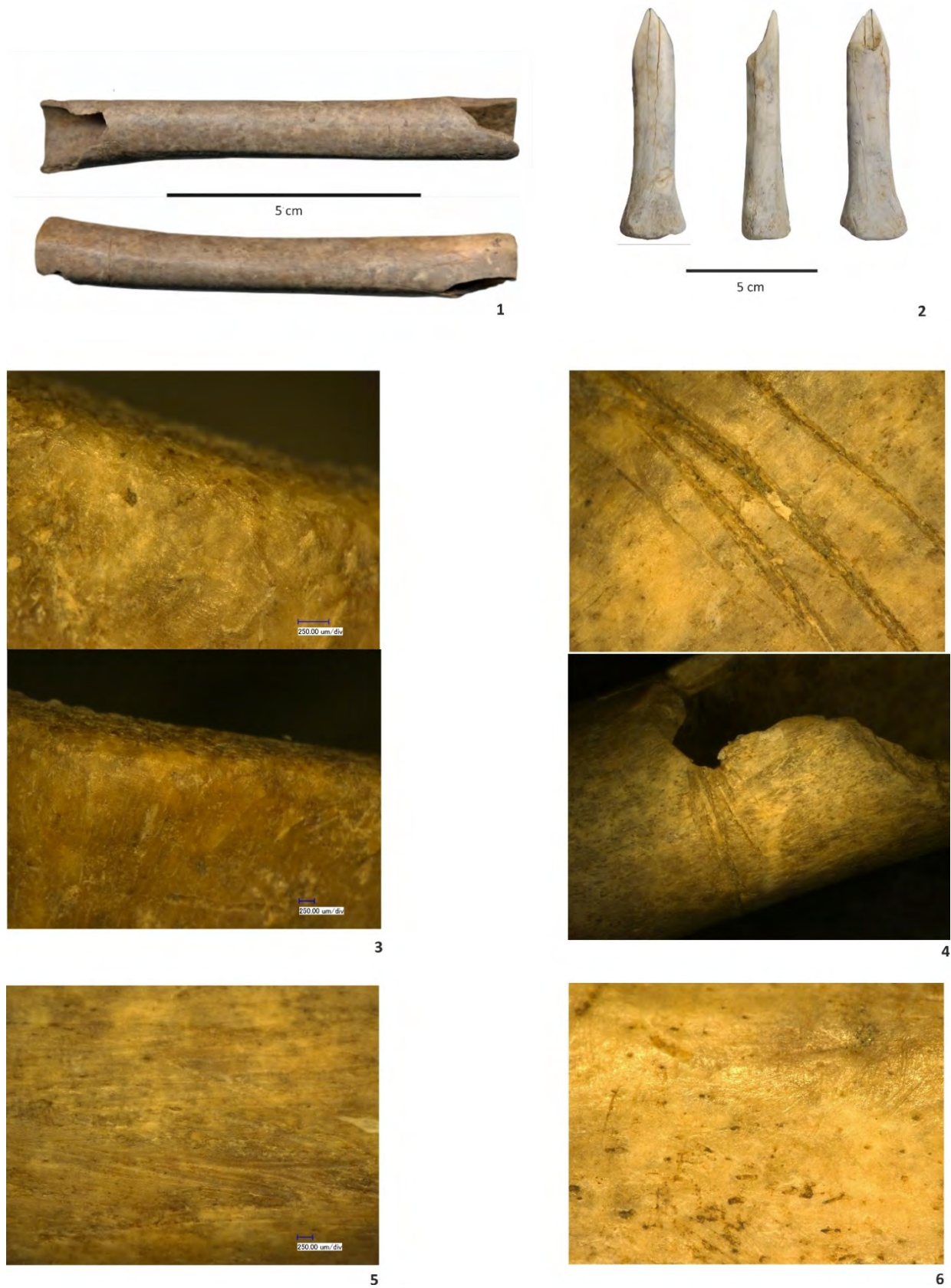


**Figura 35.** 1. Piatră de ascuțit din Cpl. 19 bis; 2. Fragmente de râșniță din cuptorul Cpl. 6; 3. Fragmente de râșniță din Cpl. 7 bis / 1. Sharpening stone from Cpl. 9 bis; 2. Fragments of grinding stones from oven Cpl. 6; 3. Fragments of grindiing stones from Cpl. 7 bis.



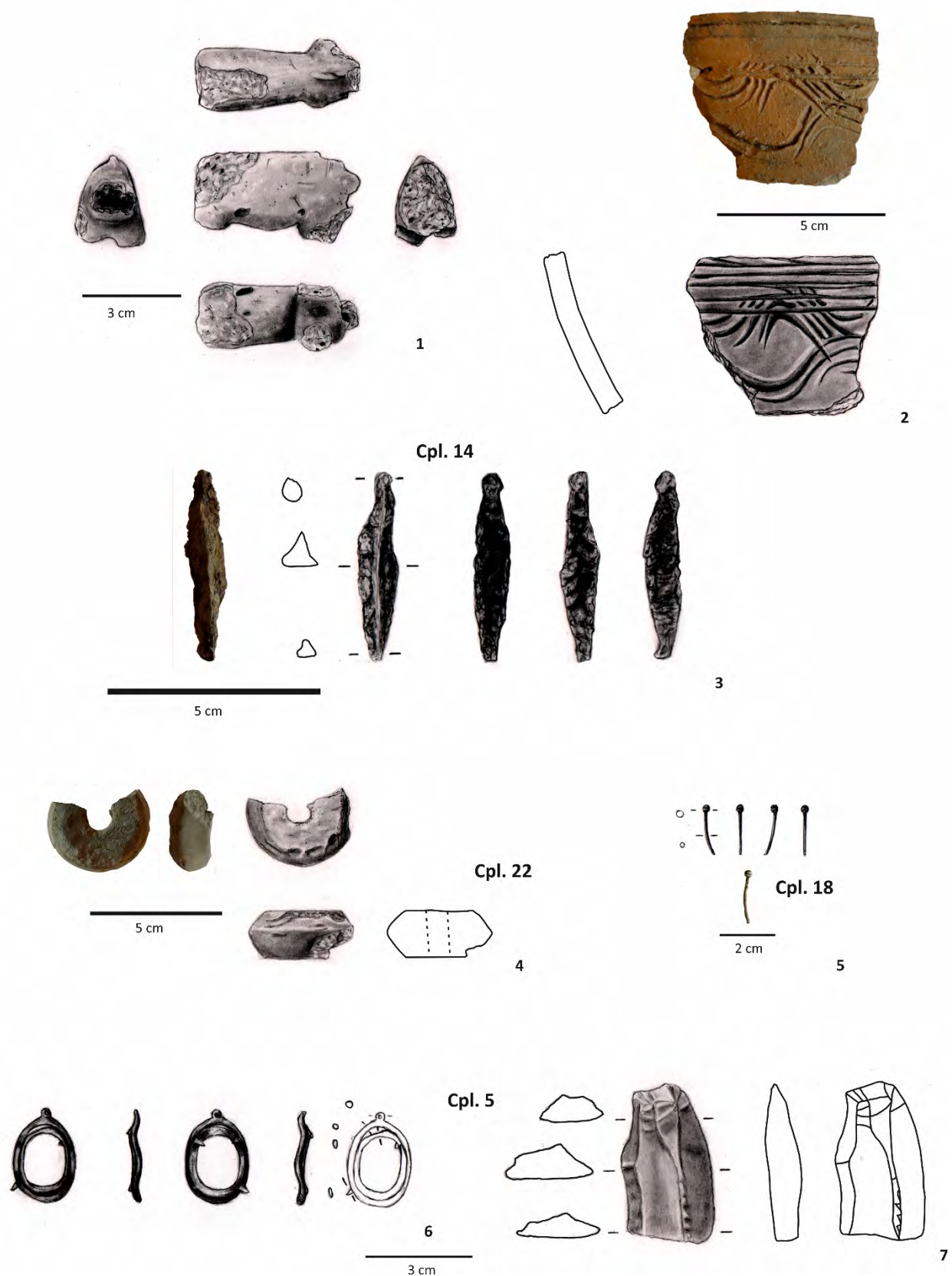


**Figura 36.** 1 Fragmente de zgură din Cpl. 22; 2. Piese de industrie litică din Cpl. 7 bis / 1. Iron slag fragments from Cpl. 22; 2. Lithics from Cpl. 7 bis.



**Figura 37.** Piese de os din bordeiul cu cuptor Cpl. 7bis. 1. Mâner; 2. Vârf; 3 (sus). Urme de sciage la capetele mânerului; 3 (jos). Urme de segmentare și abraziune; 4. Urme de sciage (sus) și segmentare (jos) lăsate de încercarea de eliminare a părții fracturate; 5. Urme de raclage de la curățarea suprafeței; 6. Suprafață cu lustru / Bone artefacts from pithouse Cpl. 7 bis. 1. Handle; 2. Point; 3 (up). Cutting marks at the extremities of the handle; 3 (down). Segmentation and abrasion marks; 4. Cutting marks (up) and segmentation marks (down) left by the attempt to eliminate the fractured part; 5. Scraping marks left by the cleaning of the surface; 6. Surface with polish.



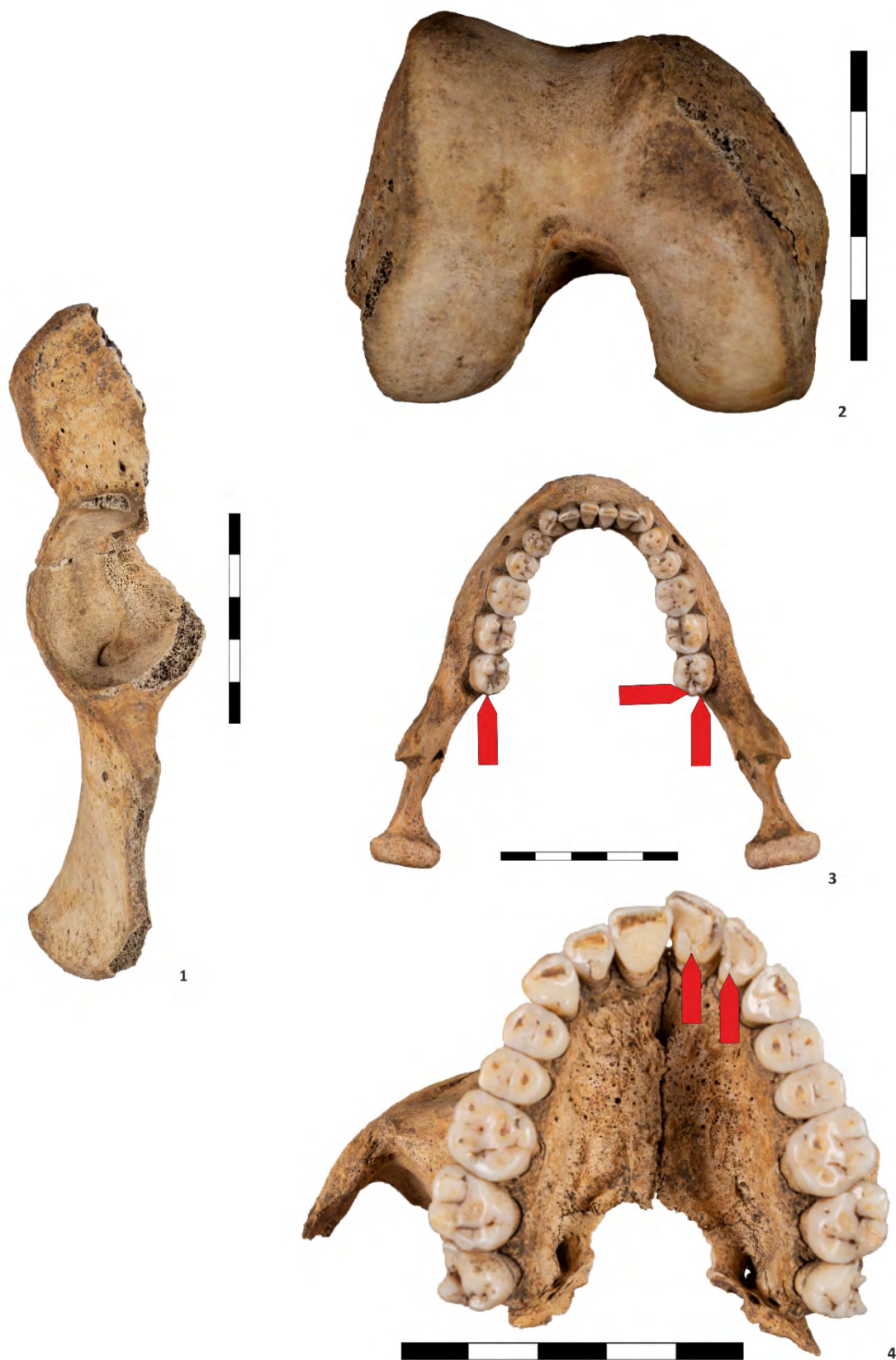


**Figura 38.** 1 Figurină zoomorfă aparținând epocii bronzului recuperată din umplutura bordeiului Cpl. 14; 2. Fragment ceramic din bordeiul Cpl. 14; 3. Vârf de săgeată din fier din bordeiul cu cuptor Cpl. 14; 4. Fusaioală din Cpl. 22; 5. Ac de basma din mormântul Cpl. 18; 6. Pandantiv din bordeiul Cpl. 5; 7. Fragment de lamă de silex din locuința Cpl. 5 / 1. Zoomorphic Bronze Age figurine from the infill of pithouse Cpl. 14; 2. Pottery fragments from Cpl. 14; 3. Iron arrow point from Cpl. 14; 4. Spinning whorl from Cpl. 22; 5. Head-pin from burial Cpl. 18; 6. Pendant from pithouse Cpl. 5; 7. Fragment of flint blade from pithouse Cpl. 5.

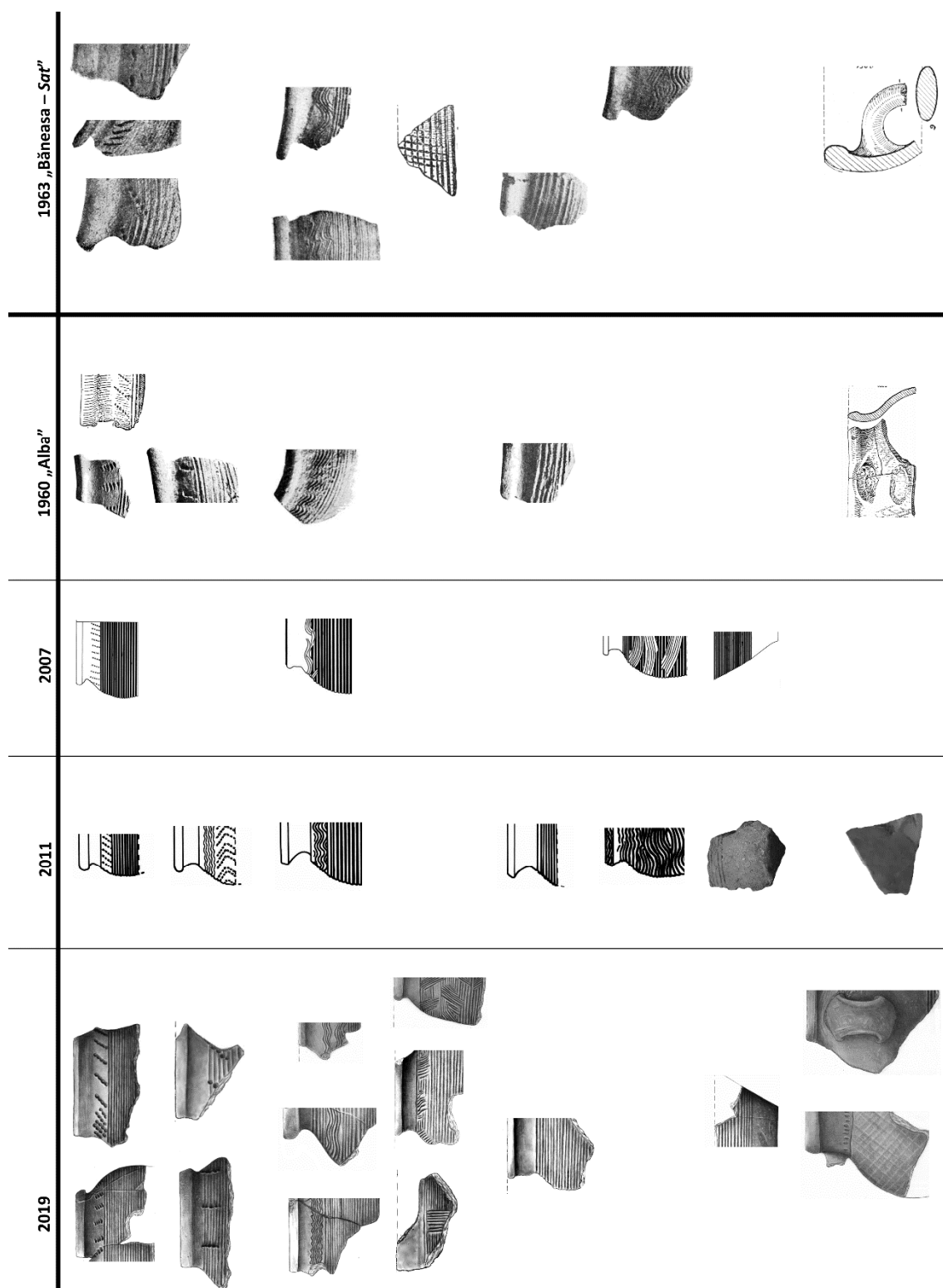




**Figura 39.** Mormântul Cpl. 18. 1. Pete de culoare verzuie pe parietale (neurocraniu, superior – restaurat, criptozig); 2. Tartru supragingival pe I<sub>1</sub>–M<sub>1</sub>, bilateral, labial și bucal (mandibulă, anterior); 3. Criba orbitalia pe plafonul orbitei drepte (frontal, inferior, ectocranial); 4. Rotația disto-linguală a I<sup>1</sup> stâng (maxile, anterior) (foto Cătălin Nicolae) / Burial Cpl. 18. 1. Greenish inprints on the parietal bones (neural skull, superior – restaured, criptozyg); 2. Dental calculus on I<sub>1</sub>–M<sub>1</sub>, bilateral, labial and buccal (mandible, anterior); 3. Criba orbitalia on the right orbit (frontal, inferior, ectocranial); 4. Disto-lingual rotation of I<sup>1</sup> (maxilla, anterior) (photos by Cătălin Nicolae).



**Figura 40.** Mormântul Cpl. 18. 1. Creastă acetabulară (coxal stâng, lateral); 2. Amprentă osteocondritică (femur drept, distal); 3. Cuspidul 5 (hipoconulid) pe  $M_3$ , bilateral (triunghi); cuspidul 6 (entoconulid) pe  $M_3$  drept (săgeată) (mandibulă, anterior); 4. Șanțuri prezente pe suprafața medială a cingulum-ului incisivilor stângi (maxile, inferior) (foto Cătălin Nicolae) / Burial Cpl. 18. 1. Acetabular crease (left coxal, lateral); 2. Osteochondritic imprint (right femur, distal); 3. Cuspid 5 (hypoconulid) on  $M_3$ , bilateral (triangles); cuspid 6 (entoconulid) on right  $M_3$  (arrow) (mandible, anterior); 4. Interruption grooves on the median area of the cingulum of the left incisors (maxilla, inferior) (photos by Cătălin Nicolae).



**Figura 41.** Tabel comparativ al ceramicii din siturile menționate în text / Comparative table of pottery types from the sites mentioned in the text.



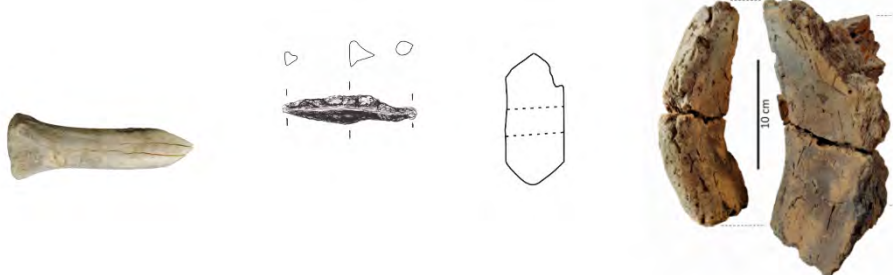

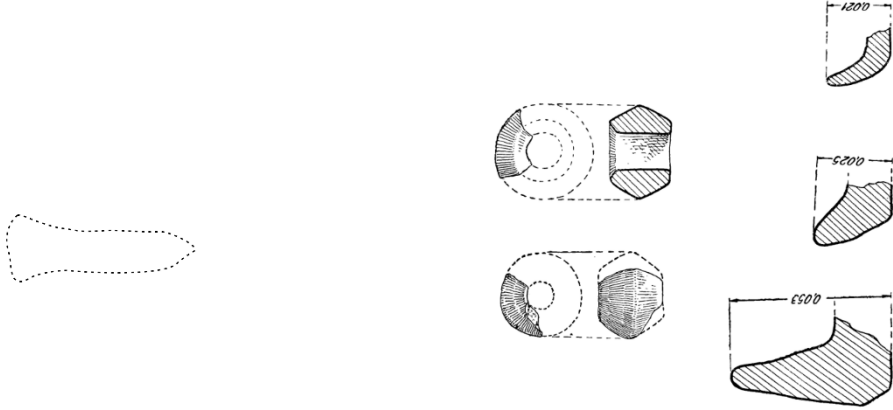
2019	2011	2007	1960 „Alba”	1963 „Băneasa – Sat”
	?	?	 ?	

Figura 42. Tabel comparativ al pieselor „speciale” din siturile menționate în text / Comparative table of so-called „special” finds from the sites mentioned in the text.